

БИБЛИОТЕКА ЛЮБИТЕЛЯ АСТРОНОМИИ



К. И. ЧУРЮМОВ

КОМЕТЫ  
И ИХ  
НАБЛЮДЕНИЕ

**БИБЛИОТЕКА ЛЮБИТЕЛЯ АСТРОНОМИИ**



**К. И. ЧУРЮМОВ**

**КОМЕТЫ  
И ИХ  
НАБЛЮДЕНИЕ**



**МОСКВА «НАУКА»  
ГЛАВНАЯ РЕДАКЦИЯ  
ФИЗИКО-МАТЕМАТИЧЕСКОЙ ЛИТЕРАТУРЫ**

**1980**

22.655  
Ч-93  
УДК 523.6

РЕДАКЦИОННАЯ КОЛЛЕГИЯ  
Председатель Д. Я. МАРТЫНОВ

**Чурюмов К. И.**

Ч-93 **Кометы и их наблюдение.**— М.: Наука, Главная редакция физико-математической литературы, 1980.—160 с. с ил.— Библиотека любителя астрономии.

В книге популярно излагаются современные представления о кометах: об их природе, о методах их исследования, о задачах и способах их наблюдений силами любителей астрономии. Она состоит из двух частей. Первая часть посвящена результатам исследований комет с помощью наземной и космической техники. Во второй части излагаются задачи и методика наблюдений комет с помощью любительских средств.

Для любителей астрономии, членов астрономических кружков, учителей, лекторов.

Ч  $\frac{20604 - 139}{053(02)-80}$  207-80.1705050000

ББК 22.655  
526

*Клим Иванович Чурюмов*  
**КОМЕТЫ И ИХ НАБЛЮДЕНИЕ**

(Серия: «Библиотека любителя астрономии»)

М., 1980 г., 160 стр. с илл.

Редактор *Г. С. Куликов*  
Техн. редактор *Е. В. Морозова*  
Корректор *А. Л. Иагова*

ИБ № 11223

Сдано в набор 29.05.80. Подписано к печати 06.11.80.  
Т-20607. Бумага  $84 \times 108^{1/32}$ , тип. № 3. Обыкновенная гарнитура. Высокая печать. Услови. печ. л. 8,4. Уч.-изд. л. 8,58.  
Тираж 75 000 экз. Заказ № 196. Цена книги 25 коп.

Издательство «Наука»  
Главная редакция физико-математической литературы  
117071, Москва, В-71, Ленинский проспект, 15  
4-я типография изд-ва «Наука» 630077, Новосибирск, 77,  
ул. Станиславского, 25

Ч  $\frac{20604 - 139}{053(02)-80}$  207-80.1705050000

© Издательство «Наука»  
Главная редакция  
физико-математической  
литературы, 1980

## ПРЕДИСЛОВИЕ

Кометы являются самыми эффектными небесными телами в Солнечной системе. Кометы — это своеобразные космические айсберги, состоящие из замороженных газов сложного химического состава, водяного льда и тугоплавкого минерального вещества в виде пыли и более крупных фрагментов. Кометы относятся к группе малых тел, куда входят также астероиды, метеориты, метеорные рои и облака межпланетной пыли. Хотя кометы подобно астероидам движутся вокруг Солнца по коническим кривым, внешне они разительно отличаются от астероидов. Если астероиды светят отраженным солнечным светом и в поле зрения телескопа напоминают медленно движущиеся слабые звездочки, то кометы интенсивно рассеивают солнечный свет в некоторых наиболее характерных для комет участках спектра (механизм резонансной флуоресценции), и поэтому многие кометы видны невооруженным глазом, хотя диаметры их ядер редко превышают 1—5 км. Астероиды имеют довольно внушительные размеры (например, Церера имеет диаметр около 1000 км), но только один-единственный астероид, Весту, можно иногда увидеть невооруженным глазом.

Ежегодно открывают 5—7 новых комет и довольно часто один раз в 2—3 года вблизи Земли и Солнца проходит яркая комета с большим хвостом. Такими, например, были недавно наблюдавшиеся кометы Когоутека (1973 XII) — в 1973—1974 гг., и Веста (1976 VI) в 1976 г., а в начале 1980 г. в южном полушарии наблюдалась невооруженным глазом новая комета Бредфилда (1979I) с заметным хвостом, состоящим из веерообразно расходящихся лучей.



Кометы интересуют многих ученых: астрономов, физиков, химиков, биологов, газодинамиков, историков и др. И это естественно. Ведь кометы «подсказали» ученым, что в межпланетном пространстве дует солнечный ветер; возможно, кометы являются «виновниками» возникновения жизни на Земле, так как могли занести в атмосферу Земли сложные органические соединения (например, Тунгусский метеорит на самом деле был снежным комом, ядром небольшой кометы или осколком кометы Энке); возможно, в недалеком будущем кометные ядра будут использоваться как источники топлива для дозаправки космических кораблей, путешествующих по Солнечной системе. А кроме того, кометы, по-видимому, несут в себе ценную информацию о начальных стадиях протопланетного облака, из которого образовались также Солнце и планеты.

Кометы наблюдают и порой изучают не только специалисты-астрономы. Большую помощь в наблюдениях комет оказывают любители астрономии. До сих пор не теряют своей ценности многочисленные наблюдения любителей астрономии: оценки блеска комет, длины хвоста, его позиционного угла, структурные рисунки хвостов комет, а для некоторых комет наблюдения любителей порой остаются единственной информацией об их физических характеристиках.

В книге излагаются современные представления о природе и происхождении комет, а также даются некоторые рекомендации о том, как наблюдать кометы с помощью любительских средств и как искать новые кометы.

*К. И. Чурюмов*

## ПРИРОДА И ПРОИСХОЖДЕНИЕ КОМЕТ

## КОМЕТЫ В ИСТОРИИ ЧЕЛОВЕЧЕСТВА

Солнечная система состоит из одной звезды, девяти планет, три из которых имеют системы колец (Сатурн, Уран, Юпитер), почти сорока спутников,  $10^8 - 10^9$  малых планет (астероидов) с размерами от сотен метров до сотен километров (известно 14 астероидов поперечником более 250 км),  $10^{15}$  комет, а также большого количества метеорных тел. Астероиды, кометы и метеорные тела объединяют под одним названием «малые тела Солнечной системы».

Из всей этой совокупности объектов мы обратим свое внимание на кометы. В отличие от других малых тел, кометы обладают удивительной способностью из сравнительно небольших по размерам ядер развивать атмосферы, превосходящие по своей протяженности все известные объекты Солнечной системы, включая и само Солнце. При этом протяженные атмосферы наблюдаются у комет в течение довольно длительного периода — иногда в течение нескольких лет. Это главное свойство кометного ядра — непрерывно возобновлять и поддерживать в огромном объеме газовой-пылевой атмосферы.

Название «комета» происходит от греческого слова «кометис», что в переводе на русский язык означает «волосатый». Головой с распущенными волосами представлялась в древности грекам любая достаточно яркая комета, появляющаяся на небосводе и видимая невооруженным глазом.

Кометы появлялись неожиданно в разных частях неба, и эти появления не имели каких-либо закономерностей, как, например, движения планет и Луны. Поэтому вслед за величайшим философом древности

Аристотелем их стали считать атмосферными испарениями, поднимающимися в зону огня и там воспламеняющимися в виде огненных факелов.

Однако не все ученые разделяли мысль Аристотеля о кометах. Одним из наиболее здравомыслящих в вопросе о природе комет был римский философ Сенека. Еще в I в. н. э. он высказывал удивительные мысли о кометах, которые полностью подтвердились через 15—16 веков. Не соглашаясь с Аристотелем, Сенека писал: «Я не могу согласиться, что комета — это только зажженный огонь, это, скорее, одно из вечных творений природы... Комета имеет собственное место между небесными телами..., она описывает свой путь и не гаснет, а только удаляется. Не будем удивляться, что законы движения комет еще не разгаданы; ... придет время, когда упорный труд откроет нам скрытую сейчас правду ... Только после долгого ряда поколений постигнут то, что мы не знаем. Придет время, когда потомки будут удивляться нашему незнанию простых, ясных и естественных истин».

Можно лишь удивляться исключительной пронизательности, которой обладал Сенека, отстаивая свое представление о кометах, как о полноправных небесных телах.

Однако «всесильное» учение Аристотеля тяготело над умами, и прогрессивные мысли Сенеки многие сочли безрассудными. Поэтому даже такой знаменитый астроном, как Клавдий Птолемей, живший во II в. н. э. и написавший выдающийся научный труд «Альмагест», т. е. «Великое построение», который более 1000 лет служил для многих ученых своеобразной астрономической энциклопедией, ничего не написал о кометах. Он вполне доверял Аристотелю и также смотрел на кометы, как на подлунные метеоры, т. е. земные испарения, освещаемые Луной, и по этой причине, как он считал, не имеющие никакого отношения к древнейшей науке — астрономии.

Первое зафиксированное в хрониках появление кометы относится к 2296 г. до н. э. Комета наблюдалась китайскими астрономами, которые тщательно следили за движением небесной странницы по созвездиям. Ведь небо в представлении древних китайцев являлось огромной страной, состоящей из многочисленных областей и провинций, в которых яркие пла-

неты были правителями, а звезды представляли собой местные органы власти. И естественно, чтобы поддерживать порядок в таком обширном государстве, необходимы были курьеры, доставляющие правительственные депеши из провинции в провинцию. Их роль как раз и выполняли кометы, стремительно перемещаясь по созвездиям и разнося приказы государя-императора. Через некоторый, значительно более длительный промежуток времени, происходило перемещение ярких планет из одного созвездия в другое — это выполнялась правительственная воля о перемещении начальников из одних провинций в другие. Иногда в каком-либо созвездии вспыхивала новая звезда — «звезда-гостья». И ее появление также заранее предписывалось одним из императорских приказов, который заранее посылался с хвостатым курьером.

Однако такую роль чиновников-курьеров кометам приписывали только китайские астрономы. По их представлениям, события, происходящие в небесной стране, являлись предвестниками событий, которые должны будут произойти после этого на Земле.

В других странах «хвостатые звезды» считались вестниками гнева богов, и поэтому неожиданное появление яркой кометы, в которой видели отрубленную голову с развеянными по небу волосами, воспринималось людьми как знак огромной беды, нависшей над Землей, как перст судьбы, неумолимо занесшей над человечеством свой карающий меч за все преступления и злодеяния жителей той или иной страны.

Жители Древнего Египта, Греции, Рима и других стран были подвержены паническому страху перед кометами, которые считались зловещим знаменем, предшествующим или войнам, или вселенскому мору, или каким-либо ужасным стихийным бедствиям — землетрясениям, наводнениям, засухе и т. п., приводящим к гибели и уничтожению всего живого.

Вот, например, как расценивал появление яркой кометы с огромным хвостом в 371 г. до н. э. греческий историк Диодор Сицилийский: «В первый год 102-й олимпиады, когда архонтом Афин был Алцисфен, много знамений указывали на близкие невзгоды лакедемонян: пылающий факел необычайных размеров, как пылающая балка, появлялся на протяжении многих ночей».

Яркие и большие кометы могут блеснуть разнообразием внешнего вида: то у кометы наблюдается один огромный хвост, как рог изобилия висящий в небе, то может быть несколько хвостов разной длины и цвета, то десяток-другой параллельных полос в хвосте напоминают струны арфы, то вдруг у некоторых комет вокруг их ядер появляются концентрические светящиеся кольца-галосы, то появляется комета с несколькими туманными головами и из каждой тянется хвост — один или несколько. Это богатое разнообразие кометных форм не прошло незамеченным, и яркие кометы в зависимости от их внешнего вида стали классифицировать по типам, причем основой того или иного типа все-таки служил не внешний вид, а то пагубное действие, которое данная комета якобы может оказать на судьбы людей или течение исторических событий. Так, например, римский писатель Плиний Старший, нашедший свою смерть под пеплом извергающегося Везувия в 79 г. н. э., делил кометы на 12 классов. Он писал: «Комета есть, в общем говоря, звезда ужасная; она предвещает немалое кровопролитие, чему мы видели примеры в событиях, которые были во время консульства Октавия». Далее Плиний пишет: «Мы видели в войне Цезаря с Помпеем примеры страшных последствий появления кометы...; комета — это опасная звезда, которая, отсвечивая своими страшными волосами, уничтожает все земное».

В те далекие времена также господствовало убеждение, что кометы могут сильно повлиять на судьбы и поступки людей и, в первую очередь на сильных мира сего — королей, императоров, пап и др. Римский историк Светоний серьезно считал, что одно из хвостатых светил, появившихся над Римом, так подействовало на Нерона, что он уже не мог остановиться, совершая кровавые злодеяния во время своего правления.

Греческий историк Дион Кассий усматривал причину смерти императора Веспасиана также в появлении на небосклоне яркой кометы. Император был в это время уже тяжело болен, но он не верил в этот предрассудок и поэтому, услышав переговоры напуганных придворных, успокаивал их, посмеиваясь: «Эта волосатая звезда угрожает скорее не мне, а царю Парфянскому, так как он волосатый, а я совсем облысел».

Но не все обладали таким чувством юмора, и поэтому многие императоры и короли держали при дворе астролога, который по появлению и движению комет предсказывал судьбу властителей. Положение астрологов при дворе было крайне ненадежным, и судьбы их самих зависели от капризов императоров. Тиберий, например, не очень доверял предсказаниям придворных астрологов, и по его приказу не раз топили в Тибре то одного, то другого незадачливого предсказателя.

Просматривая старые хроники, часто можно обнаружить рядом с сообщением о смерти царственной или духовной особы сведения о появлении кометы. Ведь, как уверял выдающийся врач эпохи Возрождения Парацельс, кометы посылаются нам ангелами, чтобы предупредить нас о смерти. Появление кометы совпало со смертью римского императора Константина (336 г.), предводителя гуннов Аттилы (453 г.), Магомета (632 г.), французского короля Людовика Благочестивого (837 г.), польского короля Болеслава I (1024 г.), французского короля Генриха I (1060 г.), английского короля Ричарда I (1198 г.), германского императора Фридриха II (1250 г.), пап — Иннокентия IV (1254 г.) и Урбана IV (1264 г.) и др.

В 1453 г. под натиском турок пал Константинополь, и вся Европа остро переживала страшное известие. А в 1456 г. на небе появилась ярчайшая комета, воспринятая как знамение божественного гнева: ведь турки, захватив Константинополь, превратили храм Святой Софии в мечеть и вырезали или обратили в рабство все христианское население города. Появление кометы в июне 1456 г. было воспринято как предзнаменование новых бед: опасались даже за существование христианства в европейских государствах. Комета, по описанию историков того времени, была огромной и «ужасной»: ее хвост простирался на 60°, имел золотистый блеск и казался бушующим пламенем. Чтобы избежать страшной «опасности», папа Каликст III приказал ежедневно в полдень во всех церквях звонить в колокола и в молитвах проклинать комету и турок.

Страх перед кометами порождал у людей всевозможные предрассудки и довольно нелепые видения. Чего только не видели в кометах! И огненные мечи, и кровавые кресты, и горящие кипжалы, и копыя, и драконов, отрубленные головы и т. п. Особенно

часто можно встретить такие описания комет в книгах средневековья и эпохи Возрождения. Например, знаменитый французский хирург Амбруаз Парэ так описывает в одной из своих книг комету 1528 г.:

«Эта комета была столь ужасна и страшна и порождала в народе столь великое смятение, что некоторые умирали от одного лишь страха, а другие заболели. Она представляла собой светило громадной длины и кровавого цвета; в вершине ее была видна сжатая рука, держащая длинный меч, как бы готовый разить. У конца его клинка были видны три звезды. По обе стороны лучей, выходящих из хвоста этой кометы, виднелось множество топоров, ножей, мечей, обогранных кровью, а среди них были видны ужасные челове-



Рис. 1. Так представляли себе суеверные люди в Средние века появление кометы 1528 г.

ские лица со включенными бородами и дыбом стоящими волосами». Все это хорошо можно видеть на рисунке (рис. 1), взятом из книги Амбруаза Парэ.

Суеверия, связанные с появлением ярких комет, были настолько сильны, что даже просвещенные люди не были свободны от предрассудков. Так, например,

известный математик И. Бернулли говорил, что само тело кометы не является видимым знаком гнева божия, но хвост ее очень мог бы быть таким знамением.

Однако постепенно взгляд на комету как на обычное небесное тело пробивал себе дорогу среди суеверий и фантастических домыслов.

Один из самых выдающихся астрономов средневековья, наиболее способствовавший возрождению астрономических знаний, Региомонтан заинтересовался кометами как объектом научного исследования и начал тщательно и регулярно наблюдать все появлявшиеся и видимые невооруженным глазом светила. Он первым описал траекторию, по которой двигалась комета 1472 г., отмечая каждый день ее положение относительно звезд и направление хвоста. К сожалению, Региомонтан прожил только 40 лет (1436—1476 гг.) и не довел свои исследования до конца. В XVI в. астроном Апиан, наблюдая за кометой 1531 г., пришел к выводу, что хвост ее всегда направлен в противоположную от Солнца сторону. Однако он не понял, что причиной такой ориентации хвоста кометы является само Солнце.

И вот, наконец, решил изучать движение комет самый искусный наблюдатель средневековья — Тихо Браге. Чтобы определить расстояние до кометы 1577 г., он предложил проводить одновременные наблюдения из двух удаленных друг от друга обсерваторий. Сам он наблюдал в Гельсинбурге, а его ученики следили за той же самой кометой в Уранибурге. Сопоставив эти наблюдения, Тихо Браге определил, что комета находится значительно дальше Луны, так как ее параллакс, т. е. смещение относительно звезд при наблюдении из двух различных точек на земной поверхности, оказался значительно меньше лунного. Наблюдения Тихо Браге и его учеников доказывали, что кометы не могут быть испарениями Земли и других планет, а являются самостоятельными телами, которые нужно изучать, чтобы понять их природу и происхождение.

В конце 1664 г. жители Северного полушария наблюдали на небосклоне очень яркую комету с длинным хвостом. Многие особы королевского рода сочли, что она явилась за ними. Португальский король Альфонс VI, полагая, что именно ему комета грозила смертью, обругал ее последними словами и даже



угрожал ей своим пистолетом. Эта же комета очень поразила и напугала короля Франции Людовика XIV. Но «Его величеству» захотелось услышать, что скажут по поводу кометы ученые мужи, и он распорядился в 1665 г. собрать в Париже астрономов и других ученых из разных стран, чтобы они сообща решили, что такое кометы и откуда они приходят, почему их появление вызывает страх и каким образом они влияют на здоровье царственных особ? Это был первый в истории науки международный астрономический съезд, посвященный «хвостатым звездам»...

Гипотезы о происхождении комет, которые тогда обсуждались, в большинстве случаев носили фантастический характер. Многие придерживались догматического представления Аристотеля о кометах как земных испарениях. Однако находились и такие ученые, в умах которых уже совершилась коперниканская революция и которые выступили с новыми гипотезами о природе комет, основываясь на наблюдениях Региомонтана, Апиана и Тихо Браге. Еще в начале царствования Людовика XIV философ Гассенди утверждал, что «кометы, действительно, страшны, но только вследствие нашей глупости. Мы самым бескорыстным образом выдумываем предметы безотчетного страха и, не довольствуясь действительными своими бедствиями, прибавляем к ним еще воображаемые».

Однако призыв разумных людей XVII в. смотреть на кометы как на естественные небесные тела, а причины войн, эпидемий и голода искать в социальных противоречиях, мало кого убедил. В придворной хронике того же Людовика XIV в связи с появлением большой кометы 1680 г. можно прочесть следующее: «Уже три дня, как все трубы наведены на небо, новая комета, какой еще не видели в новейшие времена, день и ночь занимает внимание ученых мужей нашей Академии. В городе царит большой страх; робкие люди видят в этом светиле предзнаменование нового потопа, потому что, как они утверждают, наводнение всегда предвещается огнем; но для меня это может показаться убедительным лишь тогда, когда г. Кассини потрудится мне это доказать. Но между тем как трусы пишут духовные завещания и ввиду близости конца мира отказывают свое имущество монахам, двор сильно занят вопросом о том, не предвещает ли это блуждаю-

щее светило смерти какой-нибудь великой личности, подобно тому как, по словам историков, была возведена таким образом смерть римского диктатора (в 44 г. до н. э. появилась яркая и большая комета, и в этом же году был убит Юлий Цезарь.— К. Ч.). Некоторые из храбрых придворных смеялись вчера над этим мнением, брат Людовика XIV, видимо, боявшийся, как бы не сделаться вдруг Цезарем, довольно холодно возразил на это: „Хорошо вам, господа, шутить; вы не принцы!“».

Но все это обилие суеверий и предрассудков не могло, разумеется, остановить закономерный процесс познания природы комет.

### ОТ КАТАЛОГА ЭДМОНДА ГАЛЛЕЯ ДО КАТАЛОГА БРИАНА МАРСДЕНА

Наибольший вклад в изучение истинной природы хвостатых светил в XVII в. и в первой половине XVIII в. был сделан Эдмондом Галлеем (1656—1742). Он был разносторонним деятелем — и капитаном королевского флота, и военным инженером, и геофизиком, и статистиком. Но в первую очередь он был выдающимся астрономом своей эпохи. Самым главным открытием Галлея было установление того, что одна и та же комета появлялась на небе и в 1531 г., и в 1607 г., и в 1682 г. Таким образом, Галлей открыл периодичность появления одной из замечательнейших в истории астрономии комет.

17-летним юношей поступил Галлей в Оксфордский университет, и самой любимой его наукой стала астрономия. Отец подарил ему астрономическую трубу длиной 24 фута (7,3 м), большой секстант, и Галлей много времени посвящал наблюдениям звездного неба и Солнца. В 19 лет он опубликовал свою первую научную статью «Прямой и геометрический способ нахождения афелия и эксцентриситета планетных орбит» и приобрел высокий авторитет в ученых кругах. Далее Галлей заинтересовался определением истинных мест звезд с целью исправления ошибок в звездном каталоге Тихо Браге и дополнением его собственными наблюдениями. Но так как для звезд Северного полушария этим вопросом занимался Флемстид в Лондоне и Гевелий в Данциге, Галлей решил организовать астроно-

мическую экспедицию в южное полушарие для наблюдения положений южных звезд. Инициатива Галлея была поддержана королем Карлом II, и молодой астроном в 1676 г. отплыл на корабле на остров Святой Елены. В течение 18 месяцев Галлей определял положение южных звезд и, закончив обширную программу наблюдений, вернулся в Англию. За эту работу Оксфордский университет присудил Галлею ученую степень «Master of Arts» (Магистр искусств), а Королевское общество избрало его своим членом.

Заинтересовавшись движением кометы 1682 г., Галлей взялся за вычисление ее орбиты. Однако возникшие при решении этой задачи трудности заставили его обратиться к Ньютону. Галлея интересовало, по какому пути должна двигаться комета, если сила, действующая на нее, изменяется обратно пропорционально квадрату расстояния от Солнца. Ньютон уже проделывал подобные вычисления и поэтому сразу ответил Галлею, что комета будет двигаться по эллиптической орбите. По просьбе Галлея Ньютон изложил свои вычисления и теоремы о движении в трактате «De Motu», т. е. «О движении». Как известно, этот трактат послужил в дальнейшем основой для главного труда Ньютона «Математические начала натуральной философии», вышедшего в мае 1687 г.

Воодушевленный ясными принципами, изложенными в работах Ньютона, Галлей занялся вычислением кометных орбит по достоверным астрономическим наблюдениям, собранным им из различных исторических хроник, начиная с 1337 г. и кончая 1698 г. В результате упорных поисков Галлею удалось собрать сведения о 24 кометах.

В 1704 г. результаты своих вычислений Галлей изложил в книге «Обзор кометной астрономии». Цель, которую он поставил перед собой при написании книги, заключалась в подтверждении справедливости ньютоновой теории всемирного тяготения, а также в проверке предположения Ньютона о том, что кометы совершают движение вокруг Солнца по очень вытянутым эллиптическим орбитам. Вот что писал по этому поводу сам Галлей: «Следуя по стопам великого ума, я приступил к приспособлению его геометрического метода к арифметическим вычислениям орбит комет,— и труды мои были не напрасны. Собрав отовсюду

наблюдения комет, я составил таблицу, плод обширного и утомительного труда, небольшую, но небесполезную для астрономов». Приведенная здесь таблица 1 представляет собой первый каталог кометных орбит, составленный Э. Галлеем. В нем содержатся следующие элементы орбит:  $T$  — момент прохождения кометы через перигелий,  $\Omega$  — долгота восходящего узла орбиты, которая отсчитывается от точки весеннего равноденствия  $\Upsilon$  против часовой стрелки (если смотреть со стороны северного полюса) в плоскости эклиптики до линии пересечения последней с плоскостью кометной орбиты,  $\omega$  — угловое расстояние перигелия от восходящего узла орбиты,  $i$  — наклонение орбиты — угол между плоскостью кометной орбиты и плоскостью эклиптики,  $q$  — перигелийное расстояние. Для точного определения положения кометы в пространстве нужен еще элемент:  $e$  — эксцентриситет орбиты (для комет каталога Галлея эксцентриситет принимается равным 1). Через два последних элемента можно выразить (см. с. 24) величину большой полуоси орбиты  $a$  (она задается в астрономических единицах, а. е.; астрономическая единица — среднее расстояние Земли от Солнца).

Эти элементы являются своеобразным паспортом каждой кометы: они полностью характеризуют форму орбиты, ее размеры, пространственное расположение относительно направления на точку весеннего равноденствия и плоскости эклиптики.

Галлей вычислил элементы орбиты только для 24 комет, для которых он имел достаточное число наблюдений, так как для определения орбиты небесного тела нужно знать как минимум три точных положения для трех фиксированных моментов времени.

В своем каталоге кометных орбит Галлей обнаружил удивительный факт: три кометы, появившиеся в 1531, 1607 и 1682 гг., имели очень близкие друг к другу орбитальные элементы. Отсюда Галлей сразу же заключил, что это не три разные кометы, а появления одной и той же кометы, средний период обращения которой вокруг Солнца можно принять равным

$$P_{\text{ср}} = \frac{1}{2} (1682 - 1531) = 75,5 \text{ года.}$$

Таблица 1. Первый каталог

№ п.п	Момент прохождения через перигелий, T	Долгота восходящего узла $\Omega$
1	1337 июнь 2,268	84°21'0''
2	1472 февр. 28,932	281°46'20''
3	1531 авг. 24,888	49°25'0''
4	1532 окт. 19,225	80°27'0''
5	1556 апр. 21,835	175°42'0''
6	1577 окт. 26,781	25°52'0''
7	1580 нояб. 28,625	18°57'20''
8	1585 сент. 27,806	37°42'30''
9	1590 янв. 29,152	165°30'40''
10	1596 июль 31,830	312°12'30''
11	1607 окт. 16,151	50°21'0''
12	1618 окт. 29,517	76°01'0''
13	1652 нояб. 2,653	88°10'0''
14	1661 янв. 16,987	82°30'30''
15	1664 нояб. 24,495	81°14'0''
16	1665 апр. 14,219	228°02'0''
17	1672 февр. 20,359	297°30'30''
18	1677 апр. 26,026	236°49'10''
19	1680 дек. 8,042	272°02'0''
20	1682 сент. 4,319	51°16'30''
21	1683 июль 13,118	173°23'0''
22	1684 май 29,427	268°15'0''
23	1686 сент. 6,606	350°34'40''
24	1698 окт. 8,706	267°44'15''

Вот оно, подтверждение мысли Ньютона об эллиптических орбитах комет! Зная период обращения, уже можно легко, пользуясь третьим законом Кеплера, определить большую полуось, а по ней и эксцентриситет эллипса:

$$a = \sqrt[3]{P_{\text{ср}}^2} = 17,86 \text{ а. е.},$$

$$e = 1 - \frac{q}{a} = 0,968.$$

Вот как сам Галлей описывает свое открытие первой периодической кометы: «Довольно многое заставляет меня думать, что комета 1531 г., которую наблюдал Апиан, была тождественна с кометой 1607 г., описанной Кеплером и Лонгомонтаном, а также с той, которую наблюдал я сам в 1682 г. Все элементы сходятся почти в точности, и только неравенство периодов, из которых первый равен 76 годам 2 мес., а вто-

КОМЕТНЫХ ОРБИТ (Галлея)

Угловое расстояние перигелия от узла, $\omega$	Наклонение орбиты, $i$	Перигелийное расстояние, $q$ (а.е.)
46°22'0''	147°49'0''	0,40666
236°12'50''	174°40'0''	0,54273
107°46'0''	162°04'0''	0,56700
30°40'0''	32°36'0''	0,50910
103°08'0''	32°06'30''	0,46390
256°30'0''	105°27'15''	0,18342
90°08'30''	64°40'00''	0,59628
331°08'30''	6°04'00''	1,09358
308°36'10''	150°19'20''	0,57661
83°50'30''	124°48'00''	0,51293
108°05'0''	162°58'00''	0,58680
286°13'0''	37°24'0''	0,37975
300°08'40''	79°28'0''	0,84750
33°28'10''	32°35'50''	0,44851
310°32'35''	158°41'30''	1,02576
156°07'30''	103°55'0''	1,10649
109°29'0''	83°22'10''	0,69739
97°12'05''	100°56'45''	0,28059
350°37'30''	60°56'0''	0,00612
108°23'45''	162°04'0''	0,58328
87°53'30''	96°49'0''	0,56020
330°37'0''	65°48'40''	0,96015
86°25'50''	31°21'40''	0,32500
356°53'0''	168°14'0''	0,69129

рой 74 годам 10,5 мес., по-видимому, противоречит предположению о тождестве, но разность между ними не столь велика, чтобы ее нельзя было приписать каким-либо физическим причинам. Мы знаем, что движение Сатурна так сильно возмущается другими планетами, особенно Юпитером, что время его обращения известно лишь с точностью до нескольких дней. Насколько же больше должна подвергнуться таким влияниям комета, уходящая от Солнца почти в четыре раза далее Сатурна! Поэтому я с уверенностью решаюсь предсказать ее возвращение на 1758 г. Если она вернется, то не будет больше никакой причины сомневаться, что и другие кометы должны снова возвращаться к Солнцу».

Галлей оказался совершенно прав. Французские математики и астрономы Клеро, Лаланд и Гортензия Лепот проделали колоссальную вычислительную работу, чтобы определить очередное прохождение этой

кометы через перигелий. По их расчетам, это должно было произойти 13 апреля 1759 г. с возможной ошибкой около месяца. И комета вернулась почти точно по расписанию, подтвердив расчеты французских ученых, а тем самым и закон всемирного тяготения Ньютона. В честь единственной женщины, участвовавшей в этой трудоемкой вычислительной работе, именем ее был назван новый цветок, привезенный Лежантилем из Индии в Европу. А за первой периодической кометой прочно закрепилось название кометы Галлея. С тех пор она наблюдалась также в возвращениях 1835 и 1910 гг. Новые методы небесной механики, разработанные Коуэллом и Кроммелином, позволили проследить движение кометы Галлея в далеком прошлом — вплоть до 240 г. до н. э.

Сильный переполох вызвало среди населения последнее возвращение кометы Галлея в 1910 г., так как согласно расчетам П. Коуэлла и А. Кроммелина 18 мая Земля должна была пройти через хвост этой кометы. Распространились слухи об отравлении земной атмосферы кометными ядовитыми газами. Однако, хотя Земля, действительно, на некоторое время погрузилась во внешние части хвоста кометы Галлея, никаких заражений атмосферы, а также ожидавшихся необычных явлений, не отмечалось. В это время ядро кометы находилось на расстоянии около 30 млн. км от Земли, т. е. примерно в 80 раз дальше Луны. Не было также отмечено усиление метеоритной бомбардировки верхней атмосферы Земли, хотя сама комета Галлея и является родоначальницей двух метеорных потоков, движущихся (как и комета) вокруг Солнца по эллиптическим орбитам. Эти метеорные потоки получили название Гамма-Акварид (с 28 апреля по 5 мая) и Орионид (с 18 по 22 декабря).

Очередное возвращение кометы Галлея ожидается 9 февраля 1986 г. Однако начиная уже с 1984 г., когда комета будет находиться в созвездии Тельца, ее можно будет сфотографировать с помощью светосильных телескопов. Эти первые наблюдения кометы Галлея в ее очередном возвращении позволят уточнить элементы ее орбиты и поточнее определить условия ее видимости в ожидавшемся появлении. К сожалению, предварительные расчеты видимости кометы показали, что для любителей в Северном полушарии она будет

почти недоступной для наблюдений, а в Южном полушарии будет выглядеть довольно скромным объектом 4-й звездной величины. В США предполагается уже в 1980 г. запустить навстречу комете Галлея космический парусник «Гелиогиро», несущий полезную нагрузку около 1350 кг. Встреча парусника, который

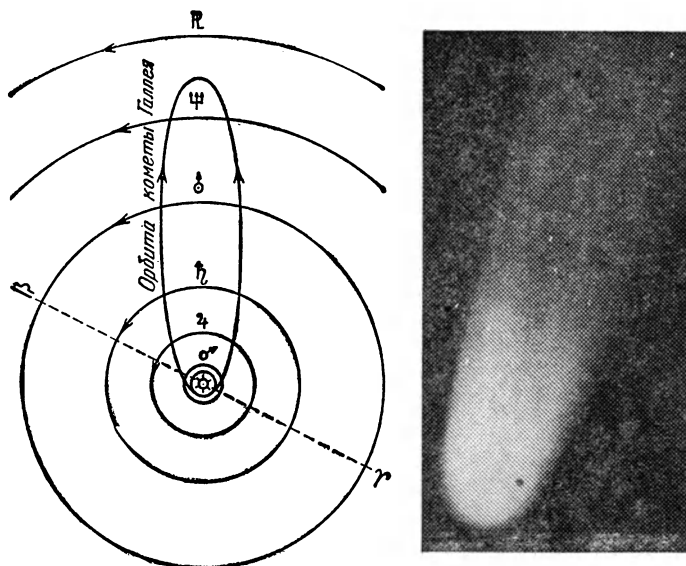


Рис. 2. Орбита кометы Галлея и вид кометы 10 мая 1910 г.

будет двигаться в космосе под действием солнечного ветра, с кометой Галлея должна произойти в феврале — марте 1986 г. С помощью этого парусника предполагается доставить на Землю кометное вещество. Такой эксперимент сразу позволит решить вопрос: является ли кометное вещество той первичной материей, из которой состояла протопланетная туманность, или это фрагменты поверхности планетных спутников, выброшенных путем вулканических извержений.

На рис. 2 представлена орбита кометы Галлея. В настоящее время комета пересекла уже орбиту Урана и от перигелия ее отделяют около 5 лет. Рис. 3 изображает видимый путь кометы Галлея среди звезд за период с 1974 по 1985 гг. Каждая петля на этом



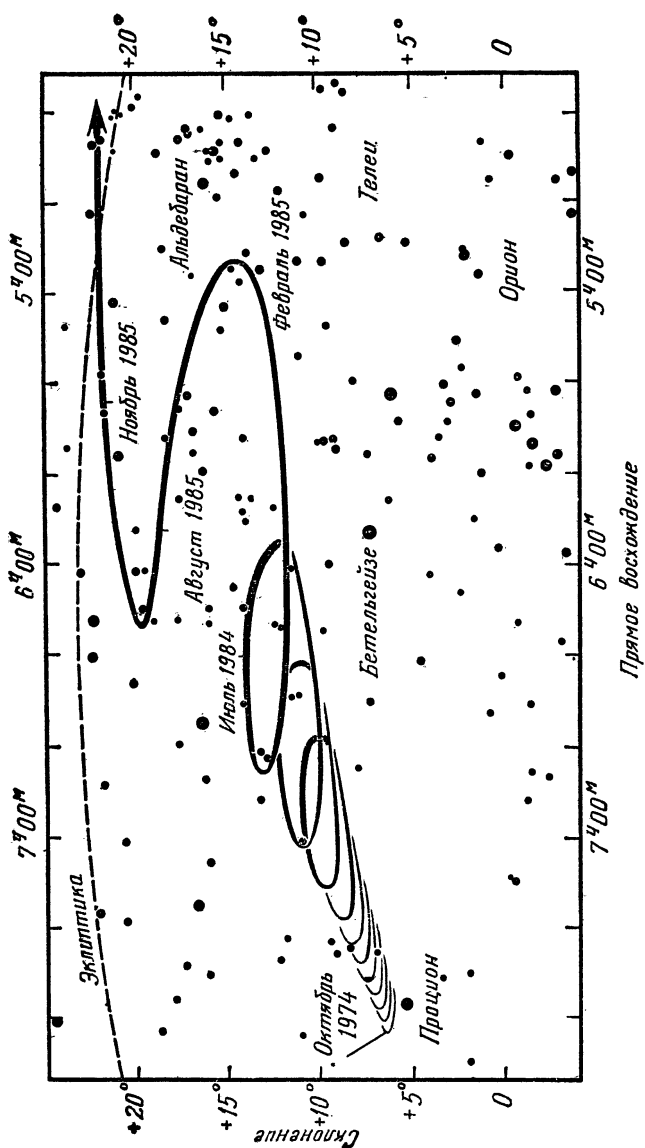


Рис. 3. Видимый путь кометы Галлея за период с 1974 по 1985 гг.

рисунке представляет собой отражение годичного движения Земли по орбите. С приближением кометы к перигелию петли становятся все больше и больше.

Таким образом, первый каталог кометных орбит, составленный Галлеем на основании собственных вычислений, сыграл выдающуюся роль в открытии первой периодической кометы, оказавшейся к тому же настолько яркой, что каждое ее новое появление, к тому же заранее предусмотренное, открывало все новые и новые кометные тайны.

В дальнейшем были развиты эффективные методы небесной механики, и эллиптические орбиты были обнаружены у многих комет, обращающихся вокруг Солнца. При этом большая часть эллиптических орбит оказалась короткопериодическими, т. е. с периодами меньше 12 лет. Повторные возвращения таких комет уже происходят на наших глазах. Однако есть кометы, движущиеся по эллиптическим орбитам даже более вытянутым, чем у кометы Галлея. Периоды обращения таких комет вокруг Солнца могут достигать нескольких сотен тысяч или миллионов лет.

Все появлявшиеся как в далеком прошлом, так и в настоящее время кометы, при наличии достаточного числа уверенных наблюдений, заносятся после вычисления или перевычисления их орбит в кометные каталоги.

Широкую известность, например, получил каталог Бальде и Обальдия, в котором представлены орбиты и другие данные для 763 появлений 540 различных комет. Для каждой из них указаны следующие элементы кометной орбиты:  $T$ ,  $\Omega$ ,  $\omega$ ,  $i$ ,  $a$ ,  $e$ ,  $q$ .

Из орбит 540 комет, внесенных в каталог Бальде и Обальдия, 63 орбиты гиперболические, 353 — почти параболические, 56 — большие эллиптические с периодом обращения вокруг Солнца  $P$  от 15 до 1000 лет и 68 — малые эллиптические с коротким периодом обращения  $P$  — меньше 15 лет.

За всю историю человеческой цивилизации до наших дней наблюдалось около 2000 кометных появлений. К сожалению, для 910 кометных появлений нет сведений о точных положениях этих комет для трех фиксированных моментов времени. Поэтому ничего определенного об их орбитах сказать нельзя. В литературных ссылках о наблюдении этих комет содержатся

только самые общие сведения о внешнем виде кометы, ее приближенной яркости, иногда встречаются сведения о первом наблюдателе данной кометы. В этом смысле представляют интерес каталоги Бальде и Ямамото.

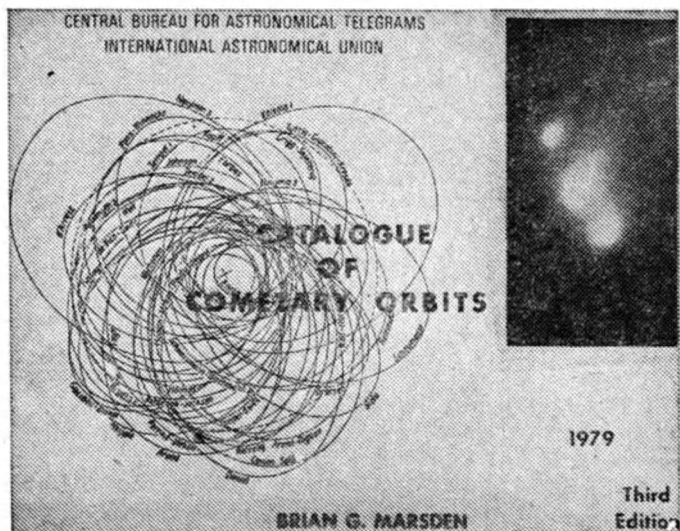


Рис. 4. Каталог кометных орбит Б. Марсдена. На обложке изображены орбиты некоторых комет семейства Юпитера и три вторичных ядра кометы Веста (1976 VI), распавшейся в 1976 г. (фотография).

Наиболее точным из всех существующих каталогов кометных орбит является каталог, составленный выдающимся вычислителем орбит малых тел Солнечной системы, директором американского центра малых планет и Бюро астрономических телеграмм Смитсоновской астрофизической обсерватории Брианом Марсденом. Впервые каталог был издан в 1972 г. и уже дважды переиздавался и дополнялся — в 1975 г. и 1979 гг. Значительная часть кометных орбит каталога была вычислена самим Б. Марсденом. Последнее издание каталога кометных орбит (рис. 4) было прислано автору Марсденом.

Каталог Марсдена содержит сведения о 1029 кометных появлениях, начиная с 86 г. до нашей эры и кончая февралем 1979 г., т. е. за промежуток времени, равный 2065 годам, Б. Марсден включил в свой каталог те появления комет, для которых можно было собрать достоверные наблюдения, позволяющие вычислить элементы их орбит.

Так как некоторые кометы движутся по эллиптическим, т. е. замкнутым орбитам, они периодически возвращались к Солнцу и могли наблюдаться в нескольких появлениях. Поэтому 1029 кометных появлений каталога Марсдена — это только 659 различных комет. Из них 114 короткопериодических, из которых 73 кометы уже наблюдались в двух и более появлениях и 41 комета пока только в одном появлении. Остальные 545 комет каталога долгопериодические: 162 имеют эллиптические, 285 — параболические и 98 — гиперболические орбиты. Для всех этих комет в каталоге содержатся следующие данные: обозначение кометы,  $T$  (по мировому времени),  $q$ ,  $e$ ,  $\omega$ ,  $\Omega$ ,  $i$ , период обращения вокруг Солнца для эллиптических орбит, эпоха (момент времени, соответствующий определенному положению небесного экватора), число наблюдений, интервал наблюдений, обозначение кометы по имени открывателя и литературные источники, из которых почерпнуты сведения об орбитах. Кроме того, в каталог включены таблицы о периодических кометах, наблюдавшихся в двух или более появлениях, о негравитационных параметрах и ряд статистических таблиц.

Исключительная ценность каталога Бриана Марсдена заключается в высокой надежности и точности приведения в нем элементов кометных орбит.

## ЭВОЛЮЦИЯ КОСМИЧЕСКИХ ПУТЕЙ КОМЕТ

Великий английский ученый Исаак Ньютон в XVII в. первым понял, какие силы заставляют двигаться планеты и другие небесные тела по их орбитам. Это силы взаимного тяготения, которые существуют извечно между любыми материальными телами, будь то гигантская звезда или мельчайшая частичка. Эта идея И. Ньютона нашла свое отражение в его знаменитом законе всемирного тяготения, в котором им была установлена фундаментальная зависимость

гравитационной силы от произведения масс двух тел, деленного на квадрат расстояния между ними. Применяя математический анализ, Ньютон показал, что если сила, действующая между двумя телами, обратно пропорциональна квадрату разделяющего их расстояния, то оба тела должны двигаться относительно их общего центра тяжести по коническим сечениям, т. е. по одной из кривых, которые образуются в результате пересечения поверхности конуса с плоскостью. А такими кривыми, как известно, могут быть окружность, эллипс, парабола и гипербола. Форма конического сечения определяется значением эксцентриситета:  $e = 0$  — окружность,  $e = 1$  — парабола,  $0 < e < 1$  — эллипс,  $e > 1$  — гипербола.

Реализация двух предельных случаев эксцентриситетов конических сечений для окружности ( $e = 0$ ) и параболы ( $e = 1$ ) из бесконечного набора значений, заключенных между 0 и 1, а также превышающих 1, крайне маловероятна. Эксцентриситеты гиперболических орбит комет незначительно превышают 1. Так, например, наибольшее значение  $e = 1,006$  имеет комета Сендейджа (1972 IX). Отсутствие у известных комет гиперболических орбит, для которых эксцентриситет значительно отличается от 1, указывает на то, что эти орбиты образовались из эллиптических (с  $e$ , близким к 1) под действием гравитационных возмущений от планет. Это позволяет сделать вывод, что до прохождения через планетную систему кометы движутся по эллиптическим орбитам, т. е. все они являются членами Солнечной системы, а не пришельцами из межзвездных далей.

Элементы орбиты каждой новой кометы, вычисленные на основании ряда точных наблюдений (не менее трех), публикуются в Циркуляре Международного астрономического союза (IAUC), издаваемом в США, и в Кометном Циркуляре (КЦ), издаваемом в СССР. Для эллиптических орбит в этих циркулярах помимо основных шести элементов,  $T$ ,  $q$ ,  $e$ ,  $\omega$ ,  $\Omega$ ,  $i$ , также приводятся элементы:  $a$  — значение большой полуоси эллипса, которое связано с перигелийным расстоянием соотношением

$$a = \frac{q}{1 - e} \text{ а. е.},$$

а также  $n$  — значение среднесуточного движения в гра-

дусах и  $P$  — период обращения кометы вокруг Солнца в годах, который легко определить по значению большой полуоси, пользуясь третьим законом Кеплера:

$$P = \sqrt{a^3}.$$

$P$  получается по этой формуле в годах, если  $a$  выражено в астрономических единицах. Орбита кометы пересекается с плоскостью эклиптики в двух точках  $\Omega$  (восходящий узел) и  $\mathcal{U}$  (нисходящий узел). Прямая, соединяющая точки  $\Omega$  и  $\mathcal{U}$ , называется *линией узлов*.

Когда комета, двигаясь по своей орбите, проходит через восходящий узел, она пересекает плоскость эклиптики и переходит из южного полушария в северное, т. е. из области отрицательных склонений в область положительных. Далее комета достигает точки перигелия своей орбиты  $P$ , затем через нисходящий узел вновь уходит в южное полушарие и движется к наиболее удаленной от Солнца точке своей орбиты — к афелию  $A$ . Прямая, соединяющая точки  $P$  и  $A$ , называется *линией апсид*.

После открытия новой кометы наблюдателям важно иметь под рукой экваториальные координаты кометы на каждый день. Эти координаты, определяющие положение кометы относительно звезд,  $\alpha$  — прямое восхождение и  $\delta$  — склонение на эпоху равноденствия 1950,0, а также геоцентрическое ( $\Delta$ ) и гелиоцентрическое ( $r$ ) расстояния и значение видимой звездной величины  $m$  составляют эфемериду кометы. В Циркулярах Международного астрономического союза (МАС) и Кометных циркулярах эфемериды комет приводятся через интервалы в один, пять или десять дней. Промежуточные значения координат для любого момента времени вычисляются по интерполяционным формулам.

Кометные циркуляры рассылаются во все обсерватории мира. Эфемериды ярких комет (до 12-й звездной величины) рассылаются также наиболее активным любителям астрономии, которые систематически проводят физические наблюдения комет и сообщают в Рабочую группу по физике комет Астрономического совета АН СССР при Киевском государственном университете оценки звездных величин  $m$ , диаметр  $D$  головы кометы в минутах дуги, длину хвоста  $s$  в минутах дуги и его позиционный угол в градусах. Среди таких любителей астрономии следует отметить К. Черниса

из Вильнюса, Ю. Нестерова из Ливен, А. Майдика с группой школьников из пос. Новотроицкое Донецкой области, Л. Сикорука из Новосибирска и др.

Когда комета находится далеко от Солнца и планет, она движется по первичной орбите, которая представляет собой идеальный эллипс или идеальную гиперболу. Но как только комета входит в зону планет, ее орбита под действием гравитационных возмущений от планет трансформируется в орбиту, которую нельзя представить ни одним коническим сечением, что усложняет расчет эфемериды кометы. Поэтому на дуге, представленной точными положениями кометы, полученными по ее позиционным наблюдениям, выбирают какую-нибудь точку (точку оскуляции) и вычисляют орбиту некоторой условной кометы, которая в точке оскуляции совпадала бы с реальной и уже двигалась бы только под действием гравитационной силы Солнца. Такая оскулирующая орбита позволяет рассчитывать эфемериды комет. Элементы оскулирующей орбиты могут сильно отличаться от первичной орбиты. Для выяснения принадлежности той или иной кометы к Солнечной системе необходимо произвести тщательные вычисления и анализ ее первичной орбиты.

Например, если оскулирующая орбита гиперболическая, то это не значит еще, что комета пришла из межзвездного пространства. Такой вывод можно было бы сделать, если бы и первичная орбита кометы была гиперболической.

В XIX в. этой проблемой заинтересовался Трен, который исследовал движение кометы Брукса (1886 III)\*). Он рассчитал ее движение в прошлом, учитывая возмущения от Юпитера и Сатурна, и пришел к выводу, что первичная орбита кометы Брукса была эллиптической, но под действием возмущений со стороны планет она трансформировалась в гиперболическую.

Датский астроном Стремгрен со своими сотрудниками определил первичные орбиты 25 комет и пришел к заключению, что первичные орбиты комет являются эллипсами. Следовательно, кометы — это члены Солнечной системы, и их происхождение следует рассмат-

---

\*) Об обозначениях комет рассказано в разделе «Поиски и открытия комет».

ривать в неразрывной связи с происхождением самого Солнца и планет.

Уже при первом знакомстве с характером орбит периодических комет обращает на себя внимание факт «привязанности» афелиев их орбит к орбитам планет-гигантов. Это обстоятельство дает основание для условного подразделения всех периодических комет на планетные семейства (см. табл. I—IV в Приложениях).

Наиболее впечатляющим является семейство короткопериодических комет Юпитера. В настоящее время уже известно 87 членов этого семейства (табл. I в Приложениях). Последняя комета этого семейства была открыта К. Расселом в июне 1979 г. и получила обозначение Рассел (1979 d). Афелии орбит комет семейства Юпитера заключены в пределах от 4,1 до 8,5 а. е. от Солнца, а периоды обращения их вокруг Солнца изменяются от 3,3 до 15,0 лет. Но главной особенностью орбит комет юпитерова семейства является близость их плоскостей к плоскости эклиптики и исключительно прямые движения вокруг Солнца\*). Эта особенность до сих пор не нашла окончательного объяснения, как не решен еще вопрос происхождения комет.

Если семейство юпитеровых комет довольно многочисленно, так что резонно возникает вопрос об общности его происхождения и о доминирующем влиянии самого Юпитера на судьбы этих комет, то семейства комет других планет-гигантов крайне бедны, и порой отнесение какой-либо кометы к тому или иному планетному семейству вызывает серьезные сомнения. Кроме того, в этих семействах уже встречаются довольно большие наклонения плоскостей орбит комет к плоскости эклиптики, а также и обратные движения.

К семейству Сатурна в настоящее время можно отнести 12 комет с периодами от 10,99 лет (комета Гейла) до 17,93 лет (комета Неуймина-1); одна комета Перрайна имеет обратное движение ( $i \sim 103^\circ$ ). Всего три кометы можно отнести к семейству Урана, причем одна из них (Темпеля — Тутля) обладает обратным

---

\*) *Прямым* движением небесных тел в Солнечной системе считается движение в том направлении, в каком планеты обращаются вокруг Солнца, т. е. против часовой стрелки, если смотреть со стороны северного полюса эклиптики. Соответственно *обратное* движение — движение по часовой стрелке.



движением. Более далекая от нас, чем Уран, планета-гигант Нептун вблизи своей орбиты собрала 10 комет, орбиты которых характеризуются разнообразными наклонениями: близкими к  $90^\circ$  и большими  $90^\circ$ , т. е. с обратным орбитальным движением. К семейству Нептуна относится и знаменитая комета Галлея.

Некоторые ученые скептически относятся к разделению периодических комет на планетные семейства. Например, Рессел указывал, что некоторые кометы, относящиеся к семействам Сатурна, Урана и Нептуна, имеют такие большие наклонения орбит, что временами они значительно ближе подходят к гигантскому Юпитеру, чем к своим «родным» планетам. Этот факт, по его мнению, ставит под сомнение реальность существования иных семейств, кроме семейства Юпитера.

Несколько периодических комет имеют афелии орбит, удаленные от Солнца на 50—60 а. е. Возможно, они группируются вблизи орбиты неизвестной еще трансеплутоновой планеты, недоступной наблюдениям с помощью самых светосильных телескопов.

Кроме указанного распределения орбит периодических комет по афелийным расстояниям, обращает на себя внимание распределение по перигелийным расстояниям, и в первую очередь группа комет с минимальными перигелийными расстояниями. Впервые сходство в элементах этой группы комет заметил Крейц, который тщательно исследовал движение комет 1680 года, Большой мартовской (1843 I), Большой южной (1880 I) и Большой сентябрьской (1882 II). Так эти кометы были названы из-за своей исключительной яркости, благодаря чему их заметило одновременно большое число людей, а это затрудняло установление первооткрывателя, чьим именем обычно называется всякая вновь открытая комета. Крейц предположил, что эти кометы ведут свое начало от одной гигантской кометы-родоначальницы, разрыв которой породил множество осколков и среди них эти четыре яркие кометы. В дальнейшем к этим четырем кометам добавилось еще пять комет с исключительно малыми перигелийными расстояниями  $q$  (от 0,05 до 0,009 а. е.) — это кометы Большая южная (1887 I), Перейры (1963 V), Дю Туа (1945 VII), Икейя — Секи (1965 VIII) и Уайта — Ортиза — Болелли (1970 VI). Группа из девяти комет с малыми  $q$  составляет семейство комет

Крейца, связанных общностью происхождения из одного гигантского ядра кометы-родоначальницы. Анализ элементов орбит комет семейства Крейца показывает (табл. 2), что эти кометы можно разбить на две группы с весьма близкими орбитальными элементами. В одну группу входят кометы 1887 I, 1963 V, 1880 I

Т а б л и ц а 2. Семейство комет Крейца

№ п/п	Комета		T		
1	Большая южная (Том) (1887 I)		1887,03		
2	Перейра (1963 V)		1963,64		
3	Большая южная (Гулд) (1880 I)		1880,07		
4	Большая мартовская (1843 I)		1843,16		
5	1680		1680,97		
6	Дю Туа (1945 VII)		1945,99		
7	Большая сентябрьская (Крулс) (1882 II)		1882,71		
8	Икейя — Секи (1965 VIII)		1965,80		
9	Уайт — Ортиз — Болелли (1970 VI)		1970,37		

№ п/п	q	e	$\omega$	$\Omega$	i
1	0,004834	1,0	83,5	3,9	144,4
2	0,005065	0,999946	86,2	7,2	144,6
3	0,005494	1,0	86,2	7,1	144,7
4	0,005527	0,999914	82,6	2,8	144,3
5	0,006222	0,999986	350,6	275,9	60,7
6	0,007516	1,0	72,1	350,5	141,9
7	0,007751	0,999907	69,6	347,0	142,0
8	0,007786	0,999915	69,1	346,3	141,9
9	0,008879	1,0	61,3	336,3	139,1

и 1843 I, в другую — кометы 1945 VII, 1882 II, 1965 VIII и 1970 VI. Особняком стоит комета 1680 года, но исследование ее движения показывает, что она сближалась в своем перигелии с кометами 1843 I и 1882 II. Это позволяет предположить, что первоначально материнское ядро разделилось на три кометных ядра, два из которых в дальнейшем разделились каждое на четыре фрагмента — ядра будущих комет.

Известный современный специалист в области кометной астрономии Секанина подробно изучил орбитальные характеристики комет семейства Крейца и на

основании полученных им закономерностей в распределении элементов орбит также пришел к выводу об общности происхождения этих комет. Секанина считает, что первоначальной орбите материнской кометы ближе всего соответствует орбита кометы 1882 II. Разрушение кометы-прародительницы по его расчетам произошло на расстоянии примерно 1,2 а. е. от Солнца. Кроме того, Секанина выделил еще 46 комет с малыми  $q$ , наблюдавшихся до 1966 г., и предположил, что они тоже относятся к семейству Крейца. Образование всей этой совокупности комет, по предположению Секанина, произошло в результате столкновения двух гигантских комет.

Б. Марсден, изучая движение комет с короткими перигелийными расстояниями 1882 II и 1965 VIII, счел достоверным, что обе они образовались в результате распада одного ядра во время предшествующего прохождения через перигелий, и, возможно, этой материнской кометой была комета, наблюдавшаяся в 4106 г.

Движущиеся по периодическим орбитам кометы постоянно подвергаются гравитационным воздействиям со стороны планет Солнечной системы, в первую очередь со стороны планет-гигантов, которые трансформируют кометные орбиты. Особенно могущественно влияние на движение комет Юпитера и Сатурна. Поэтому ни одна комета в Солнечной системе не может двигаться по идеальному коническому сечению (эллипсу, параболе или гиперболу), гравитационные силы от планет непрерывно сбивают ее с идеальной орбиты, по которой бы она двигалась в поле тяготения одного лишь Солнца. Путь кометы в межпланетном пространстве извилист, и методы небесной механики позволяют вычислить лишь среднюю орбиту, не во всех точках совпадающую с истинной траекторией движения кометы. Этот факт усложняет задачу встречи ядра кометы с космическим аппаратом, стартовавшим с Земли к комете по траектории, в которую закладывается эта средняя орбита кометы. Точность современных эфемерид позволяет осуществить наведение космического аппарата на комету с точностью до  $\pm 1000$  км.

Во время так называемых *сближений* с одной из планет-гигантов орбита кометы может измениться до неузнаваемости.

Особенно радикальная трансформация орбиты происходит при тесных сближениях кометы с планетой. По классификации выдающейся советской вычислительницы кометных орбит Е. И. Казимирчак-Полонской, тесные сближения характеризуются входом кометы в сферу действия планеты. А сфера действия планеты ограничивается тем расстоянием, на котором сила притяжения планеты превосходит силу притяжения Солнца. Радиус сферы действия планеты  $R$  определяется по формуле

$$R = r \sqrt[5]{m^2},$$

где  $r$  и  $m$  — среднее гелиоцентрическое расстояние и масса планеты. Радиусы сфер действия больших планет по этой формуле получаются следующими: у Юпитера 0,322 а. е., у Сатурна 0,365 а. е., у Урана 0,346 а. е. и у Нептуна 0,580 а. е. Нептун хотя и имеет намного меньшую массу, чем Юпитер, тем не менее обладает большей сферой действия, вследствие значительной удаленности от Солнца.

Однако более часто кометы все-таки проходят вне сферы действия планет и при этом, если минимальное расстояние от кометы до планеты лежит между радиусом сферы действия планеты и 1 а. е., то такое сближение называется умеренным, если же комета проходит на расстояние в 1—2 а. е. от планеты — незначительным. Однако и при таких прохождении, при умеренных больше, при незначительных меньше, изменения в элементах орбиты накапливаются от оборота к обороту. Поэтому одной из важнейших задач небесной механики комет является тщательный учет накапливающихся или скачкообразных изменений элементов орбит комет в результате сближений комет с планетами-гигантами. Это позволяет решить ряд фундаментальных задач кометной астрономии: установление тождественности кометы в различных появлениях, поиск утерянных комет, происхождение кометно-планетных семейств, а также подойти к решению вопроса о происхождении кометного ансамбля в целом.

Грандиозная работа по изучению вековой эволюции кометных орбит семейства Юпитера была осуществлена в Ленинграде, в Институте теоретической астрономии АН СССР под руководством Е. И. Казимирчак-Полонской. За эту выдающуюся работу

Е. И. Казимирчак-Полонская удостоена высшей астрономической награды Академии наук СССР — премии имени крупнейшего русского астрофизика, сделавшего огромный научный вклад в изучение физики и происхождения комет, академика Ф. А. Бредихина. Е. И. Казимирчак-Полонская разработала эффективную методику точного моделирования движения комет в Солнечной системе при учете гравитационных воздействий одновременно от всех девяти планет от Меркурия до Плутона (в случае необходимости производился учет и негравитационных сил на временном интервале от 1660 до 2060 гг.).

Исследования Е. И. Казимирчак-Полонской и Н. А. Беляева показали доминирующую роль Юпитера в преобразовании кометных орбит с течением времени. Благодаря своему могучему гравитационному полю Юпитер в период прохождения кометы через сферу его действия может существенно изменить положение орбиты в пространстве, ее форму и геометрические размеры. Это наглядно видно на примере многих короткопериодических комет семейства Юпитера, таких как комета Брукса-2, Герелса-3, Веста — Когоутека — Икемуры, Кириса — Кви и др. Под влиянием многократных как тесных, так и умеренных сближений с Юпитером кометы движутся не по регулярным кривым, а по пульсирующим эллипсам с нерегулярной периодичностью пульсаций. Кометная орбита как бы «дышит», то расширяясь, то сжимаясь. По таким «дышащим» орбитам движутся почти все кометы семейства Юпитера, например, кометы Вольфа, Швассмана — Вахмана-2, Вольфа — Харрингтона, Чурюмова — Герасименко и др. В таблице 3 приведены результаты исследования эволюции орбиты короткопериодической кометы Чурюмова — Герасименко в интервале 1660—2060 гг., полученные Н. А. Беляевым. Здесь, кроме обычных элементов орбиты, приводятся также значения  $\Delta_{\text{Ю, min}}$  — минимального расстояния кометы от Юпитера во время сближения,  $\pi$  — долготы перигелия, равной сумме элементов  $\omega$  и  $\Omega$  и  $Q$  — афелийного расстояния. Эволюция кометы Чурюмова — Герасименко оказывается весьма своеобразной. Если заглянуть в ее далекое прошлое, то оказывается, что двигалась она по почти круговой орбите ( $e \sim 0,1$ ) и перигелий ее располагался дальше 4 а. е. Естественно, что комета не была до-

ступна даже телескопическим наблюдениям. Еще одной особенностью ее было довольно значительное наклонение плоскости орбиты к плоскости эклиптики, которое достигало значения  $\sim 28^\circ,5$ , а такие большие наклонения орбит у короткопериодических комет встречаются не часто. При таком значительном накло-

Т а б л и ц а 3. Эволюция орбиты кометы Чурюмова — Герасименко (1969 IV) за 1660—2060 гг.

№№	Эпоха, эфемеридн. вр.		$\Delta_{Ю}$ , min	$\omega$	$\Omega$	
1	1660 март	03,00	0,08 0,05	40°,2	65°,0	
2	1840 сент.	16,08				
3	1959 фев.	04,48				
4	1969 сент.	11,00	11,2	61,6		
5	2059 окт.	29,00	23,3	35,4		
№№	$\pi$	$i$	$e$	$q$	$Q$	$P$
1	105°,2	27°,7	0,113	4,51	5,66	11,47
2						
3						
4	61,6	7,1	0,633	1,28	5,72	6,55
5	58,7	3,7	0,636	1,28	5,77	6,62

нении орбиты сближения кометы с Юпитером должны быть крайне редки, так как обычно сближения комет семейства Юпитера происходят в афелии. Однако, как показывает прошлая и будущая эволюция орбиты кометы, она 10 раз сближалась с Юпитером в интервале 1660—1960 гг. и до 2060 г. будет сближаться с гигантом еще три раза. Это рекордное число сближений для короткопериодической кометы в указанном временном интервале. Так как значительное наклонение орбиты исключало сближение кометы с Юпитером в афелии, сближения происходили вблизи одного из узлов орбиты (в восходящем  $\Omega$  или нисходящем  $\Upsilon$ ), а в трех случаях сближения происходили и в восходящем и нисходящем узлах с интервалом времени в половину периода обращения кометы вокруг Солнца. 10 сближений кометы до ее открытия внесли свой вклад в преобразование элементов орбиты от первоначальных к совре-

менным. Однако среди них имеются два теснейших сближения кометы с гигантом Юпитером, которые и определили в основном эволюцию орбиты кометы. Первое теснейшее сближение произошло 16 сентября 1840 г., когда комета глубоко проникла в сферу действия Юпитера до расстояния  $\Delta_{\text{Ю, min}} = 0,08$  а. е., т. е. прошла от планеты на расстоянии в 12 млн. км. Это привело к тому, что эксцентриситет скачком возрос до значения  $e = 0,36$ , а перигелийное расстояние уменьшилось до 2,8 а. е. Орбита кометы стала более вытянутой. Однако и при таком перигелийном расстоянии комета все еще была недоступна для телескопических наблюдений. Но в феврале 1959 г. произошло еще более тесное сближение ее с Юпитером, уже до минимального расстояния в 0,05 а. е., т. е. комета пронеслась через область внешних спутников Юпитера. Орбита кометы преобразовалась в еще более вытянутый эллипс, чем ранее: эксцентриситет возрос до  $e = 0,63$ , а перигелийное расстояние сократилось в два с лишним раза, и из пояса астероидов перигелий орбиты стремительно переместился к земной орбите ( $q = 1,3$  а. е.). Период обращения кометы вокруг Солнца уменьшился на 2,5 года, а наклон изменился еще резче — с  $22^{\circ},6$  до  $7^{\circ},1$ . Орбита кометы трансформировалась в типичную кометную орбиту семейства Юпитера (малый наклон и афелий вблизи орбиты Юпитера, период обращения 6—7 лет).

После этого тесного сближения с Юпитером комета прошла перигелий орбиты 22 февраля 1963 г., но это ее появление было не замечено, хотя 1 апреля 1963 г. она находилась в созвездии Тельца в рассеянном звездном скоплении Плеяды, которое довольно часто фотографируется многими астрономами в качестве фотометрического стандарта. Комета была 13-й звездной величины и вполне могла быть обнаружена на пластинках еще в 1963 г. Однако понадобился еще один оборот кометы вокруг Солнца, когда в последующем своем прохождении через перигелий в сентябре 1969 г. она была открыта киевскими астрономами К. И. Чурюмовым и С. И. Герасименко. На рис. 5 представлена эволюция формы и размеров орбиты кометы Чурюмова — Герасименко в интервале 1660—2060 гг.

Для некоторых комет тесные и умеренные сближения с Юпитером приводят к движению по спирали,

как, например, в случае эволюции орбиты кометы Уипла.

Е. И. Казимирчак-Полонская открыла еще одно поразительное действие тесных сближений комет с планетами-гигантами на эволюцию кометных орбит, а

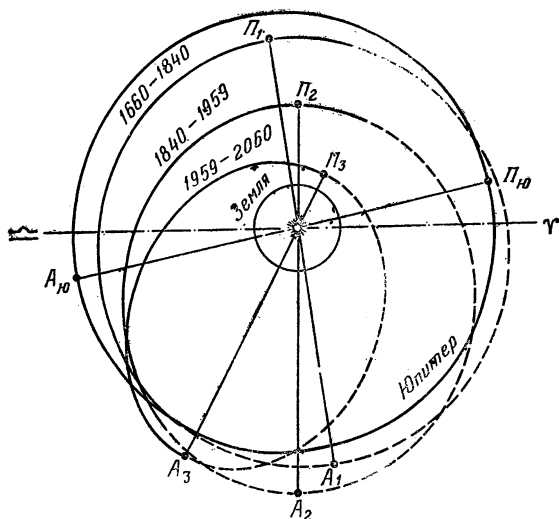


Рис. 5. Эволюция орбиты кометы Чурюмова — Герасименко (1969 IV — 1976 VII) за период с 1660 по 2060 гг

именно переход кометы из одного планетного семейства в другое. В этом смысле большой интерес представляют исследованные ею уникальные преобразования орбит комет Отерма, Герелса-3, Кирнса — Кви.

Интересную по характеру эволюции своей орбиты комету открыл в октябре 1975 г. на Паломарской обсерватории с помощью 122-сантиметрового телескопа Т. Герелс. Комета принадлежала к семейству короткопериодических комет семейства Юпитера и двигалась по орбите, близкой к круговой ( $e \sim 0,15$ ), с периодом  $\sim 8$  лет. Однако экскурс в прошлое кометы показал, что более 250 лет назад она принадлежала семейству Сатурна, и ее афелий располагался за орбитой Сатурна ( $Q \approx 12$  а. е.). В октябре 1669 г. комета приблизилась к Сатурну на расстояние  $\Delta_{c, \min} = 0,510$  а. е., что привело к сокращению периода ее обращения на 1,17 го-



да, а следовательно, и к уменьшению ее большой по-  
 луси. Эта небольшая трансформация орбиты предоп-  
 ределила сближение кометы Герелса с Юпитером в  
 августе 1729 г. до минимального расстояния  $\Delta_{Ю, min} =$   
 $= 0,336$  а. е., т. е. комета прошла по касательной к  
 сфере действия Юпитера. Любопытно, что сближение  
 кометы с Юпитером началось еще в октябре 1726 г.,  
 когда она приблизилась к Юпитеру на расстояние,  
 меньшее 2 а. е., и не удалялась от планеты на рассто-  
 яние, больше 2 а. е., до июня 1736 г. Это значит, что  
 Юпитер держал комету Герелса-3 в гравитационном  
 плену почти 10 лет. Этот плен, а также прохождение  
 кометы касательно к сфере действия Юпитера в 1729 г.,  
 трансформировали ее орбиту таким образом, что она  
 стала кругообразной ( $e = 0,24$ ), а афелий уменьшился  
 с 12 а. е. до 6 а. е., т. е. комета Герелса-3 «прописа-  
 лась» в семействе Юпитера. Второе сближение с Юпи-  
 тером в 1784 г. до  $\Delta_{Ю, min} = 0,910$  а. е. мало изменило  
 форму и размеры орбиты, но зато повернуло в прямом  
 направлении линию апсид почти на  $283^\circ$ . Во время  
 третьего сближения в 1833 г. комета Герелса-3 подо-  
 шла к Юпитеру на расстояние  $\Delta_{Ю, min} = 0,882$  а. е., и  
 Юпитер «вернул» ее в семейство Сатурна ( $Q \approx$   
 $\approx 8,5$  а. е.). В январе 1964 г. Юпитер вновь захватил  
 комету в гравитационный плен и не отпускал ее от  
 себя на расстояние, большее 2 а. е., в течение 12 лет  
 (по май 1976 г.). 15 августа 1970 г. во время этого  
 многолетнего «пленения» произошло исключительно  
 тесное сближение кометы с Юпитером до расстояния  
 $\Delta_{Ю, min} = 0,001$  а. е. В марте 1973 г. тесное сближение  
 повторилось, но уже до минимального расстояния  
 $\Delta_{Ю, min} = 0,041$  а. е. 12-летний плен кометы закончился  
 переходом ее на орбиту, целиком расположенную  
 внутри орбиты Юпитера ( $Q = 4,65$  а. е.). В дальней-  
 шем орбита кометы Герелса-3 претерпит небольшие из-  
 менения вследствие незначительных сближений в  
 2000 г. ( $\Delta_{Ю, min} = 1,253$  а. е.) и 2028 г. ( $\Delta_{Ю, min} =$   
 $= 1,543$  а. е.).

Тесное сближение кометы с Юпитером в 2057 г. до  
 расстояния  $\Delta_{Ю, min} = 0,123$  а. е. выведет афелий орби-  
 ты кометы за пределы орбиты Юпитера до  $Q =$   
 $= 6,75$  а. е., а перигелий будет располагаться почти на  
 орбите Юпитера ( $q = 5,16$  а. е.). Комета будет двигать-  
 ся по кругообразной орбите с периодом 14,5 лет.

Помимо такой переброски комет из одного семейства в другое, Юпитер в отдельных случаях может удалить комету из своего семейства на периферию планетной системы, на долгопериодическую орбиту, а иногда и в межзвездное пространство, или захватить комету с долгопериодической или разомкнутой (параболической или гиперболической) орбиты. Подобную трансформацию, как показала Казимирчак-Полонская, испытали, например, кометы Лекселя и Кирнса — Кви.

## АНАТОМИЯ КОМЕТЫ: ЯДРО, КОМА И ХВОСТ

При первом знакомстве с яркой кометой, неожиданно появившейся на ночном небе и распутившей гигантский хвост, который словно рог изобилия висит над изумленными наблюдателями, может показаться, что хвост этот и есть самая главная часть кометы, без которой она, как космический объект, не представляла бы ничего примечательного. И действительно, именно кометы с яркими хвостами, имеющими самые причудливые формы, и породили бесчисленные суеверия и страхи, о которых говорилось в начале этой книги, и именно из-за хвостов, напоминающих порой распущенные волосы, это небесное тело получило свое название кометы. Но если в этимологии слова «комета» хвост явился главной причиной для подобного наименования, то с физической точки зрения хвост является вторичным образованием, развившимся из довольно крохотного ядра, самой главной части кометы как физического объекта. Чтобы это понять, достаточно взглянуть хоть раз в телескоп на только что появившуюся комету, находящуюся на расстоянии, большем 3—5 а. е. Мы увидим бледную, едва светящуюся шарообразную туманность, иногда имеющую вид однородного размытого диска, наподобие внефокального изображения какой-нибудь звезды, но чаще всего в центре этой диффузной туманности видно сгущение, в центре которого находится *ядро* кометы — первопричина всего остального комплекса кометных явлений.

Ядра комет до сих пор все еще недоступны телескопическим наблюдениям, так как они вуалируются окружающей их светящейся материей, непрерывно истекающей из ядер. Применяя большие увеличения, можно заглянуть в более глубокие слои светящейся

вокруг ядра газо-пылевой оболочки, но и то, что остается, будет по своим размерам все еще значительно превышать истинные размеры ядра. Даже если бы нам удалось непрерывно сдувать окружающую ядро атмосферу, оно по-прежнему было бы невидимо в телескоп вследствие того, что размеры его весьма малы. Центральное сгущение, видимое в диффузной атмосфере кометы визуально и на фотографиях, называется фотометрическим ядром. Считается, что в центре его находится собственно ядро кометы, т. е. располагается центр масс кометы. Этим принципом обычно руководствуются при измерении пластинок с целью определения точных положений кометы, наводя крест нитей измерительного прибора на наиболее яркую часть этого фотометрического ядра. Однако, как показал советский астроном Д. О. Мохнач, такая идентификация не всегда правомочна и центр масс кометы может не совпадать с наиболее яркой областью фотометрического ядра. Это явление носит название эффекта Мохнача и, по-видимому, оно объясняет некоторые невязки при определении кометных орбит, которые чаще всего стараются приписать действию негравитационных эффектов. О них речь пойдет ниже.

Туманная атмосфера, окружающая фотометрическое ядро и постепенно сходящая на нет, сливаясь с фоном неба, называется *кóмой*. Кóма вместе с ядром составляют *голову* кометы. Вдали от Солнца голова выглядит симметричной, но с приближением к Солнцу она постепенно становится овальной. Затем голова удлиняется еще сильнее и в противоположной от Солнца стороне из нее развивается хвост. Таковы основные части кометы, как они выглядят в видимом свете: ядро, кóма и хвост. В ультрафиолетовом свете с борта космических аппаратов была обнаружена огромная овальная водородная кóма, в которую погружены видимая кóма, а иногда и весь видимый хвост кометы (рис. 6).

Итак, ядро — самая главная часть кометы. Однако до сих пор нет единодушного мнения, что оно представляет собой на самом деле. Еще во времена Бесселя и Лапласа существовало представление о ядре кометы как о твердом теле, состоящем из легко испаряющихся веществ типа льда или снега, быстро переходящих в газовую фазу под действием солнечного

тепла. Эта классическая ледяная модель кометного ядра была существенно дополнена и разработана в последнее время. Наибольшим признанием среди исследователей комет пользуется разработанная Уиплом модель ядра — конгломерата из тугоплавких каменистых

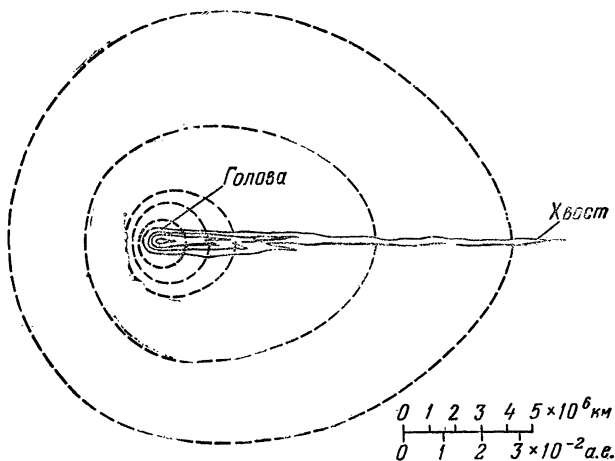


Рис. 6. Анатомия кометы: голова (ядро+кома), хвост и водородное гало.

частиц и замороженной летучей компоненты ( $\text{CH}_4$ ,  $\text{CO}_2$ ,  $\text{H}_2\text{O}$  и др.). В таком ядре ледяные слои из замороженных газов чередуются с пылевыми слоями. По мере прогревания солнечным теплом газы типа испаряющегося «сухого льда» прорываются наружу, увлекая за собой облака пыли. Это позволяет, например, объяснить образование газовых и пылевых хвостов у комет, а также способность небольших ядер комет к активному газовыделению.

Связь метеорных роев с короткопериодическими кометами наводила на мысль о каменистом ядре, имеющем газовые включения в виде сорбированных газов. Такую модель в 40-х годах разрабатывал советский астрофизик Б. Ю. Левин, рассматривавший механизм образования протяженной атмосферы путем десорбции газов с поверхности ядра. Свингс и Дельземм в 1952 г. пошли по пути развития модели ядра-конгломерата, предложенной американским астрофизиком Фредом

Уиплом, дополнив ее идеей о присутствии в ядре «родительских молекул» не в виде чистых льдов, а в форме замороженных гидратов, имеющих состав  $M \cdot n \cdot \text{H}_2\text{O}$ , где  $M$  — родительская молекула,  $n \cdot \text{H}_2\text{O}$  — число молекул воды, необходимое для образования устойчивой молекулы, включающей и данную родительскую молекулу. Гидраты же испаряются с той же скоростью, что и водяной лед. Это и наблюдается в кометах.

Согласно Уиплу механизм истечения вещества из ядра объясняется следующим образом. У комет, совершивших небольшое число прохождений через свой перигелий, — так называемых «молодых» комет — поверхностная защитная корка еще не успела образоваться, и поверхность ядра покрыта реликтовыми льдами. Газовыделение протекает крайне интенсивно путем прямого испарения из твердой фазы. В спектре такой кометы преобладает отраженный солнечный свет, что позволяет и спектрально отличать «молодые» кометы от «старых». Обычно «молодыми» или «новыми» называют кометы, имеющие очень большие полуоси орбит, так как предполагается, что они впервые проникают во внутренние области Солнечной системы. «Старые» кометы — это кометы с коротким периодом обращения вокруг Солнца, многократно проходившие свой перигелий. У «старых» комет при повторных возвращениях к Солнцу лед подтаивает все больше и больше, поверхность его «загрязняется», и он становится подобным ледниковой морене. Образовавшийся тугоплавкий экран-матрица хорошо защищает находящийся под ним лед от воздействия солнечного света.

Уипловская модель ядра-конгломерата прекрасно объясняет развитие многих кометных явлений: и обильное газовыделение из крохотных ядер, в результате которого образуются грандиозные кометные головы и хвосты, и причину негравитационных сил, отклоняющих комету от расчетного пути. Дело в том, что газовые потоки, истекающие из кометных ядер, создают реактивные силы, которые и приводят к вековым ускорениям или замедлениям в движении многих короткопериодических комет.

Однако наряду с хорошо разработанной и обоснованной моделью Уипла, продолжают существовать модели, отрицающие наличие монолитного кометного ядра. Одна из таких моделей представляет ядро коме-

ты как рой снежинок, другая — как скопление большого числа каменно-ледяных глыб. Такие ядра в реальных кометах невозможны. Снежный рой быстро рассосется под действием планетных возмущений, а ядро, состоящее из отдельных глыб, в результате взаимных столкновений последних должно довольно быстро стать компактным, т. е. монолитным.

Еще одну модель кометного ядра предложил лауреат Нобелевской премии Х. Альвен, известный как специалист в области происхождения Солнечной системы. Исходя из того факта, что ядро у кометы никто и никогда еще не наблюдал, он предположил, что оно периодически конденсируется из частиц метеорного роя под действием гравитационной фокусировки от планет и также периодически рассасывается под влиянием гравитационных возмущений от тех же планет. Все же более правдоподобной представляется модель Уипла.

Массы ядер комет заключены в пределах от нескольких тонн (микрочкометы) до нескольких сотен, а возможно, и тысяч миллиардов тонн (от  $10^0$  до  $10^{11}$  —  $10^{12}$  т). В настоящее время массы ядер комет определяются крайне неуверенно, поэтому можно говорить о вероятном диапазоне масс, в котором располагаются массы всех известных комет — от гигантских до карликовых.

Так как кометы движутся в Солнечной системе и периодически проходят вблизи планет и их спутников, то, казалось бы, по гравитационному влиянию кометы на орбиты этих тел можно оценить и массу ядра кометы. Но массы комет оказались настолько малыми даже по сравнению с массами спутников планет, что до сих пор не замечено ощутимых гравитационных кометных воздействий, выходящих за пределы ошибок измерений. Например, комета Лекселя в 1770 г. пронеслась между спутниками Юпитера, но они даже и не «почувствовали» ее соседства и продолжали двигаться по тем же орбитам, что и ранее. В том же году комета Лекселя подошла и к Земле на расстояние 2,4 млн. км. Если бы масса ядра кометы была сравнима с массой Земли, то земной год удлинился бы на 2 часа 47 минут. Однако не было обнаружено увеличения продолжительности года даже на 1 с, в то же время период кометы Лекселя уменьшился на 2,5 суток. Если бы

земной год увеличился на 1 с, то масса ядра кометы должна была бы составлять  $1/5000$  массы Земли. Пока мы можем утверждать, что масса ядра кометы Лекселя должна быть меньше массы Земли более чем в 5000 раз.

Комета Брукса-2 в 1886 г. проходила вблизи Юпитера на расстоянии около 150 тыс. км., т. е. в 1,5 раза ближе, чем комета Лекселя. Но и она ничуть не изменила периода планеты и ее спутников, тогда как у нее самой период изменился с 29 до 7 лет. Это также указывает, что ядро кометы Брукса-2 более чем в 10 000 раз легче Земли.

Массу ядра кометы можно оценить по движению вторичных ядер у делящихся комет. Например, в 1957 г. наблюдалось разделение ядра кометы Виртанена 1957 VI на два вторичных ядра, удалявшихся друг от друга со скоростью 1,6 м/с. Считая эту скорость параболической (хотя пространственная скорость удаления фрагментов может быть выше, так как мы наблюдаем проекцию скорости), можно оценить массу ядра кометы Виртанена в  $10^{11}$  т (сто миллиардов тонн).

Столь же неопределенными, как масса, параметрами кометного ядра являются его геометрические размеры. «Чистого ядра» без окружающей его атмосферной вуали до сих пор никому не удалось увидеть, а следовательно, и измерить. Большие надежды возлагались на комету Галлея, которая в своем последнем появлении 18 мая 1910 г. располагалась между Солнцем и Землей и для земного наблюдателя проектировалась на солнечный диск. Московские астрономы В. К. Цераский и П. К. Штернберг, глядя через окуляр большого рефрактора с диаметром объектива 38 см, никаких признаков ядра на солнечном диске не обнаружили. Другие наблюдатели также ничего не увидели, но инструменты, с которыми производились наблюдения, позволяли различить на Солнце детали размером  $0'',2$ ; значит, ядро кометы было меньше  $0'',2$  или 20 км, так как комета в это время находилась на расстоянии 23 млн. км от Земли. Антониади из Медонской обсерватории с помощью 83-сантиметрового рефрактора искал ядро в центре головы кометы Галлея, применяя большие увеличения; это позволило свести на нет яркий фон от головы кометы, окружающий яд-

ро, но ядро, по-прежнему, различить не удалось. А это означало, что ядро кометы Галлея должно было иметь диаметр меньше 5 км. С. В. Орлов полагает, что оно должно иметь поперечник около 2 км, и тогда становится понятным, почему его нельзя различить в большие телескопы.

Ф. Бальде пытался определить диаметры ядер комет Понса — Виннеке (1927 VII) и Швассмана — Вахмана-3 (1930 VI), сблизившихся с Землей до нескольких миллионов километров. Его оценки, полученные по фотометрическим измерениям, дают диаметры ядер этих комет порядка 0,4 км.

Задачей определения размеров ядер комет занимались известные исследователи комет Э. Рёмер, Л. Кресак, Ф. Уипл, В. П. Коноплева и Л. М. Шульман. Американская исследовательница Элизабет Рёмер, прославившаяся переоткрытиями 76 короткопериодических комет в их повторном возвращении к Солнцу, при определении размеров кометных ядер учитывала возможные значения их *альбедо*  $A$  (коэффициент отражения) и зависимость *видимой звездной величины* кометы  $m_{\infty}$  от фазового угла  $\theta$

$$m_{\infty} = m_{\odot} - 5(\lg R - \lg r - \lg \Delta) - 2,5[\lg A + \lg \varphi(\theta)],$$

где  $m_{\odot} = -26^m,72$  — абсолютная звездная величина Солнца,  $r$  — гелиоцентрическое расстояние кометы,  $\Delta$  — ее геоцентрическое расстояние,  $A$  — альбедо,  $\varphi(\theta)$  — фазовая функция. В связи с тем, что Рёмер не учитывала степень запыленности кометного ядра, она получала несколько завышенные значения радиусов ядер комет. В. П. Коноплева и Л. М. Шульман определяли радиусы ядер комет, учитывая то, что ледяная поверхность ядра со временем становится «пятнистой» вследствие образования минеральной корки, которая постепенно напластовывается на поверхности ледяных ядер и создает защитный экран-матрицу, заметно снижающий сублимацию (возгонку) льда в межпланетное пространство. Этот процесс особенно заметно проявляется у короткопериодических комет, многократно проходивших через перигелий своей орбиты, т. е. в непосредственной близости от Солнца, и сказывается он в первую очередь на кривой блеска кометы, абсолютная звездная величина которой вследствие все увеличивающейся экранировки уменьшается.



*Абсолютной звездной величиной* кометы называется ее визуальная звездная величина, которую комета имела бы, если бы находилась строго на расстоянии в одну астрономическую единицу (149,6 млн. км) от Солнца и от Земли.

Кажущееся уменьшение абсолютной звездной величины кометы и объясняется в основном увеличивающимся вуалированием ядра при повторных прохождениях кометы вблизи Солнца. Когда ледяное ядро совершенно чистое, степень экранировки его пылевой материей равняется нулю (коэффициент экранировки  $\xi = 0$ ) и абсолютная звездная величина кометы максимальна. При одном из первых прохождений кометы через перигелий лед с поверхности ядра возгоняется в некоторых местах, обнажая слои, обогащенные пылью и более крупными фрагментами метеоритного вещества. Коэффициент экранировки становится отличным от нуля и неуклонно растет от оборота к обороту:  $\xi = 0,1; 0,2; 0,3$  и т. д. Когда « $\xi$ » достигает значения 0,9, кривые векового уменьшения блеска комет приобретают резкий и характерный излом. Такую картину В. П. Коноплева и Л. М. Шульман впервые обнаружили у двух комет: Понса — Виннеке и Тутля-1, для которых киевские астрономы рассчитали радиус ядра и время «появления» этих комет в Солнечной системе. Комета Тутля-1 была открыта в 1790 г. и в том же году прошла через перигелий своей орбиты. С тех пор эта комета, период обращения которой составляет 13,9 года, наблюдалась в десяти появлениях (последний раз в 1980 г.). А десять появлений этой кометы — это десять значений ее средней абсолютной величины, т. е. десять точек на кривой ее векового блеска. По характерному излому кривой блеска кометы Тутля-1 удалось оценить диаметр ее ядра  $D = 2,7$  км и момент «появления», т. е. момент захвата ее с долгопериодической на короткопериодическую орбиту  $T_0 = 1554$  г., с возможной ошибкой  $\pm 100$  лет. Комета Понса — Виннеке наблюдалась уже в 18 появлениях с 1819 по 1976 гг. На основе кривой векового ослабления абсолютной звездной величины удалось найти, что диаметр ее ядра составляет 0,8 км и на короткопериодическую орбиту она перешла в 1814 г.

Приближенная оценка диаметра ядра кометы может быть произведена с помощью простой формулы

Л. Кресака:

$$\lg D = 2,1 - 0,2H_0 \text{ км,}$$

где  $H_0$  — абсолютная звездная величина кометы.

В приводимой здесь таблице 4 даны значения диаметров ядер короткопериодических комет, вычисленных Э. Рёмер, Ф. Уиплом, Л. Кресаком, В. П. Коноплевой и Л. М. Шульманом:

Т а б л и ц а 4. Диаметры ядер некоторых короткопериодических комет (в км)

Комета	Рёмер	Уипл	Кресак	Коноплева, Шульман
Энке	3,5	—	0,6	0,58/0,18
Шомасса	3,0	3,0	3,8	—
Борелли	—	3,4	1,6	0,58/0,18
Темпеля-2	3,3	2,8	0,67	0,73/0,13
Понса — Виннеке	3,3	—	0,3	0,64/0,04

Примечание. Значения диаметров ядер комет, вычисленные Э.Ремер, соответствуют альбедо (отражательной способности)  $A=0,6$ ; В П. Коноплева и Л.М. Шульман дают значения диаметров первоначального (в первом появлении кометы) и конечного (в последнем ее появлении).

Перейдем теперь к комам комет, окружающим в виде туманной атмосферы ледяные кометные ядра. У большинства комет кома состоит из трех основных частей, заметно отличающихся своими физическими характеристиками:

1) наиболее близкая, прилегающая к ядру область — внутренняя, молекулярная, химическая и фотохимическая кома,

2) видимая кома, или кома радикалов,

3) ультрафиолетовая, или атомная кома.

На размеры этих трех ком заметно влияет гелиоцентрическое расстояние кометы. На расстоянии в 1 а. е. от Солнца средний диаметр внутренней комы  $D_1 \approx 10^4$  км, видимой  $D_2 \approx 10^5 - 10^6$  км и ультрафиолетовой  $D_3 \approx 10^7$  км (диаметр Солнца  $\sim 1,4 \cdot 10^6$  км).

Наблюдения внутренней комы дают весьма ценную информацию, позволяющую судить о строении ледяного ядра и его физико-химических свойствах. Однако наблюдения этой «малой» комы несколько затруднительны, так как молекулярные спектры большей частью нужно наблюдать в радио- или инфракрасной

областях спектра. А так как размеры внутренней кóмы на геоцентрическом расстоянии 1 а. е. составляют всего 0,5 минут дуги, то дневные наблюдения ее с помощью радиотелескопов — довольно сложная вещь. Кроме того, следует учесть, что солнечный спектр в этих спектральных областях слаб, и возбуждение кометных молекул происходит вследствие столкновений или путем постепенной излучательной накачки.

Во внутренней кóме происходят наиболее интенсивные физико-химические процессы: химические реакции, диссоциация и ионизация нейтральных молекул. В видимой кóме, состоящей в основном из химически активных молекул — так называемых радикалов (CN, OH, NH<sub>2</sub> и др.), процесс диссоциации и возбуждения этих молекул под действием солнечной радиации продолжается, но уже менее интенсивно, чем во внутренней кóме.

Л. М. Шульман на основании динамических свойств вещества предложил делить кометную атмосферу на следующие зоны: 1) пристеночный слой, 2) околоядерную область, 3) переходную область, 4) область свободно-молекулярного разлета кометных частиц, в межпланетное пространство.

В пристеночном, наиболее тонком слое движение частиц происходит под действием двух фазовых переходов — испарения и конденсации на ледяной поверхности ядра. Толщина пристеночного слоя сильно зависит от начальной плотности частиц на поверхности ядра и может принимать значения от 0,1 см до 1 км.

Околоядерная область представляет собой область газодинамического движения вещества и хорошо описывается уравнениями газовой динамики. Для типичного кометного ядра диаметром  $\sim 2$  км и начальной плотности частиц  $n_0 = 10^{13}$  диаметр околоядерной области составляет 100 км. В переходной области движения кометного газа усложняется, и классические методы газовой динамики здесь неприменимы. В этой области уже необходим учет вязкости, теплопроводности и взаимной диффузии различных компонент, содержащихся в кометном газе. Переходная область при диаметре кометного ядра  $\sim 2$  км и плотности  $n_0 = 10^{13}$  частиц простирается от 100 до 10 000 км, а дальше вплоть до границ головы располагается область свободно-молекулярного течения газа. В этой области частицы дви-

жуются без взаимных столкновений, и движение расширяющегося кометного газа полностью описывается уравнением неразрывности.

Предложенная Л. М. Шульманом стратификация кометной атмосферы целиком характеризуется двумя параметрами: диаметром кометного ядра и плотностью частиц у его поверхности. У кометы, имеющей диаметр  $\sim 20$  км и начальную плотность частиц  $n_0 = 10^{13}$ , размеры (диаметры) околоядерной, переходной и области свободно-молекулярного течения будут превышать размеры соответствующих областей кометы с диаметром ядра 2 км и той же начальной плотностью частиц примерно в 100 раз.

Но не для всякой кометы должно быть обязательным наличие всех перечисленных выше атмосферных областей. Например, у некоторых комет свободно-молекулярная область может начинаться непосредственно у поверхности ядра, а околоядерная и переходная области будут отсутствовать. Теория каждой области нейтральной кометной атмосферы детально разработана и изложена в монографии Л. М. Шульмана (см. список литературы).

По мере приближения кометы к Солнцу диаметр видимой головы сначала ото дня ко дню растет и в среднем для всех комет голова достигает максимальных размеров в интервале гелиоцентрических расстояний от 0,9 до 1,6 а. е., а затем постепенно уменьшается с уменьшением гелиоцентрического расстояния. Например, для новой средней кометы диаметр головы растет от 60 тыс. км, когда комета находится на гелиоцентрическом расстоянии  $r = 4,5$  а. е. до 106 тыс. км, когда комета попадает в область между 1,6 и 0,9 а. е. Затем голова начинает уменьшаться и на  $r = 0,4$  а. е. уже имеет в диаметре только 80 тыс. км. После прохождения кометой перигелия ее орбиты голова снова увеличивается и достигает максимальных размеров между орбитами Земли и Марса. В целом для всей совокупности комет диаметры голов заключены в широких пределах: от 6000 км до 1 млн. км. При этом с уменьшением диаметра головы число комет возрастает и достигает максимума при значении диаметра  $D = 50\,000$  км, после чего резко уменьшается, что объясняется малым числом открытий таких небольших комет.

Головы комет при движении кометы по орбите принимают разнообразные формы. Вдали от Солнца головы комет круглые, что объясняется слабым воздействием солнечных излучений на частицы головы, и ее очертания определяются изотропным расширением кометного газа в межпланетное пространство. Это бесхвостые кометы, по внешнему виду напоминающие шаровые звездные скопления. Приближаясь к Солнцу, голова кометы принимает форму параболы или цепной линии. Параболическая форма головы объясняется «фонтанным» механизмом. Подобно струйкам фонтана, принимающим форму параболы в поле тяжести Земли, «струйки» кометного вещества, бьющие с поверхности ядра, под действием светового давления также принимают форму параболы. Образование голов в форме цепной линии связано с плазменной природой кометной атмосферы и воздействием на нее солнечного ветра и с переносимым им магнитным полем. Иногда голова кометы столь мала, что хвост кометы кажется выходящим непосредственно из ядра. Кроме изменения очертаний, в головах комет то появляются, то исчезают различные структурные образования: галосы, оболочки, лучи, излияния из ядра и т. п.

С. В. Орлов предложил следующую условную классификацию кометных голов, учитывающую их форму и внутреннюю структуру:

1. Тип E; — наблюдается у комет с яркими комами, обрамленными со стороны Солнца светящимися параболическими оболочками, фокус которых лежит в ядре кометы.

2. Тип C; — наблюдается у комет, головы которых в четыре раза слабее голов типа E и по внешнему виду напоминают луковицу.

3. Тип N; — наблюдается у комет, у которых отсутствует и кома и оболочки.

4. Тип Q; — наблюдается у комет, имеющих слабый выступ в сторону Солнца, т. е. аномальный хвост.

5. Тип h; — наблюдается у комет, в голове которых генерируются равномерно расширяющиеся кольца — галосы с центром в ядре.

Наиболее впечатляющей частью кометы является ее хвост. Хвосты у комет почти всегда направлены в противоположную от Солнца сторону. Состоят хвосты из пыли, газа и ионизованных частиц. Поэтому в за-

висимости от состава частицы хвосты отталкиваются в противоположную от Солнца сторону силами, исходящими из Солнца, но имеющими различную физическую природу: на пыль и на нейтральный газ в основном воздействуют силы лучевого давления, противодействующие силе тяготения и в случае нормальных хвостов, превосходящие их. Каков должен быть минимальный размер пылевых частиц, чтобы силы лучевого давления превосходили силы притяжения?

Рассмотрим пылинку, имеющую форму шарика с поперечным сечением  $S$  см<sup>2</sup>. Сила  $p$  лучевого давления равна мощности солнечного излучения  $W$ , деленного на скорость света  $c$ :

$$p = \frac{W}{c}.$$

Если выразить мощность излучения Солнца  $W$  в эрг/с, а  $c$  в см/с, то на расстоянии в 1 а. е. на пылинку, имеющую поперечное сечение  $S$  см<sup>2</sup>, будет действовать лучевая отталкивательная сила  $F_{\text{луч}} = 4,5 \times 10^{-5} S$  дн =  $4,5 \cdot 10^{-5} \pi r^2$  дн, где  $r$  — радиус пылинки.

С другой стороны на ту же пылинку по закону всемирного тяготения будет действовать сила солнечного притяжения, равная

$$F_{\text{тяг}} = \frac{GM_{\odot} \frac{4}{3} \pi r^3 \rho}{(1 \text{ а. е.})^2} \text{ дн},$$

где  $G$  — гравитационная постоянная,  $M_{\odot}$  — масса Солнца,  $\rho$  — плотность пылинки. Подставляя значения  $G$ ,  $M_{\odot}$  и выражая астрономическую единицу в см (1 а. е. =  $1,5 \cdot 10^{13}$  см), получим

$$F_{\text{тяг}} = 0,77 \pi r^3 \rho \text{ дн}.$$

Отношение силы лучевого давления к силе притяжения (примем  $\rho = 6$  г/см<sup>3</sup>) составит

$$\frac{F_{\text{луч}}}{F_{\text{тяг}}} = \frac{4,5 \cdot 10^{-5} \pi r^2}{0,77 \pi r^3 \cdot 6} = \frac{10^{-5}}{r}.$$

Следовательно, если пылинка будет иметь радиус, равный  $10^{-5}$  см, то она под действием двух противоположно направленных сил — силы лучевого давления и силы притяжения — будет находиться в равновесии. Поэтому для того чтобы преобладало отталкивание

пылинки от Солнца, необходимо, чтобы радиусы пылинок хвоста кометы, находящейся на 1 а. е. от Солнца, были меньше  $10^{-5}$  см. Лучевым давлением на пылинки, имеющие радиусы  $\sim 1$  мм — 1 см, можно пренебречь. Ясно, что лучевое давление несущественно для планет, их спутников, астероидов и метеорных частиц.

На молекулы и атомы, находящиеся в хвосте кометы, будут воздействовать силы лучевого давления, зависящие от коэффициента поглощения. Некоторые молекулы и атомы, наблюдаемые в кометах, могут отталкиваться давлением света с силой, в десятки раз превосходящей силу притяжения. Например, на атомы натрия, которые обнаруживаются в кометах по характерной двойной линии (дублету) в желтой области, как показывают расчеты, могут воздействовать силы лучевого давления, в 50 раз превышающие силы тяготения Солнца. Однако такие силы лучевого давления должны приводить к скоростям выброса атомов натрия, значительно превышающим тепловые скорости. Например, в голове кометы Мркоса (1957 V) наблюдалась протяженная область, светящаяся в линиях  $D_1$  и  $D_2$  натрия и простирающаяся на 2000 км от ядра. Чтобы атомы натрия распространились на такое большое расстояние под действием силы лучевого давления, скорости выброса атомов из ядра должны быть порядка 2 км/с, а это превышает тепловую скорость их движения  $\sim 0,45$  км/с, возможную на расстоянии  $\sim 0,58$  а. е. от Солнца, на котором находилась комета Мркоса.

В то же время в ионизованных прямолинейных хвостах комет наблюдаются движения сгустков кометного вещества с ускорениями, в несколько тысяч раз превышающими силы притяжения. А такие отталкивательные силы нельзя объяснить действием только лучевого давления Солнца. Причину таких больших ускорений в хвостах комет в 1951 г. объяснил немецкий астрофизик Л. Бирман, который первым рассмотрел действие солнечных корпускулярных потоков на кометные ионы и передачу им соответствующего импульса.

Фактически эта идея Бирмана о непрерывном корпускулярном истечении из Солнца, благодаря которому в ионизованных хвостах комет возникают колоссальные ускорения, явилась одной из главных предпо-

сылку для открытия «на кончике пера» американским ученым-теоретиком Е. Паркером солнечного ветра, пронизывающего межпланетное пространство и активно взаимодействующего с магнитосферами планет (полярные сияния, вариации магнитного поля) и ионизованными хвостами комет.

Лавры теоретического предсказания солнечного ветра вместе с Е. Паркером, безусловно, делит и советский астрофизик Е. А. Пономарев, за два-три года до Паркера создавший первую теорию динамической короны. В данном случае ситуация «Паркер — Пономарев» напоминает всем хорошо известную ситуацию «Леверье — Адамс».

Происхождением и формой кометных хвостов ученые заинтересовались давно. Например, И. Ньютон, наблюдая за яркой кометой 1680 г., пришел к выводу, что хвост должен развиваться следующим образом: «Приближаясь к Солнцу, вещество головы кометы постепенно нагревается и начинает испаряться в эфирную среду, заполняющую межпланетное пространство, которая таким образом и сама нагревается. От нагревания межпланетный эфир становится разреженным и движется по направлению от Солнца, увлекая за собой кометные испарения, подобно тому как горячий воздух, поднимаясь из печных труб, увлекает за собой частицы топлива и пара. С механической точки зрения кометные испарения отталкиваются от Солнца и движутся, сохраняя орбитальную скорость кометы». Исходя из такой мысли, И. Ньютон рассчитал, что хвост кометы 1680 г., который он наблюдал 25 января, мог сформироваться за 45 суток.

Не оставил без внимания кометы и М. В. Ломоносов. Наблюдая большую комету 1744 г., М. В. Ломоносов писал: «На теневой стороне ядра холод, на солнечной жар. Около тени сильное движение атмосферы и трение...», а это является той причиной, по которой «возбуждается и рождается великая электрическая сила... Хвосты комет здесь почитаются за одно с северным сиянием».

Ф. Бессель, исследуя форму хвоста кометы Галлея в ее появлении в 1835 г., впервые объяснил ее действием отталкивательных сил, исходящих из Солнца и изменяющихся обратно пропорционально квадрату гелиоцентрического расстояния. Им же была введена



величина отталкивательного ускорения  $1-\mu$ , численное значение которой показывало, во сколько раз сила отталкивания превышает силу тяготения.

Но наиболее разработанную механическую теорию кометных хвостов построил Ф. А. Бредихин. Он вычислил для нескольких десятков хвостов различных комет величины  $1-\mu$  и обнаружил, что их можно разбить на три обособленные группы. Эти значения  $1-\mu$  и стали основой для известной бредихинской классификации кометных хвостов на три основных типа:

I тип. Значения  $1-\mu$  достигают нескольких десятков, а иногда и нескольких тысяч. Ф. А. Бредихин полагал, что величины  $1-\mu$  должны быть кратны числу 22,3. По внешнему виду — это прямолинейные хвосты, стелющиеся по продолженному радиусу-вектору; очертания их неправильные, часто винтовой формы; кроме того, хвосты I типа могут состоять из набора отдельных струек или лучей; вдоль таких хвостов с огромными ускорениями проносятся сгустки ионизованной кометной материи — облачные образования. В спектрах хвостов I типа наблюдаются ионы  $\text{CO}^+$ ,  $\text{N}_2^+$ ,  $\text{H}_2\text{O}^+$  и др.

II тип. Значения  $1-\mu$  заключены между 0,6 и 2,5. Сюда относятся хвосты, по внешнему виду напоминающие сильно изогнутый конус или воловий рог. В конце таких хвостов часто наблюдаются полосы дублетного строения, направленные к ядру кометы. Эти полосы получили название *синхрон*, так как предполагалось, что они образуются при одновременном (синхронном) выбросе облака вещества из ядра кометы, частицы которого движутся под действием различных отталкивательных сил. Если набор ускорений, с которым движутся частицы этого облака, начинается от нуля, то и синхрона начинается непосредственно от ядра. Серия последовательных выбросов приводит к образованию нескольких синхрон в хвосте кометы. Синхроны, не выходящие из ядра, называются концевыми синхронами. Свечение хвостов II типа характеризуется непрерывным спектром.

III тип. Величины  $1-\mu$  принимают различные значения, лежащие между 0 и 2,5. По внешнему виду — это короткие прямые хвосты, представляющие собой одну полную синхрону, начинающуюся непосредственно от ядра; при этом угол отклонения оси хвоста

от продолженного радиуса-вектора, т. е. линии, соединяющей Солнце с ядром кометы, непрерывно увеличивается. На рис. 7 представлены хвосты трех типов согласно бредихинской классификации.

Принцип механической теории, положенный в основу деления хвостов на типы и основанный на различии в силе лучевого давления, действующего на хвосты, оказался совершенно неприменимым к ионизованным хвостам, или хвостам I типа по Бредихину. В дальнейшем над усовершенствованием бредихинской классификации хвостов работали С. В. Орлов, К. Вурм и другие. Но обойти все трудности механической теории, в основе которой лежала результирующая сила двух взаимно противоположных сил: лучевого давления и тяготения, им так и не удалось С. В. Орлов, например, делил кометные хвосты только на два типа: I и II, причем тип I подразделялся на два подтипа:

I<sub>0</sub> — чисто лучистые хвосты, у которых прямолинейные лучи располагались симметрично относительно оси хвоста и ускорения вещества в них были максимальными; значение  $1-\mu$  было порядка нескольких тысяч.

I — прямые, иррегулярные хвосты, располагающиеся близко к продолженному радиусу-вектору, от которого они отклоняются в основном в сторону, противоположную движению кометы по ее орбите. В таких хвостах часто возникают облачные образования, струи, винтовые формы, изломы и другие пекулярные детали, проносящиеся вдоль хвостов с громадными ускорениями.

Хвосты бредихинских типов II и III объединялись, по С. В. Орлову, в один тип II с делением на два подтипа: II<sub>0</sub> — хвосты сильно изогнутые в сторону, противоположную движению кометы, напоминающие фантастический рог изобилия. Для таких хвостов характерны поперечные полоски — концевые синхроны (типичным примером является комета Мркоса (1957 V) (рис. 8) II — бывший бредихинский тип III. Это короткие прямые хвосты, почти стелющиеся по орбите кометы.

К особому типу относились аномальные хвосты, направленные прямо к Солнцу. Они состоят из крупных пылевых частиц размером 0,1—1 мм, на которые действие светового давления намного меньше силы притяжения к Солнцу. Поэтому такие хвосты всегда на-

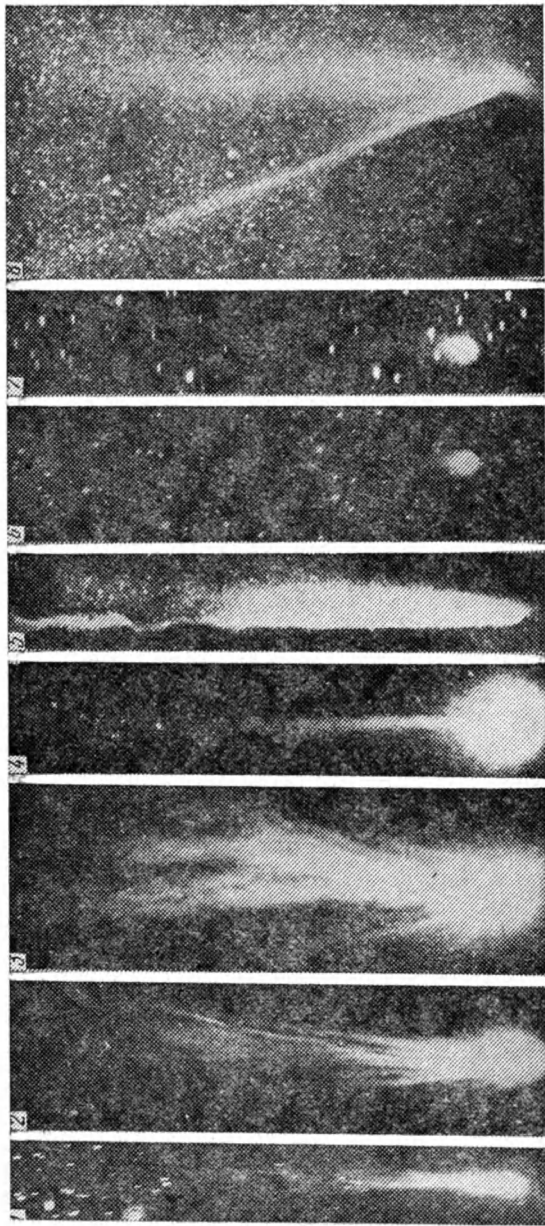


Рис. 7. Типы хвостов I тип у комет Даниеля (1907 IV) — 1, Морхауза (1908 III) (CO+) — 2, Хьюмаса (1962 VIII) (CO+) — 3, Секи (1961 VIII) (плазменные хвосты) — 4; I тип+II тип+аномальный хвост (смешанный тип) у кометы «века» Когоутека (1973 XII) (плазма, газ и пыль, крупные частицы) — 5; II тип у комет Бааде (1955 VI) — 6 и Вирганена (1957 VI) — 7 (газ и пыль, ледяные крупинки); I тип+II тип+III тип+аномальный хвост (смешанный тип) у кометы Секи — Лайнса (1962 III) (плазма, газ, «разнокалиберная» пыль, крупные частицы) — 8.

правлены к Солнцу. Аномальные хвосты наблюдались у 21 кометы. Наиболее выразительным аномальным хвостом обладала комета Когоутека (1973 XII). На нее первыми обратили внимание американские космонавты, работавшие на «Скайлэбе-3». 29 декабря 1973 г.,



Рис. 8. Знаменитый снимок кометы Мркоса (1957 V), полученный Мак-Клюром 8 августа 1957 г. (плазменный, прямолинейный и газово-пылевой, широкий хвост с синхронами).

когда комета прошла перигелий своей орбиты, космонавты заметили острый выступ в голове кометы длиной  $0^{\circ},2-0^{\circ},4$ , направленный прямо на Солнце. К концу того же дня, когда космонавты работали в открытом космосе, они обнаружили, что этот выступ удлинился уже до  $2^{\circ}$ . Серию рисунков общего вида кометы и ее аномального хвоста сделал в этот период космонавт Э. Гибсон (рис. 9). С 29 декабря 1973 г. по 4 января 1974 г. этот аномальный хвост фотографировался сотрудниками Миннесотского университета (США) в инфракрасных лучах, а затем он стал доступен как для визуальных, так и фотографических наблюдений в видимой области спектра.

Н. И. Ильчишина и автор этой книги в период с 14 по 19 января 1974 г. фотографировали комету Когоутека на Южной станции ГАИШ с помощью

40-сантиметрового рефрактора; на полученных снимках аномальный хвост хотя и слаб, но заметен. Многие любители астрономии имели возможность наблюдать аномальный хвост у кометы Когоутека вплоть до марта 1974 г. Собрав многочисленные наблюдения, фото-

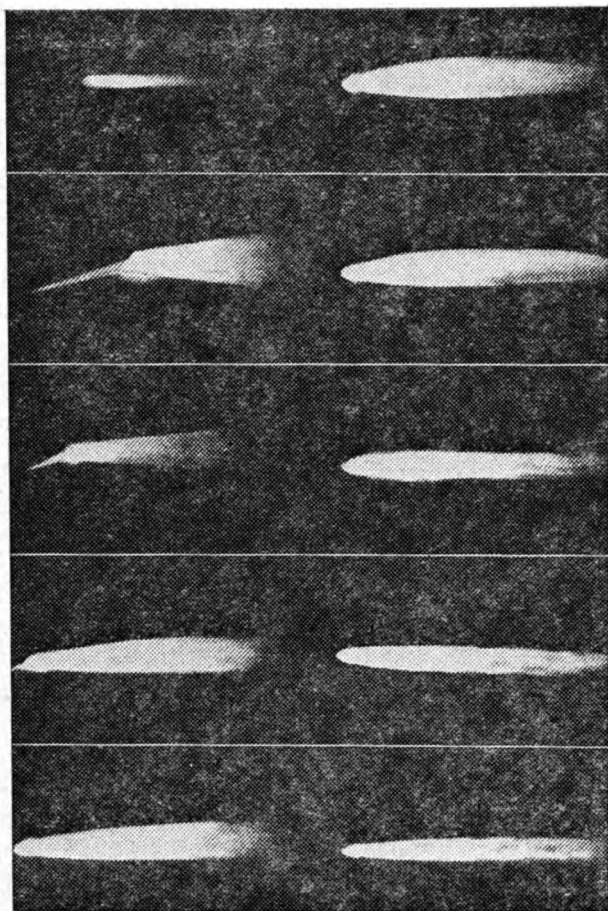


Рис. 9. Аномальный хвост кометы Когоутека (1973 XII) и его изменения по рисункам космонавта Э. Гибсона в декабре 1973 г.— январе 1974 г. с борта «Скайлэба-3». Сверху вниз: слева — 18, 29, 30, 31 октября 1973 г. и 1 января 1974 г., справа — 2, 3, 4, 5 и 6 января 1974 г.

графии и рисунки аномального хвоста, З. Секанина рассчитал, что выброс крупных частиц из ядра кометы Когоутека начался примерно за 200 дней до перигелия, когда комета находилась еще на расстоянии 4 а. е. от Солнца. При этом были выброшены частицы размерами 2—3 мм и плотностью  $\sim 1$  г/см<sup>3</sup>.

Среди аномальных хвостов комет встречаются псевдоаномальные хвосты, направленные к Солнцу и имеющие значительную протяженность. Такие хвосты наблюдались, например, у комет 1882 II и Аренда — Ролана (1957 III). Однако их направленность к Солнцу объяснялась условиями проектирования, а не реальным движением крупных частиц к Солнцу. Особенно этот эффект становится заметным, когда Земля проходит через плоскость орбиты кометы, и земной наблюдатель видит кометное вещество, рассредоточенное вдоль ее орбиты. Орбита как бы материализуется и часть орбиты, направленная к Солнцу, представляется ему в виде прямого хвоста. Если бы это был настоящий аномальный хвост, состоящий из крупных частиц, то по законам Кеплера эти частицы двигались бы с различными орбитальными скоростями, вследствие чего хвост казался бы искривленным, а не прямолинейным, как у кометы Аренда — Ролана (рис. 10).

Так как механическая теория Бредихина имеет ограниченное применение и не в состоянии объяснить многие особенности голов и хвостов комет (например, форму головы — цепная линия, большие ускорения в хвостах, ориентацию хвостов I типа и т. д.), классификацию кометных форм следует производить на другой основе. Например, хвосты можно классифицировать в зависимости от агрегатного состояния вещества, как это было предложено М. Белтоном: 1) чистый I тип — плазменные хвосты и 2) чистый II тип — пылевые хвосты. Конечно, термин «чистый» здесь употреблен в относительном смысле, так как хвосты I типа могут накладываться на хвосты II типа, вклад которых в оптику и динамику общего хвоста несуществен. Однако может встречаться и промежуточный тип хвостов, когда развиваются оба типа хвостов с равноправным вкладом в оптику и динамику. Такие хвосты М. Белтон предлагает называть хвостами смешанного типа. Так как хвосты комет эволюционируют вследствие меняющихся физических условий в межпланет-

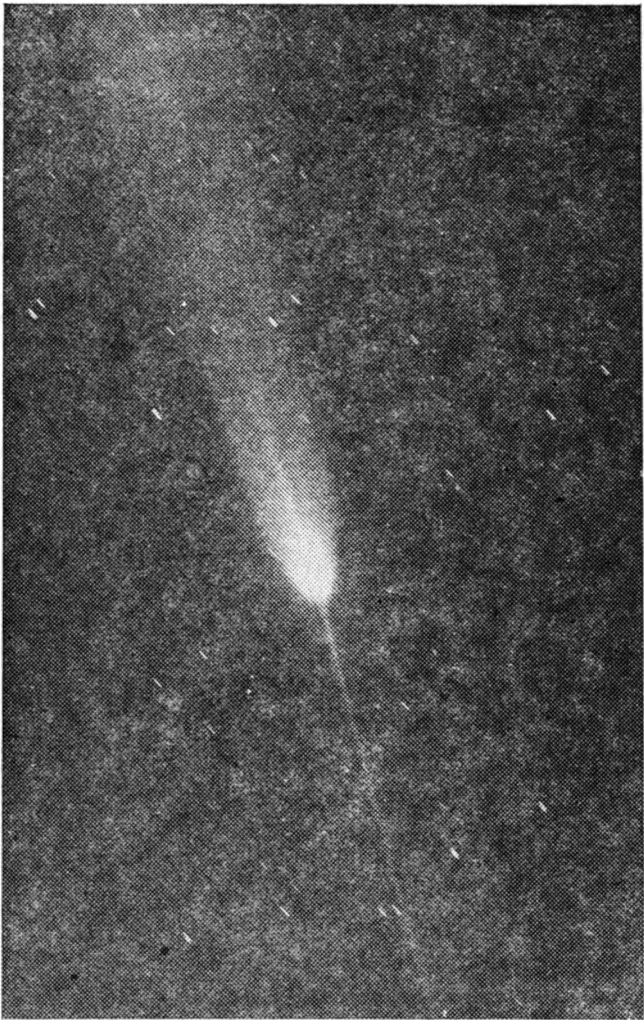


Рис. 10. Комета Аренда — Ролана (1957 III) с псевдоаномальным хвостом («пикой») 25 апреля 1957 г. Снимок Х. К. Раудсара.

ном пространстве, некоторые кометы могут последовательно обладать всеми указанными типами хвостов. Огромное разнообразие кометных хвостов еще требует более детального обобщения всех их особенностей: динамических, кинематических, химических, агрегатных, структурных и других, и создания на этой основе более строгой научной классификации, чем рассмотренные выше.

## СПЕКТРЫ И ХИМИЯ КОМЕТ

При решении вопроса о происхождении комет нельзя обойтись без знания химического состава вещества, из которого сложено кометное ядро. Казалось бы, что может быть проще? Нужно сфотографировать побольше спектров комет, расшифровать их — и химический состав кометных ядер нам сразу же станет известным. Однако дело обстоит не так просто, как кажется на первый взгляд. Спектр фотометрического ядра может быть просто отраженным солнечным или эмиссионным молекулярным спектром. Отраженный солнечный спектр является непрерывным и ничего не сообщает о химическом составе той области, от которой он отразился, — ядра или пылевой атмосферы, окружающей ядро. Иногда на фоне непрерывного спектра (континуума) от кометы можно обнаружить ряд солнечных фраунгоферовых линий поглощения и в первую очередь линии H и K ионизованного атома кальция ( $\text{Ca}^+$ ). Эмиссионный газовый спектр несет информацию о химическом составе газовой атмосферы, окружающей ядро, и тоже ничего не говорит нам о химическом составе поверхностного слоя ядра, так как излучающие в видимой области молекулы, такие как  $\text{C}_2$ , CN, CH, NH, OH и др., являются вторичными, дочерними молекулами — «обломками» более сложных молекул или молекулярных комплексов, из которых складывается кометное ядро. Эти сложные родительские молекулы, испаряясь в околоядерное пространство, быстро подвергаются разрушительному действию солнечного ветра и фотонов и распадаются или диссоциируют на более простые молекулы, эмиссионные спектры которых нам и удастся наблюдать от комет. Сами родительские молекулы дают непрерывный спектр.



Первым наблюдал и описал спектр головы кометы италянец Донати. На фоне слабого непрерывного спектра кометы 1864 II он увидел три широкие свечящиеся полосы: голубого, зеленого и желтого цвета. Как оказалось, это свечение принадлежало молекулам углерода  $C_2$ , в избытке оказавшегося в кометной атмосфере. Эти эмиссионные полосы молекул  $C_2$  получили название полос Свана, по имени ученого, занимавшегося исследованием спектра углерода. Первая целевая спектрограмма головы Большой Кометы 1881 III была получена англичанином Хеггинсом, который обнаружил в спектре излучение химически активного радикала циана  $CN$  вблизи длин волн  $\lambda$  3883 и 4216 Å, излучение углерода  $C_2$  вблизи  $\lambda$  4737 Å и молекулярную полосу вблизи  $\lambda$  4050 Å оказавшуюся впоследствии «отпечатком пальца» молекулы трехатомного углерода  $C_3$ .

В результате последующих спектральных наблюдений голов и хвостов комет в них были обнаружены следующие атомы, молекулы и пылевые частицы:

1. Органические  $C$ ,  $C_2$ ,  $C_3CH$ ,  $CN$ ,  $CO$ ,  $CS$ ,  $HCN$ ,  $CH_3CN$ .
2. Неорганические  $H$ ,  $NH$ ,  $NH_2$ ,  $O$ ,  $OH$ ,  $H_2O$ .
3. Металлы —  $Na$ ,  $Ca$ ,  $Cr$ ,  $Co$ ,  $Mn$ ,  $Fe$ ,  $Ni$ ,  $Cu$ ,  $V$ ,  $Si$ .
4. Ионы —  $CO^+$ ,  $CO_2^+$ ,  $CH^+$ ,  $CN^+$ ,  $N_2^+$ ,  $OH^+$ ,  $H_2O^+$ .
5. Пыль — силикаты (в инфракрасной области).

Вдали от Солнца, на расстоянии  $\sim 11$  а. е., приближающаяся комета выглядит небольшим туманным пятнышком порой с признаками начинающегося образования хвоста. Спектр, полученный от кометы, находящейся на таком расстоянии, и вплоть до расстояния 3—4 а. е., является непрерывным, так как на таких больших расстояниях эмиссионный спектр не возбуждается из-за слабости фотонного и корпускулярного солнечного излучения.

Этот спектр образуется в результате отражения солнечного света от пылевых частиц или в результате его рассеяния на многоатомных молекулах или молекулярных комплексах. На расстоянии около 3 а. е. от Солнца, т. е. когда кометное ядро пересекает пояс астероидов, в спектре появляется первая эмиссионная полоса молекулы циана ( $\lambda$  3883 Å), которая наблюдается почти во всей голове кометы. На расстоянии

$\sim 2$  а. е. возбуждаются уже излучения трехатомных молекул  $C_3$  и  $NH_2$ , которые наблюдаются в более ограниченной области головы кометы вблизи ядра, чем все усиливающиеся излучения  $CN$ . На расстоянии  $\sim 1,8$  а. е. появляются излучения углерода — полосы Свана, которые сразу становятся заметными во всей голове кометы: и вблизи ядра и у границ видимой головы. Когда комета пересекает орбиту Марса ( $r \sim 1,5$  а. е.), в ее голове появляются эмиссии радикалов  $OH$ ,  $NH$ ,  $CH$  и др., а в хвосте — полосы ионов  $CO^+$ ,  $N_2^+$ ,  $CO_2^+$ ,  $CH^+$ ,  $OH^+$ ,  $H_2O^+$  и др. С уменьшением гелиоцентрического расстояния интенсивности молекулярных полос возрастают. После пересечения кометой орбиты Венеры, т. е. начиная с расстояния  $r < 0,7$  а. е., начинает светиться натрий, который легко обнаруживается по желтому дублету  $D_1$  и  $D_2$  ( $\lambda\lambda 5896—5890 \text{ \AA}$ ). Еще ближе к Солнцу, когда комета пронесется через солнечную корону, вблизи ядра кометы наблюдаются линии различных металлов железа  $Fe$ , никеля  $Ni$ , меди  $Cu$ , кобальта  $Co$ , хрома  $Cr$ , марганца  $Mn$ , ванадия  $V$ , характерные для спектров метеоров, что указывает на связь между ядрами комет, метеорным и метеоритным веществом, а следовательно, на общность происхождения этой группы малых тел Солнечной системы.

Механизм свечения кометных молекул был расшифрован еще в 1911 г. К. Шварцшильдом и Е. Кроном, которые, изучая эмиссионные спектры кометы Галлея (1910 II), пришли к заключению, что молекулы кометных атмосфер резонансно переизлучают солнечный свет. Это свечение аналогично резонансному свечению паров натрия в известных опытах Вуда, который первым заметил, что при освещении светом, имеющем частоту желтого дублета натрия, пары натрия сами начинают светиться на той же частоте характерным желтым светом. Это — механизм резонансной флуоресценции, являющийся частным случаем более общего механизма люминесценции. Всем известно свечение люминесцентных ламп над витринами магазинов, в лампах дневного света и т. п. Аналогичный механизм заставляет светиться и газы в кометах. Окончательно флуоресцентная природа свечения кометных газов была обоснована спектрофотометрически

бельгийским астрофизиком Свингсом в 1941 г. на мере яркой фиолетовой полосы вблизи  $\lambda$  3883 Å.

Несколько сложнее объяснить возбуждение в кометных спектрах атомных линий, таких как запрещенные линии кислорода [O I] с  $\lambda\lambda$  5577, 6300—6364 Å, дублета натрия, атомарного водорода H ( $\lambda$  6563 Å), углерода C ( $\lambda$  1657 Å). Для объяснения свечения зеленой и красной кислородных линий (аналогичные линии наблюдаются и в спектрах полярных сияний) привлекались различные механизмы: электронный удар, диссоциативная рекомбинация и фотодиссоциация. Электронный удар, однако, не в состоянии объяснить более высокую интенсивность зеленой линии в некоторых кометах по сравнению с красной. Поэтому больше предпочтения отдается механизму фотодиссоциации, в пользу которого говорит распределение яркости в голове кометы. Тем не менее этот вопрос еще окончательно не решен и поиски истинного механизма свечения атомов в кометах продолжаются.

Возможность мазерного механизма радиоизлучения кометного гидроксила на частоте  $\nu = 1665$  МГц рассматривал ленинградский физик Д. А. Варшавич. Его расчеты показали, что гидроксильная составляющая кометной атмосферы при достаточно большой оптической толщине для резонансного радиоизлучения на  $\nu = 1665$  МГц может работать как квантовый генератор типа мазера. Известно, что в 1965 г. американский ученый Уивер с сотрудниками обнаружили в облаках межзвездного газа необычайно узкие и интенсивные эмиссионные линии радиоизлучения на частоте 1665 МГц (а также на частотах 1667, 1612, 1720 МГц), которые были полностью поляризованы. Необычайные свойства обнаруженного радиоизлучения привели Уивера к гипотезе об обнаружении в космосе неизвестного еще элемента, которого окрестили «Мистериумом». Однако вскоре было доказано, что «Мистериум» — это мазерное, т. е. когерентно стимулированное радиоизлучение межзвездного гидроксила. Возможно, межзвездный гидроксил имеет кометную природу и, следовательно, может служить прямым указанием на широкую распространенность комет во Вселенной. Кто его знает? Возможно, эта точка зрения, высказанная Д. А. Варша-

ловичем, прольет свет на проблему происхождения комет. Но не будем забегать вперед, так как вопрос о происхождении комет мы рассмотрим несколько позднее.

До сих пор остается нерешенным вопрос о родительских, первичных молекулах, из которых состоит кометное ядро, а этот вопрос очень важен, так как именно химизм ядер и предопределяет необычайно высокую активность комет, способных из весьма малых по размерам ядер развивать гигантские атмосферы и хвосты, превосходящие по своим размерам все известные тела в Солнечной системе. Хвосты некоторых комет растягивались порой на сотни млн. км, например, хвост кометы Галлея достигал длины  $\sim 1,5$  а. е.

Какова же первоматерия кометных ядер, способных окутываться столь грандиозными атмосферами?

Вопрос о родительских молекулах в кометных ядрах был впервые поставлен Вурмом еще в 30-х годах нашего века и дискутируется в настоящее время. Ведь все кометные радикалы, эмиссии которых обнаруживаются в кометных спектрах, являются химически активными молекулами и поэтому могут сохранять свою стабильность в газовом агрегатном состоянии при достаточно низких плотностях или в твердой фазе при низких температурах и в присутствии инертного наполнителя, тормозящего химические реакции между радикалами и другими молекулами. Радикалы, а также тугоплавкое вещество, типа углерода, не могут непосредственно испаряться с поверхности ядра. На расстоянии  $\sim 1$  а. е. от Солнца температура близка к комнатной, а мы знаем из повседневной жизни, что углерод при такой температуре не испаряется. Следовательно, и радикалы, и углерод и другие молекулы, наблюдающиеся в атмосферах комет, входят в состав более сложных родительских молекул, распад которых после испарения из ядра в поле солнечной радиации приводит к образованию всех наблюдаемой в кометных атмосферах совокупности радикалов и других молекул, а также ионов.

В качестве родительских молекул Ф. Уипл предложил такие химически стабильные соединения, как метан  $\text{CH}_4$ , аммиак  $\text{NH}_3$ , дициан  $\text{C}_2\text{N}_2$ , воду  $\text{H}_2\text{O}$  и углекислый газ  $\text{CO}_2$ . В. И. Чередниченко и другие авторы расширили этот список, предположив, что в качестве родительских молекул в кометном ядре могли бы

присутствовать еще ацетилен  $C_2H_2$ , окись азота  $NO$ , закись азота  $N_2O$ , синильная кислота  $HCN$ ,  $HCO$ ,  $HCOO$ ,  $CH_3O$ ,  $C_2H_5O$ ,  $CH_3CN$ ,  $NSO$  и др. Свингс и Дельземм предположили, что в кометных ядрах также могут существовать гидраты типа  $CH_4 \cdot 6H_2O$ ;  $CO_2 \cdot 6H_2O$  и др. При выборе кандидатов в родительские кометные молекулы различные авторы стремились, чтобы эти молекулы были наиболее простыми. Однако ряд выбранных таким образом простых родительских молекул оказался слишком устойчивым в поле солнечной радиации, например, молекулы  $H_2O$ ,  $CH_3CN$ ,  $CH_4$ ,  $C_2H_2$  и др.

Л. М. Шульман предложил несколько иной критерий отбора для родительских молекул, заключающийся в отыскании таких соединений, у которых наблюдаемый в кометной атмосфере радикал имел бы слабую химическую связь с остальной частью родительской молекулы и легко бы отрывался от нее. Это позволило Л. М. Шульману значительно расширить список возможных родительских молекул, из которых слагается кометное ядро. Структурные формулы этих молекул наглядно показывают, по каким связям они разрываются путем фотодиссоциации в поле солнечной радиации, чтобы из них образовались наблюдаемые в кометах радикалы. Например, рассмотрим структурную формулу одной из предложенных Шульманом сложных молекул — молекулу дицианацетилена:  $NC - C \equiv C - CN$ . Ясно, что легче и быстрее разорвутся одиночные связи, на которых держатся радикалы циана  $CN$ , а не тройная связь между атомами углерода. В результате фотодиссоциации такой молекулы в кометной атмосфере образуются два радикала  $CN$  и молекула углерода  $C_2$ . Ряд молекул из списка Шульмана, такие, как азобензол  $C_6H_5-N_2-C_6H_5$ , триазоуксусная кислота  $N_2=N-CH_2-COOH$  и др. являются взрывчатыми веществами, и, возможно, их взаимодействие с солнечной радиацией приводит к неожиданным взрывам на поверхности ядра и выбросу в кометную атмосферу дополнительной порции пылинок и крупинок льда, что воспринимается земным наблюдателем как усиление видимой яркости головы кометы, как вспышка блеска кометы.

Моделируя в лаборатории ледяные ядра различного химического состава, ленинградский физик Е. А. Кай-

маков пришел к выводу, что такие простые молекулы, как  $\text{H}_2\text{O}$ ,  $\text{NH}_3$ ,  $\text{CH}_4$  и др. имеют времена жизни до их фотодиссоциации на порядок бóльшие, чем время изменения интенсивностей спектральных эмиссий дочерних по отношению к ним радикалов  $\text{OH}$ ,  $\text{NH}_2$  и  $\text{CH}$ , и поэтому они не могут являться родительскими молекулами. В то же время, исходя из результатов лабораторных экспериментов, в которых с помощью различных источников энергии облучались простейшие смеси, по предположению, близкие к составу первичной солнечной туманности, Е. А. Каймаков полагает, что в кометных ядрах и в естественных условиях под действием солнечных и других видов излучений происходило образование сложных молекул: нитрилов и альдегидов, карбоновых и аминокислот, которые и могут являться кометными родительскими молекулами.

Окончательно проблема родительских молекул, из которых состоят кометные ядра, возможно, будет разрешена только путем посылки космического аппарата к ядру кометы, сближения и возможной посадки аппарата на ядро, на котором будет произведен химический анализ кометного грунта или же кометное вещество, набранное в специальную капсулу, будет впоследствии доставлено на Землю, где и будет произведен его окончательный анализ.

К настоящему времени на различных обсерваториях мира уже накопилось несколько сотен спектров нескольких десятков комет. Обзор большого числа объективных и щелевых спектрограмм комет был выполнен Свингсом и Хазером, издавшими в 1956 г. «Атлас типичных кометных спектров». На рис. 11 представлены щелевые спектрограммы, полученные для кометы Таго — Сато — Косака (1969 IX). На спектрограмме, полученной автором в марте 1970 г. на Абастуманской астрофизической обсерватории с помощью 70-сантиметрового менискового телескопа с объективной призмой (рис. 12), хорошо различаются типичные кометные излучения молекул  $\text{CN}$ ,  $\text{C}_3$  и  $\text{C}_2$ . На рис. 13 представлены фотографии серии щелевых спектрограмм кометы Канингэма 1941 I, полученных на различных гелиоцентрических расстояниях в интервале 2,24—0,48 а. е. Хорошо заметно появление и усиление интенсивности отдельных кометных эмиссий по мере приближения кометы к Солнцу.

В настоящее время предпринимаются попытки осуществить систематизацию кометных спектров. Недавно чехословацкий астроном И. Боушка предложил следующую спектральную классификацию комет. Для

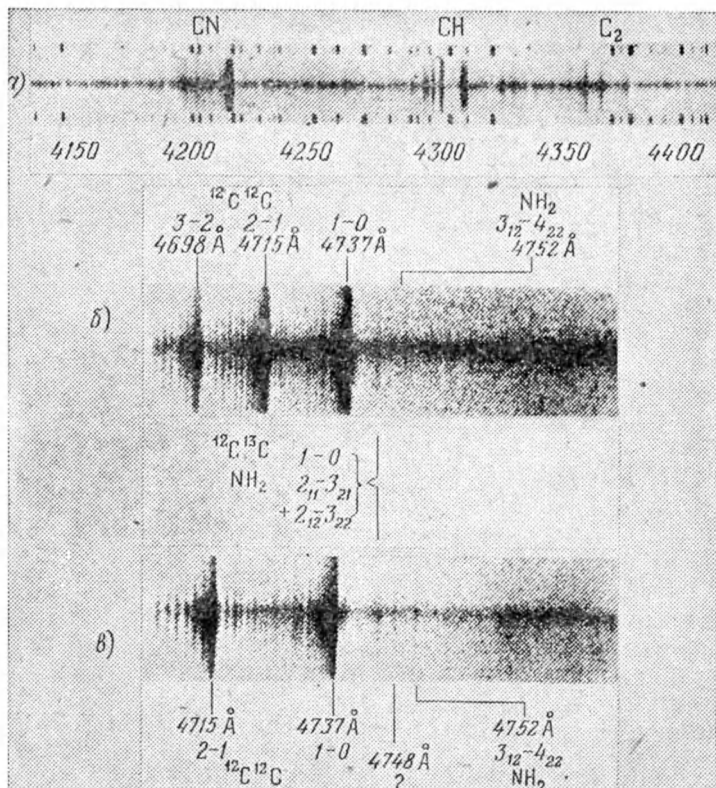


Рис. 11. Щелевые спектрограммы кометы Таго — Сато — Косака (1969 IX): а) непрерывный спектр слаб, эмиссионные полосы CN, CH и C<sub>2</sub> интенсивны; б) и в) спектры второго и третьего порядков вблизи полосы 1—0 <sup>12</sup>C<sup>13</sup>C, по которым было определено изотопное соотношение в комете <sup>12</sup>C/<sup>13</sup>C, равное 100±20 (для Солнца оно равно ~90).

обозначения непрерывного спектра (континуума) вводится индекс «С». Спектр излучения кометных молекул обозначается индексом «Е». Для характеристики интенсивности спектра вводятся цифры: 1 — слабый,

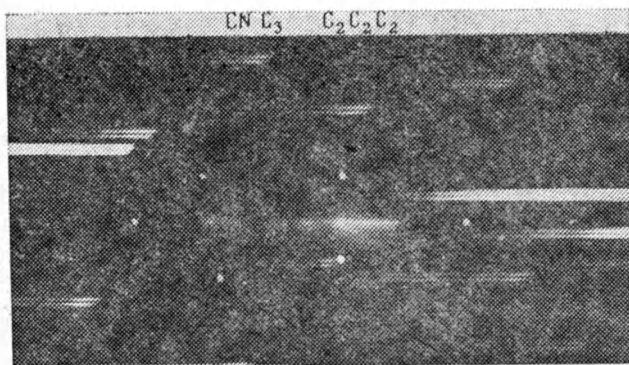


Рис. 12. Спектрограмма кометы Таго — Сато — Косака (1969 IX), полученная К. И. Чурюмовым с помощью 70-сантиметрового менискового телескопа с объективной призмой 24 февраля 1970 г в Абастуманской астрофизической обсерватории АН Груз.ССР.

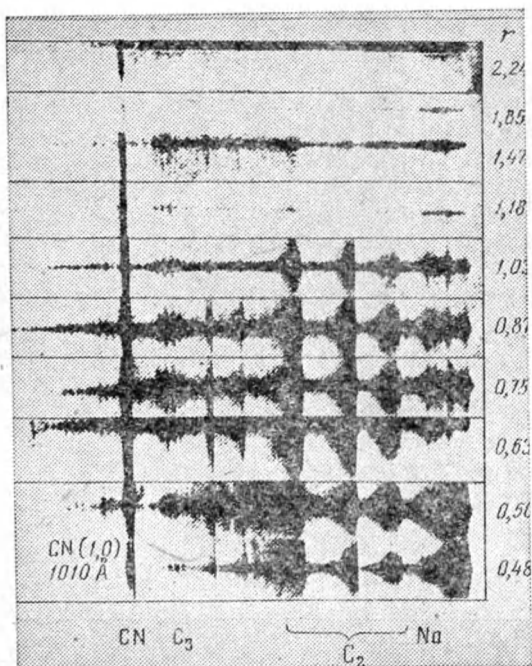


Рис. 13. Изменение вида спектра кометы Каннингема (1941 I) с приближением кометы к Солнцу.



2 — нормальный и 3 — сильный. Отсутствие непрерывного спектра или спектра излучения указывается цифрой «0». Если более интенсивны полосы Свана, добавляется буква «s», если полосы циана — буква «c». Наличие натрия обозначается буквой «n». Буква «M» указывает на наличие линий металлов в спектрах комет. Кроме того, к краткому описанию кометного спектра в скобках добавляется цифра, с точностью до 0,1 а. е. указывающая на значение гелиоцентрического расстояния. Для «царапающих» Солнце комет (расстояние значительно меньше 0,1 а. е) его обозначают индексом «0, 0».

Например, сокращенная запись спектра кометы Когоутека (1970 III) имеет вид: CZE1c(1,7). Это означает, что у кометы наблюдался очень сильный непрерывный спектр, слабые молекулярные полосы, среди которых наиболее интенсивным был циан (c); гелиоцентрическое расстояние  $\sim 1,7$  а. е.

## КОМЕТЫ — КОСМИЧЕСКИЕ ЗОНДЫ

Кометные ядра во внутренних частях Солнечной системы активно взаимодействуют с разреженной субстанцией межпланетного пространства, в основном заполненного пылевыми частицами метеоритного происхождения и различными солнечными излучениями, среди которых доминирующую роль играют фотоны и солнечный ветер. Солнечный ветер является причиной гигантских ускорений в хвостах и ионизации кометного газа. Эта солнечная плазма, текущая из солнечной короны в межпланетные просторы, состоит в основном из электронов и протонов с 5-процентной примесью ионизованного гелия. Солнечный ветер, постепенно ускоряясь, достигает вблизи орбиты Земли скорости 300—400 км/с, имея среднюю плотность около 1 частицы в кубическом сантиметре. Активные процессы, происходящие в атмосфере Солнца (хромосферные вспышки, взрывающиеся протуберанцы — транзиенты и др.), могут в отдельные моменты существенно изменить физические параметры солнечного ветра, его плотность и скорость, что незамедлительно сказывается на «климате» межпланетного пространства, на его космической погоде. Плазма солнечного ветра, достигнув Земли, сжимает ее магнитное поле со стороны, об-

ращенной к Солнцу, и растягивает силовые линии геомагнитного поля с противоположной стороны, образуя своеобразную конфигурацию земного магнитного поля, называемого магнитосферой. Иногда солнечный ветер переходит в ураган и магнитные силовые линии магнитосферы Земли начинают пульсировать, сближаясь

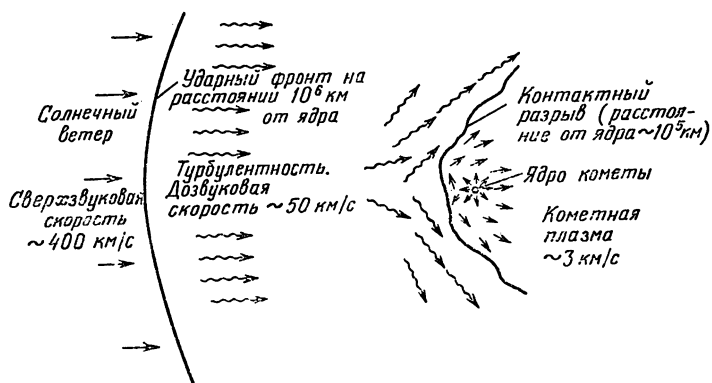


Рис. 14. Взаимодействие солнечного ветра с кометой.

в одних местах и удаляясь друг от друга в других, что регистрируется приборами на специальных обсерваториях как магнитные бури.

Плазма солнечного ветра непрерывно взаимодействует с кометами, производя ионизацию кометного газа и образуя перед ионизованной кометной атмосферой ударную волну наподобие ударной волны перед земной магнитосферой. На рис. 14 приведена схема взаимодействия солнечного ветра с головой кометы в соответствии с моделью, разработанной Бирманом, Брозовским и Шмидтом. Нейтральные молекулы, испаряющиеся из ядра, движутся радиально с постоянной скоростью до тех пор пока они не потеряют электрон и не ионизируются. После ионизации образовавшаяся кометная плазма ускоряется и вскоре приобретает скорость солнечного ветра. Поэтому образующиеся из кометной плазмы хвосты I бредихинского типа будут представлять собой своеобразный движущийся флюгер, отклоняющийся от продолженного радиуса-вектора на некоторый угол, зависящий от скорости орбитального движения кометы, а главным образом от скорости сол-

нечного ветра. Чем сильнее дует солнечный ветер, тем ближе ось кометного хвоста лежит к направлению Солнце — комета. На рис. 15 изображен хвост I типа и показаны углы  $\varepsilon$  и  $\gamma$ , служащие для определения скорости солнечного ветра по углу отклонения хвоста кометы от продолженного радиуса-вектора.

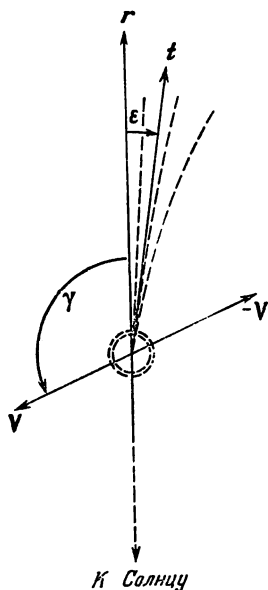


Рис. 15. Отклонение плазменного хвоста кометы от линии «Солнце — комета» (радиус-вектор кометы), как результат воздействия на хвост солнечного ветра.

Скорость солнечного ветра можно получить по данным измерения пластинки с кометой, обладающей прямолинейным плазменным хвостом, по следующей формуле:

$$\operatorname{tg} \varepsilon = \frac{V \sin \gamma - \omega_r \cos i}{\omega_r - V \cos \gamma}.$$

Здесь  $\varepsilon$  — угол отклонения оси кометного хвоста от продолженного радиуса-вектора (угол абберрации);  $\gamma$  — угол между вектором скорости кометы и продолженным радиусом-вектором;  $V$  — скорость кометы,  $\omega_r$  и  $\omega_\phi$  — радиальная и азимутальная составляющие скорости солнечного ветра. Так как  $\omega_\phi$  мала по сравнению с  $\omega_r$ , приведенная формула позволяет по кометным хвостам I типа вычислять радиальные скорости солнечного ветра. Следовательно, понизованные хвосты комет служат естественными

измерителями скорости солнечного ветра. В этом смысле кометы имеют ряд преимуществ перед искусственными космическими зондами, запускаемыми для исследования солнечного ветра. Во-первых, комета — это бесплатный дар природы и достаточно только лишь наладить наблюдательную службу за кометами, чтобы по ним получать информацию о параметрах солнечного ветра. Во-вторых, кометы, в отличие от космических аппаратов, наблюдаются как на огромных расстояниях ( $r \sim 11$  а. е.), так и весьма близко от Солнца («царапа-

ющие» Солнце кометы): кроме того, они могут двигаться не только близ плоскости эклиптики, но и на больших удалениях от нее, что еще недоступно для современных космических аппаратов.

Брандт и Белтон составили каталог, содержащий 1600 наблюдений хвостов I типа, и исследовали поле скоростей солнечного ветра на различных гелиографических широтах. По их определениям средняя скорость солнечного ветра оказалась равной  $\sim 485$  км/с, а минимальная  $\sim 150$  км/с. Анализируя ориентацию хвостов комет с прямым и обратным движением, они сделали вывод; что солнечная плазма обладает тангенциальной составляющей скорости  $\sim 11$  км/с в направлении вращения Солнца.

Флюг изучил 323 фотографии 11 комет и получил зависимость скорости солнечного ветра от фазы цикла солнечной активности и от значения гелиографической широты. Оказалось, что с максимальной скоростью солнечный ветер дует на широтах от  $0$  до  $10^\circ$  и от  $40$  до  $50^\circ$ .

Р. Люст исследовала отклонение хвоста I типа от продолженного радиуса-вектора у кометы Эйбелла (1953 g), наблюдавшейся в период низкой геомагнитной активности и при спокойном Солнце. Вычисленная ею скорость солнечного ветра была в хорошем согласии с измерениями, проведенными с борта космического аппарата «Маринер-2».

Большую работу по анализу ориентации плазменных хвостов большого числа комет проделала В. П. Таращук, которая установила связь между резкими изменениями ориентации хвостов при пересечении кометой границ секторов межпланетного магнитного поля. Ею был также получен ряд закономерностей в распределении аберрационной скорости солнечного ветра в зависимости от гелиографической широты, гелиоцентрического расстояния в различные фазы солнечной активности. Так, например, было показано, что до  $2 \div 2,5$  а. е. скорость солнечного ветра практически не зависит от гелиоцентрического расстояния. Скорость солнечного ветра оказалась повышенной (почти на  $100$  км/с), на широтах  $7^\circ$ ,  $22^\circ$ ,  $40^\circ \div 50^\circ$  и выше  $75^\circ$  в максимуме солнечной активности и на широтах  $10 \div 15^\circ$ ,  $40^\circ$  и выше  $75^\circ$  — в период минимумов.

Кроме ионизованных хвостов индикаторами физических условий в межпланетном пространстве могут

быть и другие активные явления, происходящие в кометах. Изменение активного состояния межпланетной среды, регулируемого солнечной активностью, может приводить также к генерации различных структур в головах и хвостах комет (галосы, облачные образования, сжимающиеся оболочки, лучевые системы, омегообразные изгибы хвостов и другие пекулярные особенности), к разрушению ядер комет на вторичные осколки, наконец и к динамическим аномалиям в движении комет, так называемым негравитационным эффектам в кометах и т. д.

Изучение подобных активных явлений в кометах и их связи с солнечной активностью имеет большее значение для понимания явлений, происходящих в самих кометах, в межпланетном пространстве и на Солнце. Исследование связи между активными явлениями в кометах, их энергетикой и динамическими аномалиями в движении периодических комет может в конечном итоге привести к разгадке физического механизма, ответственного за проявление негравитационных сил в кометах, заставляющих кометные ядра «сбиваться с курса».

Иногда капризы солнечной активности приводят к неожиданным вспышкам блеска комет; правда, только большие вспышки амплитудой более одной звездной величины, по-видимому, иногда отражают заметные изменения уровня солнечной активности.

Знаменитая комета Энке в годы максимумов солнечной активности (в 1805, 1828, 1835, 1848, 1858, 1871, 1881, 1947, 1957, 1967 гг.) выглядела значительно ярче, чем в годы минимумов солнечной активности (в 1822, 1833, 1855, 1865, 1964 и 1974 гг.). Вблизи максимумов солнечной активности у кометы Энке всегда наблюдается хвост, а вблизи минимумов комета выглядит бесхвостой. Например, веерообразный хвост у нее наблюдался в ноябре 1970 г. участниками астрономической экспедиции Киевского университета (рис. 16). Солнечная активность в этот период была довольно высока.

По кометам, у которых продолжительное время наблюдались хвосты I типа, была установлена связь их динамических особенностей с солнечной активностью и, что более важно, была выяснена структура и физические условия в межпланетной плазме. Так, напри-

мер, оказалось, что у 70% (из 52 изученных) комет, располагавшихся в области гелиографических широт от  $-30^\circ$  до  $+30^\circ$ , хвосты принадлежали к I бредихинскому типу. Это указывало на то, что солнечные корпускулярные потоки тоже должны располагаться в этой зоне, т. е. в зоне, где в основном образуются солнечные пятна.

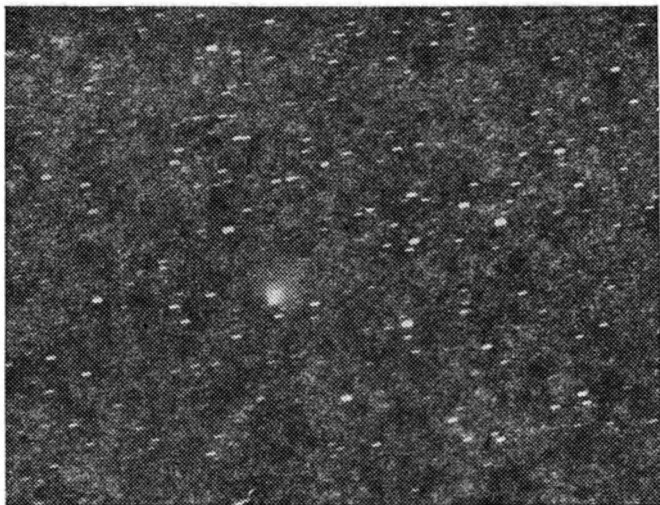


Рис. 16. Комета Энке 25 ноября 1970 г (наблюдение К. И. Чурюмова).

Исследование связи больших отталкивательных ускорений, в сотни раз превышающих гравитационную силу, в хвостах комет Галлея и Уипла — Федтке — Тевзадзе с солнечной активностью показало, что в межпланетном пространстве существуют устойчивые корпускулярные потоки, связанные с определенными областями на Солнце.

Автор с П. Т. Велещюком исследовали колебания плазменного хвоста кометы Абе (1970 XV) относительно продолженного радиуса-вектора по 39 фотографиям, полученным автором в Зайлийском Алатау с помощью светосильной камеры Шмидта Астрофизического института АН Казахской ССР. Исследование изме-

нений абберационного угла  $\epsilon$  показало, что существует связь между вариациями  $\epsilon$  и солнечной активностью: интенсивностью радиоизлучения Солнца на частоте  $\nu = 9400$  МГц, суммарным индексом вспышек всех баллов в 14-градусной зоне, наблюдавшихся с момента выхода зоны на восточном краю до прохождения ею центрального меридиана, а также с изменением напряженности геомагнитного поля (Kp-индекс)

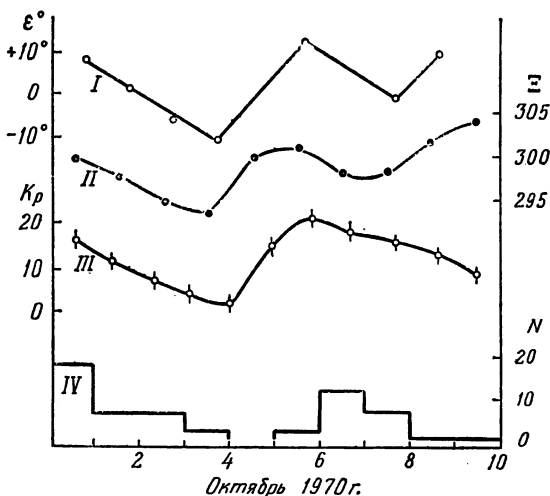


Рис. 17. Связь колебаний оси плазменного хвоста кометы Абе (1970 XV) с солнечной и геомагнитной активностью.  $\epsilon^\circ$ (I) — угол отклонения оси хвоста кометы от продолженного радиуса-вектора,  $\Xi$ (II) — поток радиоизлучения Солнца на частоте  $\nu = 9400$  МГц, Kp(III) — индекс активности геомагнитного поля (учтена разность гелиографических долгот Земли и кометы), N(IV) — суммарный индекс вспышек всех баллов в 14-градусной зоне, наблюдавшихся с момента выхода зоны на восточном краю Солнца до прохождения ею центрального меридиана.

при учете разности гелиографических долгот Земли и кометы (рис. 17). Отрицательные значения  $\epsilon$  (т. е. смещение плазменного хвоста за радиус-вектор в сторону движения кометы по орбите) были связаны с пересечением хвостом кометы границы сектора межпланетного магнитного поля, что согласуется с результатами В. П. Таращук, обнаружившей подобный эффект для большего числа кометных хвостов.

Кроме того, была установлена зависимость между длиной хвоста кометы Абе и углом аберрации хвоста  $\epsilon$ , связанной со скоростью солнечного ветра. Оказалось, что большим значением  $\epsilon$ , а следовательно, меньшим скоростям солнечного ветра соответствуют большие длины хвостов, и наоборот. С физической точки зрения это совершенно ясно, так как усиление солнечного ветра приводит к уменьшению времени жизни светящихся молекул и ионов в хвосте, что и наблюдается как сокращение длины хвоста. Найденную зависимость, по-видимому, можно использовать для диагностики параметров солнечного ветра (скорости и плотности) на различных гелиоцентрических расстояниях и гелиографических широтах, недоступных для зондирования искусственными космическими аппаратами.

### УДИВИТЕЛЬНЫЕ СТРУКТУРЫ В КОМЕТАХ

**Лучи.** Довольно часто в хвостах I типа наблюдаются тонкие прямолинейные лучи, выходящие под различными углами из ядра и составляющие в совокупности лучистый хвост.

Наиболее общие свойства лучей следующие: 1) ширина луча  $\sim 2 \cdot 10^3$  км (на пределе разрешения эмульсии); 2) длина лучей может достигать  $\sim 10^7$ — $10^8$  км; 3) лучи располагаются симметрично относительно оси хвоста и приблизительно в направлении продолженного радиуса-вектора; 4) первые (короткие) лучи появляются под большими углами к оси хвоста ( $\sim 60^\circ$  и больше) и удлиняются по мере приближения к оси; 5) движение лучей перпендикулярно к оси хвоста носит характер захлопывания, напоминая «складывающийся веер», однако иногда наблюдается и противоположное движение лучей от оси хвоста; 6) часто лучи приобретают спиральную форму (например, в кометах Морхауза (1908 III), Таго — Сато — Косака (1969 IX), Беннета (1970 II) и Когоутека (1973 XII)); 7) иногда лучи сильно искривлены, как это, например, наблюдалось в комете Хьюмаса (1962 VIII).

В спектре лучистых хвостов в основном наблюдаются линии ионов  $\text{CO}^+$ ,  $\text{N}_2^+$  и др., непрерывный спектр отсутствует. Таким образом, лучи — это плазменные образования. Поэтому наиболее вероятно, что



лучи представляют собой кометную плазму, сжатую в волокна под действием внешних магнитных и электрических полей. Волокнистая структура космической плазмы — чрезвычайно распространенное явление в природе: волокнистая структура межзвездной среды и туманностей, лучи и тонкие волокна солнечной короны, лучевые формы полярных сияний и, наконец, лучевые системы кометных хвостов.

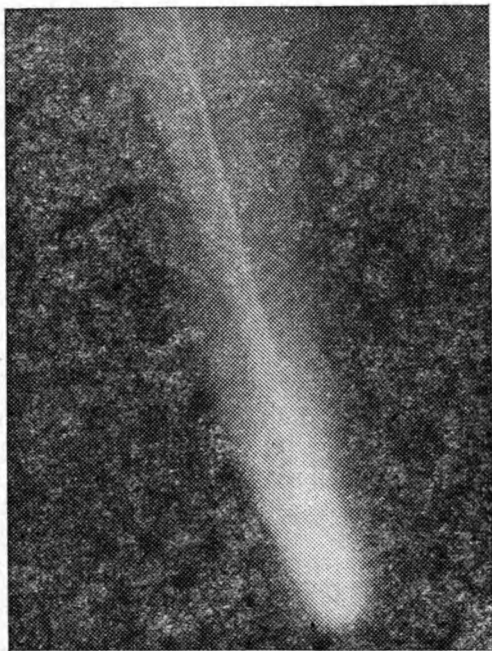


Рис. 18. Комета Беннета (1970 II) и ее удивительная лучевая система 2 апреля 1970 г по наблюдениям А. И. Шаповаловой.

Большой интерес вызывает образование лучевой системы с чрезвычайно интенсивными волнистыми струями, наблюдавшиеся у кометы Беннета (1970 II) 2 апреля 1970 г. (рис. 18). В ночь с 3 на 4 апреля структура хвоста стала еще сложнее и запутаннее; в конце концов весьма активный процесс, происходивший в указанное время в атмосфере кометы Беннета, увенчался образованием красивого плазменного обла-

ка, обладавшего сложной волокнистой структурой (рис. 32).

Иногда наблюдаются лучевые системы, связанные с облачными образованиями, движущимися с большими ускорениями в хвосте кометы. Вместе с облачными образованиями двигались и их лучевые системы. Например, у кометы Морхауза (1908 III) 15—17 октября

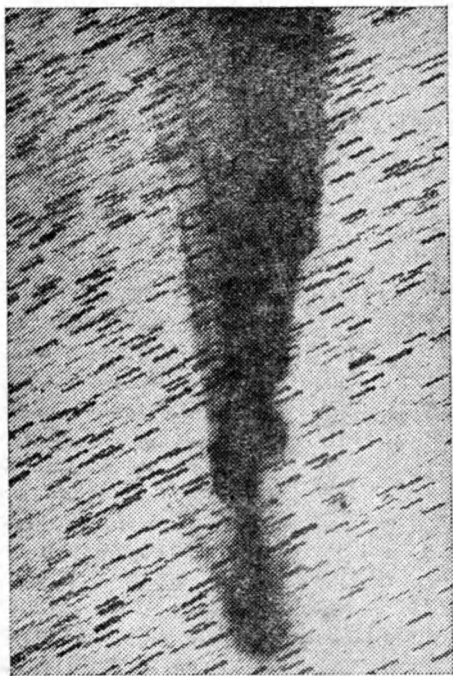


Рис. 19. Негатив кометы Морхауза (1908 III), на котором видны лучевые системы, выходящие из облачных образований.

1908 г. наблюдались одновременно лучевые системы, выходящие из головы кометы и из нескольких облачных образований, напоминающих собой как бы отдельные кометные головы (рис. 19). Альвен предложил следующий механизм образования лучевых систем в хвостах комет. Солнечный ветер с «вмороженными» в него магнитными силовыми линиями, сталкиваясь с нейтральной головой кометы, ионизует часть газа. На

ионизованной коме происходит торможение солнечного ветра и силовые линии начинают изгибаться, повторяя контуры головы. При этом некоторые силовые линии загибаются почти на  $90^\circ$  к начальному направлению поля. Так как кометные ионы могут распространяться только вдоль силовых линий, последние постепенно материализуются и становятся видимыми как

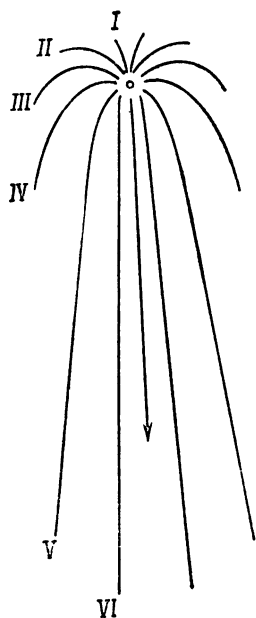


Рис. 20. Образование лучевой системы в плазменном хвосте кометы.

лучи (рис. 20). Облачные образования, по-видимому, представляют собой ионизованные головы, образующиеся внутри нейтральной головы и вытолкнутые из нее солнечным ветром и его магнитным полем. Продолжающаяся ионизация нейтральной головы приводит к образованию последующих ионизованных голов, и их выталкивание в хвост наблюдается как явление облачных образований.

Движение кометных ионов вдоль силовых линий объясняет также появление спиралеобразных, винтовых лучей.

Несс и Донн, после того, как с помощью космических аппаратов была открыта секторная структура межпланетного магнитного поля, предположили, что при квазипериодическом обращении межпланетного поля с интервалом 4—7 дней образуется пара нейтральных трубок, заключенных меж-

ду антипараллельными силовыми линиями, которые при встрече с кометой деформируются на плазме головы и, вытягиваясь в антисолнечном направлении, образуют лучи, движущиеся к оси хвоста.

Однако следует учесть, что кометная плазма диамагнитна, как любая сильно проводящая плазма, поэтому межпланетное магнитное поле не может проникнуть в комету. Движущиеся магнитные поля солнечного ветра генерируют электрические поля, которые поляризуют внешние слои плазмы головы кометы. Это

приведет к тому, что силовые линии межпланетного магнитного поля будут соскальзывать с ко́мы и никакого загибания силовых линий не произойдет.

Лучевые структуры в хвосте I типа могут представлять собой токовую систему, генерируемую вихревыми магнитными полями, переносимыми солнечным ветром. Вследствие гигантских размеров ионизованных хвостов электрические токи в них будут определяться самоиндукцией. Возникновение лучей (токов) может быть связано с «падающей» характеристикой, т. е. электрическое поле, необходимое для поддержания тока, будет убывающей функцией. При постоянстве полной плотности тока локализация токов в лучах требует более слабого поля, чем тогда, когда ток равномерно заполняет весь объем хвоста кометы. Таким образом, развитие лучей, по которым распространяются токи, делает электрическое поле в хвосте минимальным.

**Галосы.** Галосообразование в кометах заключается в появлении на фоне диффузного свечения ко́мы системы расширяющихся концентрических светящихся колец. Расширяясь со скоростью 1—2 км/с, галосы постепенно сливаются с фоном неба и становятся невидимыми. Наиболее рельефно галосы наблюдались в головах ярких комет.

Впервые галосы были обнаружены Шмидтом в голове яркой кометы Донати (1858 IV). После этого галосы были обнаружены в кометах Понса — Брукса (1884 I), Галлея (1910 II), Олкока (1963 V) и Хонда (1955 V). В таблице 5 приведены данные о скоростях расширения галосов в этих кометах.

Т а б л и ц а 5. Характеристики галосов в кометах

Комета	Период галосообразования и число галосов (в скобках)	Скорость расширения галосов, км/с
1. Донати (1858 VI)	2—17 окт. 1858 г. (13)	0,41—2,0
2. Понса — Брукса (1884 I)	22 сент. 1883 г. (1)	0,28
3. Холмса (1892 III)	4 нояб. 1892 г. — 16 янв. 1893 г. (4)	0,40—1,50
4. Галлея (1910 II)	16 апр. — 2 июня 1910 г. (5)	0,30—0,70
5. Хонда (1955 V)	18—20 сент. 1955 г. (1)	—
6. Олкока (1963 V)	27—28 мая 1963 г. (1)	1,0—1,5

Галосообразование, как показывают наблюдения, обычно происходит в период сильных изменений яркости кометы — вспышек блеска. Особенно наглядно эта связь проявилась в комете 1892 III, открытой Холмсом в Лондоне 6 ноября 1892 г. во время сильной вспышки блеска, так как комета уже прошла перигелий (на 4, 5 месяца раньше, чем она была открыта). Ее блеск в это время достиг  $\sim 4-5^m$  и в течение всего ноября комету можно было видеть невооруженным глазом. При этом наблюдалось постепенное расширение головы и падение поверхностной яркости (6 ноября диаметр головы составлял  $D = 5'$ , а 5 декабря  $D = 42'$ ). Спектральные наблюдения галосов комет Галлея (1910 II) и Олкока (1963 V) указывали на присутствие в галосах излучений CN и C<sub>2</sub>. Однако, в отличие от молекул CN и C<sub>2</sub>, наблюдававшихся в других структурных образованиях комет, например, оболочках, которые заметным образом подвергаются отталкивательным силам, на те же молекулы в галосах лучевое давление Солнца не действует. С. В. Орлов предложил считать галосы аномальным образованием в кометах.

Как показывают расчеты, в среднем пылевые галосы имеют массу  $\sim 10^{12}$  г и обладают кинетической энергией  $\sim 10^{21}$  эрг. Время видимости галоса определяется из условия достижения его поверхностной яркости значения  $22^m$  с одной квадратной секунды небесной сферы. Это позволяет определить время жизни галоса, которое оказывается в среднем  $\sim 30$  суток. Для того чтобы из ядра кометы был выброшен галос с кинетической энергией  $\sim 10^{21}$  эрг, такого же порядка энергия должна быть получена ядром из потока фотонной или корпускулярной радиации Солнца.

Так как галосы всегда обладают сферической симметрией, их формирование должно происходить без участия магнитных сил. Л. М. Шульман предложил механизм образования галоса при условии сверхзвукового истечения вещества из ядра. В таком потоке по законам гидродинамики образуется скачок плотности (аналогичный наблюдающимся скачкам плотности при сверхзвуковом истечении газа из сопла Лаваля). Этот скачок плотности и будет визуально наблюдаться как галос. Такой механизм позволяет объяснить, почему галосы не подвергаются действию лучевого давления

(эффект Орлова). Если галос представляет собой скачок плотности в сверхзвуковом потоке кометного газа, то он будет являться волновым образованием, на которое лучевое давление не действует.

**Сжимающиеся оболочки.** Явление сжимающихся оболочек было обнаружено в комете Морхауза (1908 III). Как показали наблюдения А. Эддингтона, оболочки возникали приблизительно на одном и том же расстоянии от ядра, причем сначала появлялись вершины оболочек с интервалами порядка нескольких десятков минут, так что можно было одновременно наблюдать в голове кометы сразу несколько оболочек. Как только появлялся сгусток свечения (вершина), он сразу же начинал двигаться к ядру, становясь по мере приближения все резче и протяженнее. При этом у оболочек начинали развиваться боковые ветви (одна или две). Вблизи ядра оболочка становилась размытой. Полное формирование дуги из оболочки происходило в интервале десятков минут или часа. Форма оболочки в течение всего времени развития оставалась сферической. Боковые ветви оболочки (лучи) уходили в хвост и захлопывались по направлению к оси хвоста, сливаясь затем с главным хвостом I типа, расположенным вдоль радиуса-вектора. Оболочки целиком состояли из ионов  $\text{CO}^+$ .

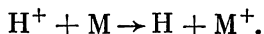
В других кометах столь явно, как в комете Морхауза, явление сжимающихся оболочек не наблюдалось, однако об их образовании в таких кометах, как кометы Даниэля (1907 IV), Финслера (1937 V), Мркоса (1957 V), Тато — Сато — Косака (1969 IX), Беннета (1970 II) и др., можно судить по наличию остатков таких оболочек в виде лучей, формирующих характерную «луковичную» структуру.

Сжимающиеся плазменные оболочки формируются под действием солнечного ветра, однако физический механизм их образования до конца не ясен.

**Облачные образования.** Все наиболее надежные значения больших отталкивательных ускорений в кометах были определены по движению облачных образований, иногда наблюдавшихся в хвостах ярких комет. Впервые облачные образования были сфотографированы Гюссеем 13 июля 1893 г. у кометы Рордама — Кениссе (1893 II). Ф. А. Бредихин по скоростям облачных образований в этой комете определил значе-

ние  $1 - \mu \sim 36$ . Вещество облачных образований находится в плазменном состоянии, так как спектрально в них наблюдались только эмиссии  $\text{CO}^+$  и  $\text{N}_2^+$ . Наблюдения облачных образований в хвосте кометы Морхауза показали, что они двигались с огромными скоростями, а отталкивательные ускорения характеризовались значениями  $1 - \mu \sim 2000$ . Чрезвычайно активная генерация облачных образований имела место в комете Галлея (1910 II). Бобровников исследовал около 30 облачных образований и получил несколько значений  $1 - \mu$ , которые в ряде случаев превышали 2000.

Облачные образования формируются в голове кометы путем ионизации нейтрального газа солнечными излучениями. Одним из возможных механизмов ионизации является обмен зарядом между протонами солнечного ветра и нейтральной молекулой M:



В результате такой реакции могут образоваться ионы  $\text{CO}^+$ ,  $\text{N}_2^+$ ,  $\text{H}_2\text{O}^+$  и др. Солнечный ветер периодически выталкивает плазменные «головы» — облачные образования из нейтральной головы и заставляет их двигаться с большими ускорениями вдоль кометных хвостов.

**Омегообразные изгибы хвостов.** Такие структуры наблюдались у кометы Брукса (1898 IV) 3 ноября 1898 г. и у кометы Томита — Гербера — Хонда (1964 VI) 4 июля 1964 г. Особенно впечатляющая картина наблюдалась в хвосте кометы Томита — Гербера — Хонда. На фотографии, полученной Мак-Клюром, хорошо заметна эта удивительная структура (рис. 21). Хвост, простирающийся на  $30^\circ$ , вначале ровный, «ленточного» вида (т. е. имеющий постоянную ширину), на расстоянии  $\sim 24^\circ$  от ядра резко изгибается почти под прямым углом к первоначальному направлению, принимая характерную  $\Omega$ -образную форму. В это время комета находилась на расстояниях  $\sim 0,51$  а. е. от Солнца и  $\sim 0,77$  а. е. от Земли. Картинная плоскость была почти перпендикулярна к плоскости орбиты кометы и радиус-вектор проектировался на эту плоскость почти без искажения, так как он составлял угол около  $85^\circ$  с лучом зрения. Вследствие этого угол между радиусом-вектором и хвостом был неопределенным. Если

предположить, что весь хвост находился в плоскости орбиты, то учет такого искажения дает угол аберрации  $\sim 25^\circ$ , что является довольно большим значением для хвостов I типа. Образование таких структур в хвостах комет указывает на существование крупномасштабных неоднородностей в солнечном ветре (скачков плотности и скорости). Хвост кометы Томита — Герберера — Хонда 4 июля 1964 г. сформировался под действием фронта быстро движущейся плазмы. Образование такого фронта в межпланетном пространстве связано с существованием долгоживущего источника геомагнитных возмущений (время жизни может составлять несколько лет).

#### НЕСТАЦИОНАРНЫЕ ПРОЦЕССЫ В ГОЛОВАХ И ЯДРАХ КОМЕТ

**Вспышки яркости комет.** Вспышкой яркости кометы называется отклонение наблюдаемой яркости от вычисленной для данного момента по формуле

$$I = I_0 \Delta^{-2} r^{-n},$$

где  $I$  — наблюдаемая яркость,  $I_0$  — яркость на расстоянии в 1 а. е. от Солнца и Земли (абсолютная яркость),  $\Delta$  — геоцентрическое расстояние,  $r$  — гелиоцентрическое расстояние,  $n$  — показатель (фотометрический параметр), в среднем для большого числа комет равный 3,3. Для разных комет  $n$  различны и могут принимать значения

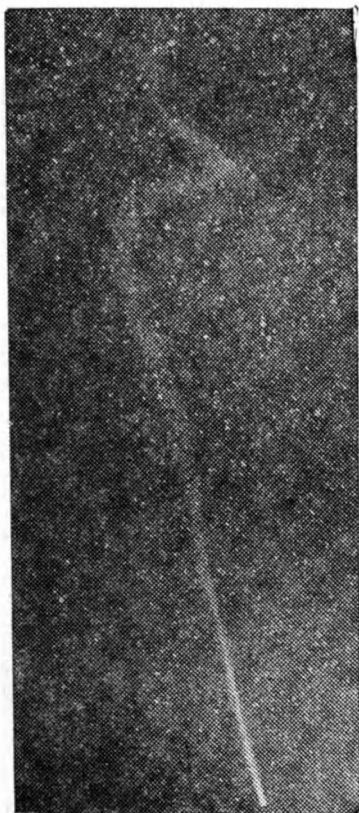


Рис. 21. Омегаобразный хвост кометы Томита — Герберера — Хонда (1964 VI) 4 июля 1964 г по наблюдениям Мак-Клюра.



от 2 до 6. Иногда за среднее  $n$  принимается 4. По приведенной выше формуле можно предвычислять яркость кометы на любых  $\Delta$  и  $r$ . Однако на регулярную кривую блеска иногда накладываются довольно сильные вспышки яркости, искажающие плавный ход изменения блеска с гелиоцентрическим расстоянием.

Большое впечатление производят гигантские вспышки блеска с амплитудой 2—10<sup>m</sup>. Например, комета Понса — Брукса (1884 I) за 3 часа увеличила свою яркость в 1000 раз (на ~ 8<sup>m</sup>) и затем также быстро ослабела. Комета Швассмана — Вахмана-1, движущаяся за орбитой Юпитера почти по круговой орбите, регулярно изменяет свою яркость в среднем на ~ 6<sup>m</sup>. Об этой комете следует рассказать особо. Открыта она была в Бергедорфе 15 ноября 1927 г. немецкими астрономами Швассманом и Вахманом во время вспышки блеска, когда она выглядела как диффузный объект ~ 13—14<sup>m</sup>. Обычно же она не бывает ярче 18—20<sup>m</sup>. Орбита кометы почти круговая ( $e = 0,135$ ). Разница ее афелийного и перигелийного расстояний не превышает 1,8 а. е. Такое изменение гелиоцентрического расстояния кометы может объяснить вариацию блеска только на 0<sup>m</sup>,6. Если учесть еще и изменение геоцентрического расстояния, то максимальное изменение блеска все равно не превысит 1,8 звездной величины.

В «спокойном» состоянии (18—20<sup>m</sup>) комета Швассмана — Вахмана-1 является труднодоступным для наблюдений объектом. На фотопластинках, запечатлевших «спокойное» состояние кометы, ее изображение трудно отличить от звезд, хотя обычно и обнаруживаются слабые следы комы без ясно выраженных границ, диаметром 0,1—0,2 минуты дуги. Вспышки развиваются быстро — в интервале менее одного дня яркость возрастает на 6 звездных величин.

В начальной стадии вспышки комета кажется совершенно звездообразной, как при фотографировании, так и при визуальном рассмотрении с большим увеличением. Продолжительность этой фазы порядка нескольких часов, поэтому наблюдать комету в этот период удается крайне редко. Следующая фаза вспышки кометы Швассмана — Вахмана-1 характеризуется образованием видимого резко очерченного туманного диска, который может быть асимметричным по отношению к ядру и иметь неоднородную поверхностную яркость.

В течение одного-двух дней после вспышки свечение в основном исходит от туманного диска. В этой фазе комета доступна наблюдениям с помощью визуальных средств. При визуальном рассмотрении в телескоп комета имеет вид туманности почти круглой формы; ядро различимо только в крупные инструмен-

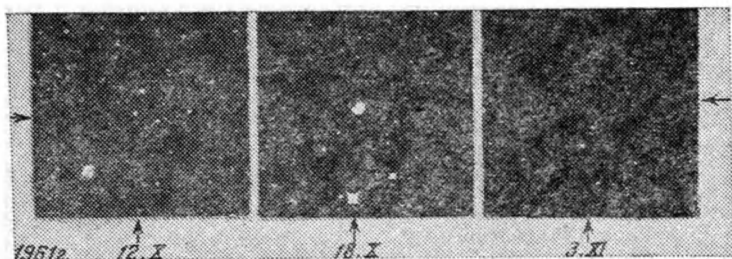


Рис. 22. Развитие вспышки в комете Швассмана — Вахмана-1 (1925 II) по наблюдениям Э. Ремер.

ты. Яркость внешнего края расширяющейся туманности периодически усиливается (в голове кометы образуются галосы). Расширение туманности происходит до тех пор, пока ее поверхностная яркость не станет ниже предельно разрешимой на фоне неба. Если расширение туманности происходит постепенно и в течение этого периода не наблюдается усиления активности, комета возвращается к своему первоначальному «спокойному» состоянию за 3—4 недели.

В 1957 г. Э. Рёмер с помощью 1-метрового рефлексора Флагстафской станции Морской обсерватории США наблюдала различные стадии развития вспышки кометы Швассмана — Вахмана-1: в июле и почти до конца августа комета была  $\sim 19^m$ , а 29—31 августа ее яркость увеличилась до  $\sim 13^m$ .

Но только в 1961 г. Э. Рёмер получила наконец уникальную последовательность фотографий, отражающих полное развитие вспышки этой кометы (рис. 22). На пластинке, снятой 12 октября, комета выглядела слабой звездочкой  $\sim 18$ — $19^m$ . Но уже через 3 дня, 15 октября комета легко различалась визуально; в это время она имела вид яркого туманного пятнышка. На фотографиях, полученных в последующие ночи, можно

было проследить, как голова кометы постепенно расширялась и яркость ее уменьшалась. Измерения диаметров оболочки дали линейную скорость расширения  $\sim 0,1$  км/с.

Со дня открытия в 1927 г. и по настоящее время комета Швассмана — Вахмана-1 находится под постоянным наблюдением астрономов, а так как она движется по орбите, близкой к круговой, ее наблюдают ежегодно, и ежегодно отмечаются то усиления, то ослабления ее интегрального блеска.

23 января 1979 г. Ц.-Й. Шао на обсерватории Гарвардского колледжа сфотографировал комету с помощью 155-сантиметрового рефлектора во время сильной вспышки ее блеска: на фотографии, полученной им, видна сильная компактная конденсация  $\sim 11^m$  диаметром  $10''$ . По его же наблюдениям 24 января яркость стала уменьшаться и одновременно увеличился диаметр видимой кольцевой комы. 4 февраля Дж. Бортль в обсерватории Брукса оценил визуально с помощью 32-сантиметрового рефлектора блеск кометы в  $12^m,7$ .

Спектр кометы Швассмана — Вахмана-1 был впервые получен Мейолом 20 сентября 1941 г. на небулярном спектрографе 90-сантиметрового Кросслеевского рефлектора Ликской обсерватории; он был непрерывным солнечным отраженным спектром без ярких полос и линий. В январе 1946 г. в период повышенной вспышечной активности кометы ее спектр вновь получился непрерывным, солнечным. Казалось бы, что на таких больших гелиоцентрических расстояниях кометные молекулы не могут быть нормально возбуждены. Но вот 28 февраля 1979 г. Ф. Бернген на Таутенбургской обсерватории с помощью 200-сантиметрового рефлектора с объективной призмой снял две спектрограммы кометы во время ее вспышки блеска; на спектрограммах им были обнаружены два эмиссионных узла в голубой области; при этом интегральная величина кометы была  $\sim 14^m,5$ ; диаметры центральной конденсации и слабо протяженной комы соответственно равнялись  $\sim 6''$  и  $25''$ .

В «спокойном» состоянии спектр кометы Швассмана — Вахмана-1 получить сложно из-за слабости объекта.

Рихтер установил существование отчетливой корреляции между вспышками блеска кометы, геомагнитной

активностью и активными М-областями на Солнце. Неоднократно оправдывался прогноз геомагнитных бурь по вспышкам яркости этой кометы.

Вспыхивающая уже более полувека короткопериодическая комета Швассмана — Вахмана-1 является уникальным явлением среди всей совокупности комет.

Недавно удивила всех и другая короткопериодическая комета — комета Тутля — Джакобини — Кресака, которая в 1973 г. внезапно увеличила свою яркость в 10 тысяч раз. Открытая еще в 1858 г., эта комета никогда не имела яркость больше 10—11-й звездной величины, а обычно 13—14<sup>m</sup>. По эфемериде Б. Марсдена при прохождении кометы в мае 1973 г. яркость ее ядра должна была достигнуть 19<sup>m</sup>,7, а интегральная яркость ~14—15<sup>m</sup>. Однако случилось непредвиденное: 27 мая 1973 г. за два дня до прохождения кометы через перигелий произошла вспышка яркости почти на 10 звездных величин! Комета стала наблюдаться невооруженным глазом как объект ~4<sup>m</sup> (только немного слабее звезды эпсилон Льва). Затем в течение месяца яркость кометы упала до 14—15<sup>m</sup>, но 6 июля 1973 г. произошла повторная сильная вспышка яркости до ~5<sup>m</sup>,8 и комета вновь могла наблюдаться невооруженным глазом и довольно легко могла быть найдена с помощью бинокля.

Существуют разные взгляды на природу вспышек яркости комет. Уитни, например, предположил, что вспышки яркости комет происходят в результате испарения случайных концентраций метана и углекислого газа, которые, воздействуя на поверхностные слои ядра, создают центры напряжений, что в конечном счете и приводит к взрыву. Такой взрыв Уитни называет взрывом «бойлерного» типа, так как он характеризуется тем, что внутри прочных полостей в ядре кометы повышается давление до тех пор, пока выдерживают стенки такой полости. Взрыв сопровождается истечением газа с большой скоростью, который увлекает за собой твердое вещество, образуя протяженное пылевое облако. Солнечный свет, отраженный от него, воспринимается земным наблюдателем как вспышка яркости.

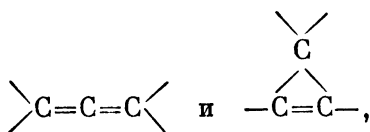
Ленинградский физик А. З. Долгинов считает, что так как вблизи ядра кометный газ (молекулы углерода) находится в пересыщенном состоянии, то при усилении электромагнитного и корпускулярного излуче-

ний Солнца он может сконденсироваться в твердые углеродные пылинки (сажу). Интенсивное образование пылевой компоненты увеличивает отражающую способность головы кометы, что и воспринимается как вспышка яркости кометы.

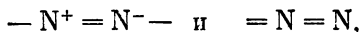
Б. Донн и Г. Юри считают, что вспышки блеска комет можно объяснить взрывными химическими реакциями с участием свободных радикалов или химически нестабильных молекул.

Так как энергии солнечных корпускулярных потоков не хватает, чтобы вызвать выброс галоса или вспышку яркости кометы, Уитни предположил, что корпускулярные потоки могут играть роль «спускового крючка» кометной вспышки. В рамках свободно-радикального механизма вспышек корпускулярные потоки могут дать толчок начальным локализованным реакциям и последующему развитию цепной реакции, имеющей характер взрыва.

Интересный механизм вспышек яркости комет предложил Л. М. Шульман. Анализируя химический состав комет на основе спектральных данных, он пришел к выводу, что наблюдение эмиссии  $C_3$  на гелиоцентрических расстояниях, превышающих расстояния, на которых появляются эмиссии  $C_2$ , свидетельствует о значительной сложности родительских молекул, входящих в состав ядра. Такими молекулами, по его мнению, могут быть  $C_3H_4$ ,  $C_3H_2$ ,  $C_3H_2(CH_3)_2$ ,  $C_3(CH_3)_4$ , так как они имеют структурные группы



являющиеся энергетически наиболее выгодными при образовании  $C_3$ . Ионы азота  $N_2^+$ , которые обнаружены в хвостах комет, также из энергетических соображений должны образовываться из родительских молекул типа  $CH_2N_2$  или  $NH_3$ , так как они содержат группы



а эти вещества характеризуются сильной взрывчатостью.

Такие взрывчатые вещества могут образоваться в поверхностном слое ядра под воздействием солнечных космических лучей путем радиосинтеза. При достижении критической концентрации непределенных соединений в слое  $\sim 2$  мм очередная вспышка солнечных космических лучей инициирует сброс поверхностного слоя, что и будет наблюдаться как увеличение яркости кометы. Из всех предложенных такой механизм является пока единственным, который может объяснить синхронное выделение энергии по всей поверхности ядра.

**Кометные катастрофы.** Самым активным процессом, происходящим в ядрах комет, является разделение первичного ядра на вторичные фрагменты количеством от двух до восьми. В настоящее время известно 18 комет, у которых наблюдалось по нескольку ядер (см. табл. 6,

Т а б л и ц а 6. Кометы с разделившимися ядрами

Комета	$q$ , а.е.	$r$ , а.е.	$n$
1. Биелы (1846 II)	0,856	4,68	2
2. Лье (1860 I)	1,199	1,20	2
3. Яркая комета (1882 II)	0,0078	0,0078	8
4. Брукса (1889 V)	1,950	0,00096	6
		от 2	
5. Холмса (1892 III)	2,141	—	2
6. Свифта (1899 I)	0,327	0,71	2
7. Копфа (1905 IV)	3,340	3,34	2
8. Галлея (1910 II)	0,587	—	2
9. Мелиша (1915 II)	1,005	1,56	2
10. Тейлора (1916 I)	1,558	1,56	2
11. Южная (1947 XII)	0,110	0,20	2
12. Пайдушаковой (1951 II)	0,720	0,72	2
13. Хонда (1955 V)	0,885	1,04	2
14. Виртанена (1957 VI)	4,446	4,90	2
15. Икейя — Секи (1965 VIII)	0,0078	0,0078	3
16. Балли — Клейтона (1968 VII)	1,772	1,40	2
17. Когоутека (1970 III)	1,722	—	2
18. Веста (1976 VI)	0,197	0,20	4

где  $q$  — перигельное расстояние,  $r$  — гелиоцентрическое расстояние, на котором произошло разделение ядра,  $n$  — число вторичных ядер).

Самая знаменитая из 18 разделившихся комет — это короткопериодическая комета Биелы (1846 II), единственная из всех комет, наблюдавшаяся как двой-

ная в двух появлениях. Открыта она была в 1772 г. и сначала ничем не выделялась среди других комет. Регулярно через 6,7 года она возвращалась к Солнцу. Но неожиданно в середине января 1846 г. на том месте, где всего несколько ночей назад была видна одна комета Биелы, наблюдатели обнаружили две, каждую со своей оболочкой и хвостом. Двойную комету в последний раз удалось наблюдать при ее следующем возвращении к Солнцу в 1852 г. И только 27 ноября 1872 г. она напомнила о себе метеорным дождем Биелид (Андромедид).

Среди распавшихся комет большой интерес вызывает также короткопериодическая комета Тейлора (1916 I), открытая 24 ноября 1915 г. Вскоре после прохождения ее через перигелий известный «ловец» комет Барнард обнаружил раздвоение ядра кометы на вторичные ядра: основное ядро (южное) получило обозначение А, второе ядро (северное) на одну звездную величину слабее, чем ядро А, получило обозначение В. Однако, как это всегда бывает с делящимися кометами, относительная яркость обоих ядер начала изменяться. Ядро В постепенно становилось ярче, ядро А — ослабевало. Последнее наблюдение ядра А было зафиксировано 29 марта 1917 г., а ядро В наблюдалось еще около двух месяцев вплоть до 27 мая 1917 г. С тех пор комета Тейлора не наблюдалась почти 60 лет, и в этом не последнюю роль сыграло тесное сближение кометы с Юпитером в 1925 г. до расстояния 0,25 а. е. Большие возмущения от Юпитера существенно изменили орбиту кометы. И хотя комету Тейлора пытались найти при ее возвращениях в 1922 и 1928 гг., поиски оказались безуспешными. В 1956 г. Канда учел возмущения от Юпитера с 1928 по 1956 гг. и вычислил новые элементы орбиты и эфемериду. Однако и эта попытка отыскать комету в 1956 г. также оказалась безуспешной. Перед очередным возвращением кометы Тейлора в 1977 г. за расчеты взялись ленинградский астроном Н. А. Беляев и казанский астроном В. В. Емельяненко. Они тщательно проанализировали все позиционные наблюдения кометы Тейлора и отобрали 273 точных положения. При вычислении новых элементов орбиты кометы и ее эфемериды они учли возмущения от шести планет (от Венеры до Урана). Согласно их вычислениям ядро А должно было пройти через перигелий 27 ян-

варя 1977 г., а ядро В — 12 января 1977 г. При этом условия наблюдения кометы в появлении 1976—1977 гг. были наиболее благоприятными по сравнению с семью предыдущими прохождениями кометы через перигелий: звездная величина в максимуме блеска должна была достигнуть  $14^m,6$ , склонение кометы должно было быть  $\sim +30^\circ$  и ее было удобно наблюдать на обсерваториях северного полушария. Эфемеридой Н. А. Беляева и В. В. Емельяненко, опубликованной в справочнике Британской Астрономической Ассоциации в 1976 г., воспользовался Ч. Ковал, и 25 января 1977 г. обнаружил на пластинках 122-сантиметрового телескопа Шмидта Паломарской обсерватории, полученных 13 и 14 декабря 1976 г., не наблюдавшуюся с 1917 г. распавшуюся комету Тейлора. Комета Тейлора была также обнаружена (к сожалению, позднее Ковала) казанским астрономом Г. В. Жуковым на пластинках, полученных еще 24 ноября 1976 г. на Алма-Атинской высокогорной станции Астрономической обсерватории им. Энгельгардта. По мнению Б. Марседена, все наблюдения кометы Тейлора, полученные в 1976 и 1977 гг. относятся ко вторичному ядру В. Ядро А обнаружить не удалось. Переоткрытие кометы Тейлора через 60 лет после ее утери в 1917 г. является редчайшим астрономическим событием. За предсказание точной эфемериды кометы Тейлора в ее появлении 1976—1977 гг. «современные Леверье» — Н. А. Беляев и В. В. Емельяненко заслуженно были награждены медалью Астрономического совета АН СССР «За обнаружение новых астрономических объектов».

Совсем недавно многие наблюдатели, и любители и профессионалы, стали свидетелями потрясающего зрелища — распада яркой кометы Веста (1976 VI) в марте 1976 г. на четыре вторичных ядра: А, В, С и D. Комета должна была проходить перигелий 25 февраля 1976 г., но еще за 11,5 суток до перигелия ее ядро раскололось на две части: А и D. 22 февраля от ядра А отделилось ядро В. Процесс деления ядра продолжался и после прохождения кометой перигелия. 5 марта отделилось ядро С, которое наблюдалось вместе с остальными тремя ядрами вплоть до 28 марта и затем исчезло. Большой интерес представляли вариации яркостей всех четырех ядер, которые отражали как внутреннюю активность каждого из вторичных ядер, так и,



несомненно были связаны с активными процессами, происходившими в это время на Солнце.

Ядро С, когда оно отошло на заметное расстояние от А и было обнаружено наблюдателями, несколько дней превосходило по яркости ядра А, В и D. Около 18 марта все ядра имели примерно одинаковую яркость,

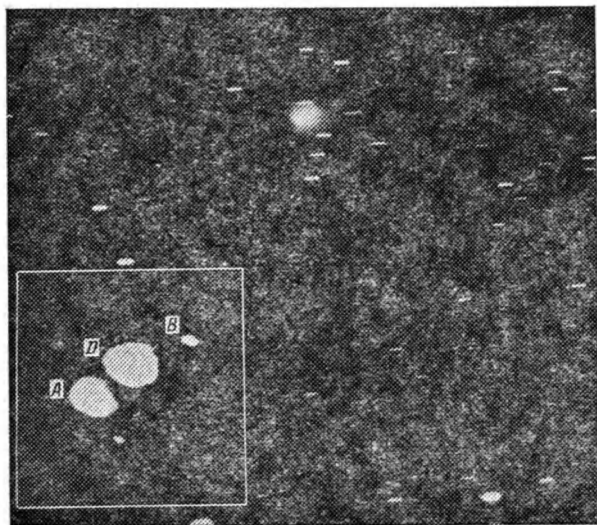


Рис. 23. Распад ядра кометы Веста (1976 VI) на вторичные ядра: видны ядра А, D и В снимок получен К. И. Чурюмовым 9 мая 1976 г. на Китабской широтной станции им. Улугбека.

после чего ядро С стало быстро ослабевать и 28 марта уже не наблюдалось. Ядро В 29 марта «вспыхнуло» и стало в два раза ярче ядра А, но в начале апреля яркость ядра В резко ослабела. Между 1 и 3 апреля наиболее ярким было ядро D, но затем и оно по своей яркости стало уступать ядру А. Автор этой книги фотографировал комету Веста (1976 VI) 9 и 10 мая 1976 г. на Китабской широтной станции им. Улугбека с помощью 40-сантиметрового двойного астрографа. На снимках четко видны ядра А, D и В (рис. 23).

Активные процессы, ведущие к распаду ядер комет, еще недостаточно изучены. Расшифровка этого меха-

низма даст нам возможность лучше понять природу и особенности строения кометных ядер.

Ядро кометы Веста, вероятнее всего, разрушилось вследствие довольно тесного сближения кометы с Солнцем под действием приливных сил. Возможно также, что ядро кометы Веста разделилось в результате существенного прогрева ледяного ядра вблизи перигелия, что привело к образованию в нем сначала многочисленных микротрещин, а затем к взрывному выходу газов из полостей в ядре. Аналогичное явление наблюдается с айсбергами в океанах, которые могут порой с оглушительным взрывом рассыпаться на мелкие кусочки прямо на глазах экипажей проходящих мимо кораблей. Аналогичные причины, по-видимому, вызвали разрушение родоначальницы комет семейства Крейца, катастрофический развал ее гигантского ядра, а позднее и деление ее обломков — кометы 1882 II и кометы Икея — Секи (1965 VIII), которые почти «коснулись» в своем перигелии поверхности Солнца: прошли всего в нескольких сотнях тысяч километров от Солнца.

Большая часть других комет разрушалась под действием неприливных сил. К их числу относятся кометы Биелы (1852 III), Копфа (1964 III), Виртанена (1961 IV). Можно предположить, что причина деления кометных ядер заложена в самой их природе и в особенностях их внутреннего строения, а приливной механизм следует рассматривать как «спусковой». Кроме указанных механизмов к распаду кометных ядер может приводить динамическая нестабильность ядер (вращательная неустойчивость), а также столкновение ядер комет с другими небесными телами — метеоритами, метеорными роями и астероидами.

По скорости расхождения вторичных ядер кометы (эти скорости редко отклоняются от 15 м/с) можно оценить массу первичного ядра, которая оказывается равной около  $10^{18}$  г.

Естественно, что катастрофические разрушения ядер не проходят для комет бесследно: чаще всего они ведут к заметному ослаблению их блеска, а затем и к полному исчезновению, как это мы видели на примере кометы Биелы.

Разгадка истинного механизма, вызывающего деление ядра кометы, позволит решить ряд важных проблем физики малых тел.

## МОДЕЛИРОВАНИЕ КОМЕТНЫХ ЯВЛЕНИЙ

С целью проверки ряда кометных гипотез, таких, например, как гипотезы о ледяном ядре, о родительских молекулах, о природе активных явлений в кометах, астрономы совместно с физиками, химиками и другими учеными осуществили в лабораторных и космических условиях ряд модельных экспериментов с искусственными кометными ядрами. Искусственной кометой называется физический объект, искусственно созданный в космосе или в лабораторной вакуумной установке и воспроизводящий различные кометные явления: образование комы, пылевого и плазменного хвоста, различных структур в коме и в хвосте — галосов, оболочек, синхрон, облачных образований, лучей и т. п.

Самый простой эксперимент по моделированию кометных процессов можно легко осуществить, взяв для этой цели небольшой кусочек «сухого льда», который широко используется в промышленности и в быту, например, для сохранения мороженого. В нашем эксперименте он будет выполнять роль кометного ядра. Если оставить его на некоторое время на открытом воздухе, мы сразу заметим интенсивную сублимацию вещества «сухого льда», т. е. непосредственный переход из твердого агрегатного состояния в газообразное, и вокруг нашего искусственного кометного ядра образуется протяженная атмосфера, состоящая из углекислого газа. Через некоторое время искусственное ядро полностью сублимирует и объект перестанет существовать. Примерно то же самое происходит и с ядром реальной кометы, когда она приближается к Солнцу, но только в ее ядре наряду с легко сублимирующим веществом есть и плохо сублимирующие составляющие и тугоплавкие включения метеоритной природы. Поэтому после испарения летучих веществ с поверхности ядра начинается медленное испарение из более глубоких слоев кометного ядра.

Лед различного химического состава может сохраняться в кометных ядрах довольно длительное время. Например, комета Галлея наблюдалась еще в 86 г. до н. э., но и до сих пор ее ядро способно развить огромную голову и гигантский хвост, что особенно наглядно проявилось в последнем наблюдавшемся появлении этой кометы в 1910 г. Комета Энке уже наблюдалась

в 51 появлении, и до сих пор ее ядро окутывается протяженной атмосферой и периодически наблюдается хвост. Тугоплавкие включения после испарения всех льдов могут двигаться по орбите своей кометы-прародительницы в виде метеорного роя в течение неопределенно длительного времени.

Первыми космическими экспериментами по моделированию процессов в искусственных кометах можно считать ракетные эксперименты по испарению натрия в верхних слоях атмосферы, проводившиеся в конце 50-х годов в СССР и США. Так, с борта советской высотной ракеты в 1958 г. на высоте 430 км было выпущено облако паров натрия, образовавшееся в результате испарения 2 кг натрия. Затем во время полета космической станции «Луна-2» также было образовано натриевое облако с помощью термического испарителя, когда ракета удалилась от Земли на расстояние 119 500 км. Диффузное облако, состоящее из атомарных паров натрия, начало стремительно расширяться, что было зафиксировано на многочисленных фотографиях. По скорости расширения натриевого облака были определены некоторые физические параметры верхней атмосферы Земли. Таким образом, искусственные натриевые кометы использовались в качестве индикаторов физического состояния земной атмосферы. В дальнейшем для моделирования искусственных комет в ближнем космосе стали использовать, кроме натрия, также барий, литий, цезий, стронций, аммоний. Например, бариевое облако образовывалось путем сгорания ракетного топлива с растворенными солями бария.

В Ленинградском физико-техническом институте им. А. Ф. Иоффе был разработан прибор «ИКОМ» — искусственная комета (рис. 24), предназначенный для моделирования различных кометных явлений в открытом космосе. С его помощью на борту космического корабля «Союз-5» впервые в мире был поставлен эксперимент по исследованию возможности создания из смеси воды и мелких пылинок модели ледяного ядра кометы, а также по определению основных термодинамических характеристик — температуры поверхности льда, скорости расхода льда и др. Кроме того, ставилась задача изучения динамики образования и развития пылевой составляющей кометных атмосфер.

Однако наиболее выдающиеся результаты по моделированию кометных явлений были получены ленинградскими физиками Е. А. Каймаковым и В. И. Шарковым (Физико-технический институт им. А. Ф. Иоффе), которые первыми в СССР начали экспериментировать с искусственными кометными ядрами в лаборатории.

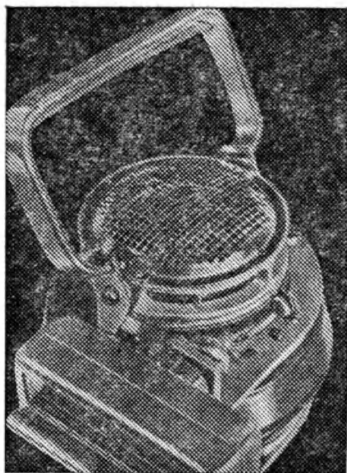


Рис. 24. Прибор «ИКОМ» — искусственная комета, созданный Е. А. Каймаковым и В. И. Шарковым в Ленинградском физико-техническом институте им. А. Ф. Иоффе.

В течение ряда лет они изучали в условиях высокого вакуума и низких температур широкий круг явлений, возникающих при воздействии тепла и света на искусственные кометные ядра различного химического состава и физического строения. В первую очередь были исследованы процесс сублимации чистых и запыленных льдов, а также динамика развития пылевой составляющей кометной атмосферы. В результате этих исследований была экспериментально получена зависимость температуры поверхности кометного ядра, состоящего из водяного льда, от

гелиоцентрического расстояния или от подводимой энергии (рис. 25). Эксперимент ленинградцев также дал объяснение такому малопонятному эффекту, как слабое воздействие солнечного тепла и света на ледяное ядро кометы при его прохождении вблизи от Солнца, а иногда и через внутренние слои его короны. Дело, оказывается, в том, что при переходе кометного льда из твердого фазового состояния в газообразное на поверхности ледяного ядра кометы образуется рыхлый, пористый и тугоплавкий слой, обладающий высокими теплоизоляционными свойствами, что мешает быстрому проникновению солнечного тепла в более глубокие слои ядра, где располагается реликтовый, «материковый» лед, своеобразная вечная мерзлота. А так как кометные

ядра вращаются вокруг своих осей с периодами от трех часов до нескольких недель под действием реактивной отдачи потоков газа, прорывающихся сквозь поверхностный защитный экран — матрицу, то ядро прогревается равномерно со всех сторон и на его поверхности отсутствуют резкие температурные перепады. И даже в тех случаях, когда ледяное ядро проносится через

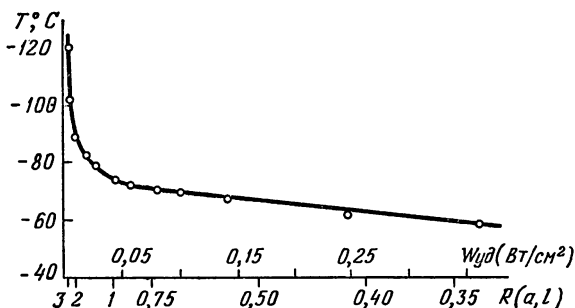


Рис. 25. Зависимость температуры кометного ядра от гелиоцентрического расстояния (лабораторное моделирование).

плазму солнечной короны, теплозащитный поверхностный экран предохраняет глубинный лед от интенсивного таяния и испарения и его температура не поднимается выше минус  $80^{\circ}\text{C}$ .

Эксперименты Е. А. Каймакова и В. И. Шаркова показали, что в зависимости от химического состава кометных льдов на поверхности ядра в одном случае может образоваться прочный солевой экран — пористая матрица; в другом случае образуется рыхлый слой, плохо проводящий тепло, защищающий кометный лед от испарения, а иногда, когда лед состоит из летучих соединений типа  $\text{NH}_4\text{OH}$ , его поверхность остается обнаженной, открытой, и никакой матрицы или пылевого экрана на его поверхности не образуется.

Особое значение для понимания многих кометных процессов имеет явление образования пылевой матрицы на поверхности ядра, состоящего из льда, заполненного пылинками. На рис. 26 представлена такая пылевая матрица. При рассматривании такой матрицы в микроскоп можно увидеть ее тонкую структуру — си-

стему капилляров, пронизывающих матрицу сверху до низу. Эта матрица может периодически разрушаться и сбрасываться с поверхности ядра. Если проводимая мощность резко увеличивается, то разрушение и сброс матрицы носит характер взрыва или серии взрывов.

В реальных кометах такое явление может наблюдаться в виде вспышек яркости.

В 1970 г. на Международном симпозиуме по кометам в Ленинграде Е. А. Каймаков и В. И. Шарков продемонстрировали перед участниками симпозиума в присутствии таких астрономических светил, как Фред Уипл, Ханнес Альвен, Бриан Марсден и других свой фильм о лабораторном моделировании кометных явлений, в котором, в частности, было показано образование матрицы на поверхности ядра и ее сброс при увеличении подводимой энергии. Фильм был с восторгом встречен участниками сим-

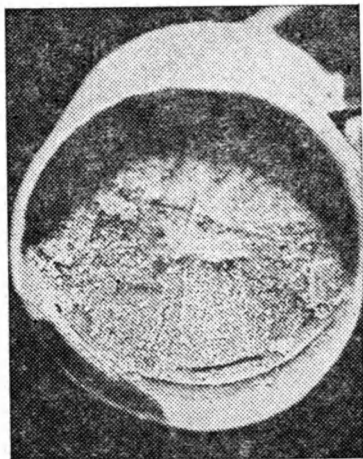


Рис. 26. Пылевая матрица, образующаяся на поверхности искусственного кометного ледяного ядра (лабораторное моделирование).

позиума и получил высокую оценку Фреда Уипла, одного из выдающихся современных кометологов, идеи которого о ледяном ядре-конгломерате наглядно получили подтверждение в замечательных экспериментах ленинградских физиков.

Используя богатый опыт физиков Ленинградского физико-технического института, моделированием кометных явлений занялись в последнее время также сотрудники Института астрофизики АН Таджикской ССР в г. Душанбе под руководством О. В. Добровольского и Х. Ибадинова.

Ряд новых результатов по моделированию магнитных хвостов комет был получен в последнее время И. М. Подгорным с сотрудниками в Институте космических исследований АН СССР. В их эксперименте

восковой шар, служащий моделью кометного ядра, помещался в поток бесстолкновительной сверхзвуковой водородной плазмы с «вмороженными» в нее магнитными силовыми линиями. При взаимодействии с восковым ядром кометы линии магнитного поля обволакивали ядро на дневной стороне и вытягивались вдоль потока на ночной стороне (рис. 27). При этом натяжение

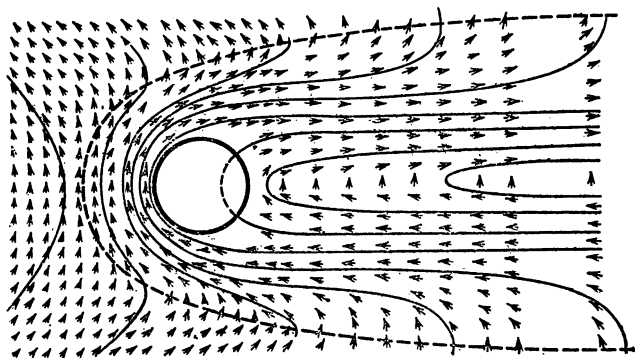


Рис. 27. Моделирование магнитного хвоста кометы в лаборатории.

силовых линий магнитного поля в хвосте приводило к ускорению ионизированных продуктов испарения воска до скорости  $\sim 10^6$  см/с. Эксперимент показал, что кометный магнитный хвост обязан своим происхождением токам, возникающим за счет лоренцовского электрического поля.

Ряд экспериментов был проведен зарубежными учеными. Так, например, Бергер (США) в 1967 г. подвергал облучению протонами из циклотрона замороженную смесь  $H_2O$ ,  $CH_4$  и  $H_2$  при температуре  $-230^\circ C$ . Химический анализ продуктов взаимодействия позволил обнаружить следы мочевины  $CO(NH_2)_2$ , уксусной кислоты  $CH_3COOH$  и ацетона  $CH_3COCH_3$ . А эти молекулы могут быть первичными родительскими молекулами, из которых состоят ядра естественных комет. Таким образом, и опыт Бергера показал, что, возможно, в процессе эволюции в ядрах некоторых комет могли образоваться довольно сложные химические соединения.



## ИССЛЕДОВАНИЕ КОМЕТ С ПОМОЩЬЮ КОСМИЧЕСКИХ АППАРАТОВ

Многие кометные загадки, такие, как истинная химическая природа родительских молекул, из которых состоит ядро, физическое строение ядра и, естественно, проблема происхождения комет, смогут проясниться только при посылке космического зонда к ядру кометы.

Сближение космического аппарата с ядром кометы позволит детально изучить физические и геометрические параметры ядра, что недостижимо для наземной аппаратуры ни в настоящее время, ни в ближайшем будущем. Много новой научной информации дают орбитальные астрономические обсерватории (например, открытие водородной атмосферы у кометы Беннета в 1970 г., а затем и у других комет), крупным шагом вперед явится создание астрономических обсерваторий на Луне, но ничто не заменит пролета космического аппарата сначала вблизи ядра, а затем и осуществление посадки зонда на кометное ядро. Аппаратура, установленная на борту такого космического зонда, позволит в первую очередь установить наличие твердого ядра у кометы, его плотность, форму (в случае шарообразной формы ядра определить его точный диаметр, если ядро «сигарообразное», — измерить его длину, ширину, толщину), массу, альбедо, особенности рельефа кометного ядра, степень загрязненности поверхности ядра (процент открытых ледяных поверхностей), химический состав слагающих ядро льдов и других пород, скорость вращения ядра.

При полете через голову и хвост кометы приборы должны установить обилие и пространственное распределение кометных ионов, атомов, молекул и радикалов, являющихся обломками первичных родительских молекул; установить природу взаимодействия солнечного ветра с атмосферой кометы; измерить ионную и электронную концентрации и распределение заряженных частиц в коме по энергиям, чтобы понять механизм ионизации кометных частиц; исследовать характеристики пылевых частиц в атмосфере кометы: распределение по размерам, по скоростям, химический состав пыли, а также выполнить ряд других важных научных задач.

В качестве кометы — кандидата для осуществления к ней космического путешествия естественно выбрать одну из известных короткопериодических комет, движение которой, учитывая и надежное определение негравитационных эффектов, хорошо исследовано в настоящее время. Скорость пролета космического аппарата мимо ядра такой кометы не должна превышать 10 км/с; кроме того, размеры ядра такой кометы должны быть  $\geq 1$  км (желательно выбрать комету с наибольшим ядром). Таким условиям удовлетворяют, например, кометы Д'Арре, Гунна, Кодзимы, Копфа, Кромелина, Ван Бисбрука, Стефана — Отерма, Брорзена — Меткофа, Ашбрука — Джексона, Темпеля-2 и др.

В литературе уже рассматривались варианты полета космических аппаратов к кометам Энке, Галлея, Джакобини — Циннера, Борелли и Темпеля-2.

На рис. 28 представлены возможные варианты полета космического аппарата к ядру кометы Чурюмова — Герасименко в 1982 г. Для того чтобы встретиться с кометой в перигелии (скорость пролета 11,8 км/с), запуск зонда следует осуществить 2 марта 1982 г., встреча произойдет 15 октября 1982 г. Для встречи с кометой в афелии 26 февраля 1986 г. стартовать нужно 12 ноября 1982 г. При этом скорость пролета составит  $\sim 0,9$  км/с, что удобно для проведения разнообразных исследований кометного ядра с пролетной траектории космического зонда.

Как сообщила газета «Правда» от 18 марта 1980 г., советский космический корабль «Венера-12», возвращаясь из космического путешествия к планете Венера, куда им был доставлен спускаемый космический аппарат, сблизился с кометой Бредфилда (19791) и сфотографировал ее спектр с помощью ультрафиолетового спектрометра, разработанного советскими и французскими учеными. В полученном спектре кометы обнаружен ряд новых линий, принадлежащих элементам, ранее в кометах не наблюдавшимся.

Космический кометный эксперимент позволит решить многие неясные вопросы кометной физики. Однако только непосредственная посадка зонда на ядро кометы и доставка кометного грунта на Землю позволит окончательно расшифровать природу того реликтового вещества, из которого сформировались Солнце, планеты и малые тела Солнечной системы.

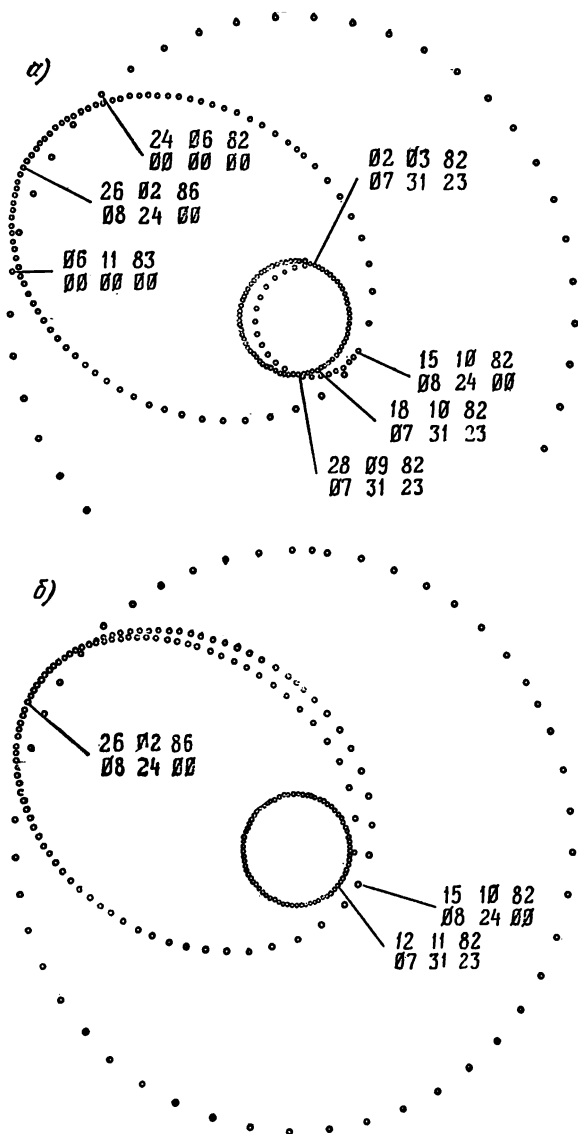


Рис. 28. Возможные варианты полетов к комете Чурюмова — Герасименко: а) полет в перигелий орбиты в 1982 г.; б) полет в афелий орбиты в 1982—1986 гг. (Вид на экране дисплея. Верхние числа означают дату, нижние — часы, минуты и секунды.)

Откуда приходят к нам во внутренние области Солнечной системы кометы — из межзвездного пространства, с окраин Солнечной системы или же они извергаются из планет и их спутников? До сих пор об источниках комет ведутся ожесточенные дискуссии, но окончательного решения проблемы происхождения комет еще нет. Еще в XVIII в. Гершель, наблюдая бесчисленные туманности, разбросанные среди звезд, предположил, что кометы — это небольшие туманности, движущиеся в межзвездном пространстве. В 1796 г. Лаплас в своей книге «Изложение системы мира», изданной в Париже, предложил первую научную гипотезу о межзвездном происхождении комет и их гравитационном захвате в Солнечной системе планетами-гигантами. Точка зрения Лапласа за прошедшие почти 200 лет претерпела некоторые модификации, но по-прежнему имеет своих сторонников и в настоящее время. Например, Литтлтон полагает, что Солнце когда-то прошло через межзвездное пылевое облако и захватило какую-то его часть. В результате гравитационной фокусировки пылевые частицы, сталкиваясь и слипаясь, образовали кометные ядра. Однако, как показал Л. М. Шульман, такой процесс невозможен, так как при лобовом или близком к нему столкновении частиц произойдет не слипание и образование частицы с большей массой, а наоборот, испарение вещества, по массе превышающего массу меньшей частицы, участвовавшей в столкновении. В дальнейшем оставшаяся частица может быть захвачена на эллиптическую орбиту (так как при ударе будет погашен гиперболический избыток скорости). На эллиптические орбиты также смогут быть захваченными и газообразные продукты испарения, образовавшиеся при лобовом ударе двух частиц, но это вещество уже не сконденсируется в кометные ядра, так как под действием лучевого давления и корпускулярной радиации, оно будет выброшено за пределы Солнечной системы.

В СССР сторонниками межзвездного происхождения комет являются астрономы В. В. Радзиевский и В. П. Томанов, установившие функциональную зависимость между перигелийным расстоянием кометы и угловым расстоянием перигелия орбиты от апекса Солнца. Это

обстоятельство они сочли важным аргументом в пользу межзвездного происхождения комет.

Однако следует указать, что существенным возражением против межзвездного происхождения комет является отсутствие у наблюдаемых комет гиперболических орбит с эксцентриситетами, значительно превышающими единицу (например,  $e = 2, 3, \dots, 10$ ). Если бы появилась комета с  $e \sim 10$ , то о ней можно было бы с уверенностью сказать, что она межзвездная, а если же наблюдаются орбиты с эксцентриситетами, на несколько тысячных долей превышающими единицу (например, у кометы Сандейджа (1972 IX)  $e = 1,0062888$ ), то их возникновение объясняется гравитационными возмущениями при прохождении кометы через планетную систему и комета действительно должна навсегда покинуть Солнечную систему. Но если исследовать первоначальную орбиту этой кометы, то она окажется эллиптической, т. е. комета была членом Солнечной системы и образовалась совместно с ее телами.

В 50-х годах нашего века выдающийся голландский астроном Я. Оорт предложил гипотезу о существовании на периферии Солнечной системы огромного облака, состоящего из почти параболических комет, на расстоянии 150 000 а. е. от Солнца. Кометное облако образовалось, по мнению Оорта, из ледяных фрагментов планеты Фаэтон, некогда существовавшей между орбитами Марса и Юпитера и погибшей в результате катастрофического взрыва. Разрушением этой десятой планеты Солнечной системы можно было бы также объяснить происхождение пояса астероидов, как раз сосредоточенного между Марсом и Юпитером, а также происхождение других малых тел, метеорных роев, не связанных с кометами, и тектитов. Гипотезу о Фаэтоне поддерживал также академик В. Г. Фесенков, который полагал, что Фаэтон чересчур близко подошел к Юпитеру, вследствие колоссальных приливных сил произошел сильный внутренний перегрев Фаэтона и как следствие — взрыв огромной силы. А совсем недавно Ван Фландерн, изучая распределение элементов 60 долгопериодических комет, перигелии которых находятся в поясе малых планет, пришел к выводу, что 5 млн. лет назад между орбитами Юпитера и Марса взорвалась планета массой в 90 земных масс, т. е. сравнимая по массе с Сатурном. Во время гигантского

взрыва, разрушившего Фаэтон, большая часть вещества в виде ядер комет (обломков ледяной коры), астероидов и метеоритов покинула пределы Солнечной системы, часть задержалась на ее периферии в виде облака Оорта, часть вещества массой в одну тысячную долю массы Земли осталась на прежней орбите Фаэтона, где она и сейчас циркулирует в виде астероидов, кометных ядер и метеоритов. В далекие времена в этом поясе, по-видимому, еще можно было бы увидеть много хвостатых светил. Но постепенно кометный лед испарился и осталось в основном минеральное вещество в виде астероидов и метеоритов. Естественно предположить, что некоторые кометные ядра сохранили реликтовый лед под рыхлым теплоизоляционным слоем тугоплавкой компоненты, и еще до сих пор в поясе астероидов иногда открывают короткопериодические кометы, движущиеся по орбитам, близким к круговым. Такой, например, оказалась комета Смирновой — Черных, открытая в 1975 г. крымскими астрономами.

В настоящее время общепринятой является гипотеза гравитационной конденсации всех тел Солнечной системы из первичного газово-пылевого облака, имевшего такой же химический состав, что и у Солнца. В холодной зоне протопланетного облака сконденсировались планеты-гиганты Юпитер, Сатурн, Уран, Нептун.

Планеты-гиганты вобрали в себя все наиболее обильные элементы протопланетного облака. Массы их возросли настолько, что они легко стали захватывать не только пылевые частицы, но и газы. В этой же холодной зоне образовались и ледяные ядра комет, которые частично пошли на формирование планет-гигантов, а частично, по мере роста масс планет-гигантов, стали отбрасываться последними на периферию Солнечной системы, где и образовали неиссякаемый резервуар комет — облако Оорта.

Приближенные размеры и структура облака Оорта могут быть изучены по элементам первоначальных орбит почти параболических комет, для которых уже вычислены надежные окончательные орбиты. В 1978 г. вышла превосходная работа Б. Марсдена, Э. Секанины и Э. Эверхарта, в которой с исключительной точностью были вычислены 110 окончательных почти параболических орбит комет и 200 первоначальных и будущих орбит. На основании результатов своих вычислений авто-

ры пришли к обоснованному выводу, что действительно периферия Солнечной системы насыщена кометами, т. е. что существование облака Оорта является реальностью. С помощью методов небесной механики было показано, что кометное облако обладает динамической устойчивостью: период полураспада облака составляет около одного миллиарда лет. Но так как параллельно с распадом происходит и постоянный процесс пополнения облака из разных источников, оно не перестает существовать.

Ф. Уипл полагает, что в Солнечной системе помимо облака Оорта существует и более близкая область, густо населенная кометами. Этот кометный пояс, в котором содержится около  $10^9$  комет, располагается за орбитой планеты Нептун и именно он вызывает те заметные возмущения в движении Нептуна, которые раньше приписывались Плутону. Как известно, открытие у последнего спутника Харона позволило уточнить массу девятой планеты Солнечной системы, которая оказалась равной по порядку  $\sim 1,6 \cdot 10^{25}$  г. Масса же кометного пояса за Нептуном при средней массе кометы  $10^{18}$  г. оказывается на два порядка большей, а следовательно, и более реальной причиной возмущений в движении Нептуна.

Что же заставляет ядра из кометного облака Оорта или кометного пояса Уипла проникать во внутренние области планетной системы, где они и наблюдаются собственно как кометы с протяженными диффузными головами и причудливыми хвостами?

Сперва Эпик в 1932 г., впоследствии Оорт, Фесенков, Штейнс, Маковер и Секанина рассмотрели влияние звездных возмущений на элементы кометных орбит в облаке и показали, что возмущения от звезд не влияют на большие полуоси почти параболических комет, но могут существенно изменить их перигелийные расстояния и, таким образом, перигелии орбит некоторых комет из облака могут оказаться внутри планетной системы и, наоборот, могут быть выведенными из нее. Другим механизмом, преобразующим орбиты, является диффузия кометных орбит. Теория диффузии кометных орбит наиболее полно была разработана рижским астрономом К. Штейнсом. Например, в результате действия механизма диффузии может существенно сократиться большая полуось почти параболической орбиты,

в то время как перигелийное расстояние кометы останется неизменным (рис. 29).

Диффузия кометных орбит — это очень медленный процесс накопления малых планетных возмущений в обратных значениях ( $1/a$ ) больших полуосей почти параболических и долгопериодических комет. А это значит, что многие кометы, ранее принадлежавшие облаку Оорта, за миллионы лет изменяют свои орбиты

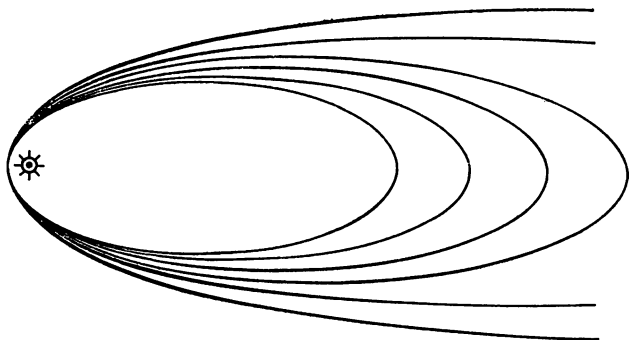


Рис. 29. Диффузия орбит долгопериодических комет (постепенное сокращение большой полуоси).

вследствие диффузии таким образом, что их перигелии начинают концентрироваться вблизи наиболее удаленной от Солнца планеты-гиганта Нептуна, имеющего большую массу и протяженную сферу действия (0,58 а. е.). Таким образом, за Нептуном мог образоваться предсказываемый Уиплом кометный пояс. В дальнейшем эволюция кометной орбиты из пояса Уипла протекает намного стремительнее. Здесь уже все будет зависеть от того, насколько глубоко проникнет та или иная комета в сферу действия планеты-гиганта. Особенно сильная трансформация кометной орбиты происходит при сближении кометы с Нептуном до расстояния, меньшего 0,1 а. е. Как показала в своих замечательных работах Е. И. Казимирчак-Полонская, Нептун своим гравитационным полем так подействует на комету при таких сближениях, что она после выхода из сферы действия Нептуна или будет двигаться по резко гиперболической орбите, так что в конце концов будет выброшена из Солнечной системы, или будет про-



должать двигаться внутрь планетной системы, где ее орбита может быть преобразована гравитационными воздействиями других планет-гигантов, или будет двигаться к Солнцу по устойчивой эллиптической орбите, расположением афелия показывая свою принадлежность к семейству Нептуна, как, например, кометы Ольберса, Галлея и др. Как предполагает Е. И. Казимирчак-Полонская, диффузия приводит к накоплению круговых кометных орбит не только за Нептуном; она продолжается непрерывно и дальше, приводя к накоплению комет, движущихся по круговым орбитам между орбитами Урана и Нептуна, Сатурна и Урана, Юпитера и Сатурна. Эти кометные кольца между планетами-гигантами аналогичны кольцу астероидов между Марсом и Юпитером, и они являются неистощаемыми резервуарами кометных ядер, орбиты которых при сближениях с планетами-гигантами могут трансформироваться, как мы уже видели, в вытянутые эллиптические с меньшим перигелийным расстоянием, что делает комету доступной для наблюдений с Земли. Серия последних открытий короткопериодических комет после их тесных сближений с Юпитером, таких как кометы Кирнса — Кви, Гунна, Кодзимы, Чурюмова — Герасименко, Герелса-3 и др., является хорошим аргументом в пользу существования кометных колец между планетами-гигантами.

Ряд трудностей, имевших место в гипотезе захвата, особенно во времена Лапласа, при объяснении происхождения комет, побудил ученых искать другие источники комет. Отсутствие резких первоначальных гипербола, наличие только прямых движений в системе короткопериодических комет в семействе Юпитера и другие причины привели к разработке гипотез о рождении комет путем вулканических извержений из недр планет-гигантов и их спутников. Родоначальником этой космогонии комет стал французский ученый Лагранж, который в 1812 г. высказал гипотезу об эруптивном происхождении комет из различных планет. В дальнейшем сторонником эруптивной космогонии Лагранжа стал Проктор, который в 1884 г. объяснял существование комет в Солнечной системе результатом сильнейшей вулканической деятельности, имевшей место на Юпитере  $10^6$ — $10^7$  лет назад. Но для того, чтобы фрагмент поверхности Юпитера со льдом (до сих пор еще

нет уверенности, что какая-либо твердая поверхность у Юпитера имеется) мог преодолеть поле тяготения планеты, чтобы стать кометой, ему нужно было бы сообщить начальную скорость порядка 60 км/с. Появление таких огромных скоростей при вулканических извержениях является нереальным, поэтому эруптивная космогония в смысле извержения из планет-гигантов является физически несостоятельной.

В наши дни гипотезу Лагранжа разрабатывает киевский астроном С. К. Всехсвятский, который считает, что кометные ядра могут извергаться не только из недр самих планет-гигантов, но также из недр их спутников, для которых начальные скорости должны быть порядка нескольких километров в секунду. Недавний полет американского корабля «Вояджер-1» вблизи Юпитера обнаружил вулканическую деятельность на ближайшем к Юпитеру спутнику Ио (рис. 30); приборы «Вояджера-1» зафиксировали выбросы огромных столбов газа и пыли высотой до 500 км. Но это еще не дает основания считать, что вулканы Ио способны выбросить гигантские глыбы, покрытые льдами, массой в 1—100 млрд. т, т. е. ядро средней кометы. Более логично предположить, что газ и пыль, выбрасываемые вулканами Ио, могут в конечном итоге скоонденсироваться и образовать ядро небольшой кометы. Правда, необходимо, чтобы пыль и газы вулканов Ио имели химический состав, близкий к составу типичных кометных ядер, а в образовании кометного ядра должны участвовать оба механизма: извержения и конденсации.

Одним из существенных недостатков гипотезы извержения, как полагает известный исследователь комет, президент Международной комиссии по физике комет профессор А. Дельземм, является отсутствие какой-либо численной модели, описывающей механизм выстреливания вулканами ядер комет, их пролет через плотную атмосферу Юпитера и его гравитационное поле.

Трудности лагранжевой гипотезы о происхождении комет пытаются преодолеть ряд других ученых, также сторонников эруптивной космогонии комет. Например, В. И. Коваль предложил оригинальную гипотезу о рождении новых комет в результате астероидно-метеоритной бомбардировки ледяных поверхностей спутников планет-гигантов. Эта гипотеза привлекательна тем, что объясняет и распределение орбитальных элементов ко-

роткопериодических комет, и постоянное возникновение короткопериодических комет в Солнечной системе, и их связь с орбитами планет-гигантов, и химический состав кометных льдов, а главное — дает обоснованный физический механизм выброса масс порядка  $10^{15}$  г с поверхности спутника планеты-гиганта.



Рис. 30. Вулкан на Ио, сфотографированный аппаратом «Вояджер-1» 4 марта 1979 г.

На новой основе развивает эруптивную космогонию комет ленинградский физик Э. М. Дробышевский. Согласно его предположению, Солнце и Юпитер первоначально представляли тесную двойную систему. В процессе ее эволюции произошло перетекание части вещества протояпитера на протосолнце.

На одной из стадий эволюции произошел распад струи на фрагменты, из которых сформировались планеты и спутники, среди которых образовалось большое

количество ( $\sim 10^3$ ) луноподобных тел, таких как Луна, Меркурий, Марс, Ио, Европа, Каллисто, Ганимед, Титан, Тритон, Плутон. Остальные луноподобные тела располагаются за орбитой Плутона, и для их поисков с целью проверки гипотезы Дробышевского необходимо провести фотографический обзор неба вдоль пояса эклиптики всех звезд до  $20^m$  и по движению некоторых звездных объектов установить их принадлежность к искомым луноподобным объектам. Автор гипотезы полагает, что за время 4,6 млрд. лет, которые прошли с момента образования Солнечной системы, луноподобные объекты могли сталкиваться и в результате таких столкновений могла образоваться из ледяных поверхностей луноподобных объектов вся наблюдаемая совокупность комет. Так как лед на поверхностях этих тел имеет различную толщину, то фрагментация коры луноподобных объектов при столкновениях позволяет объяснить распределение кометных ядер по размерам, а также существование микрокомет. Известно, что диаметры ядер комет в среднем редко превышают 1 км, а чаще всего диаметры ядер комет измеряются сотнями метров. Это вполне согласуется с представлением о такой же толщине ледяной коры на поверхности луноподобных тел. А микрокометы — это короткоживущие кометы, которые, попадая в поле тепловой и световой радиации Солнца, могут непродолжительное время поддерживать процесс сублимации и иметь вокруг ядра протяженную атмосферу. По-видимому, некоторые из таких микрокомет неоднократно открывались в пике своего блеска, но быстро «угасали» и в течение довольно короткого интервала времени становились невидимыми в телескопы. Порой через сутки и даже через несколько часов хорошо наблюдавшийся до этого диффузный объект исчезал и открыватель не мог получить второго положения быстродезинтегрирующей микрокометы. А по одному положению орбиту вычислить нельзя, так что пути некоторых маленьких комет остаются науке неизвестными. Иногда ядра микрокомет сталкиваются с Землей.

Существуют также и другие гипотезы о происхождении комет, не получившие столь широкого распространения, как перечисленные выше гипотезы: о межзвездном происхождении комет, об облаке Оорта и вулканических извержениях ядер комет.

Это, к примеру, гипотеза С. В. Орлова о рождении комет в поясе астероидов в результате взаимных столкновений последних. Столкновениями астероидов С. В. Орлов пытается объяснить прямые движения у короткопериодических комет семейства Юпитера, недолговечность их жизни, возможность обратных движений только у долгопериодических комет, так как они могут образоваться, если при лобовом ударе двух астероидов осколки приобретут достаточно большие скорости, порядка нескольких десятков км/с.

Х. Альвен, как уже упоминалось, полагает, что кометы образуются в результате уплотнения вещества в метеорных роях под действием гравитационной фокусировки планет. Такое уплотнение может наблюдаться как новая комета, находящаяся в динамическом равновесии с остальным веществом метеорного роя. Этот механизм хорошо известен в физике плазмы: в пучке электронов, проходящем через область неоднородного электрического поля, наблюдается сгусток электронов. А для метеорных роев неоднородность гравитационного поля при тесных сближениях с планетами-гигантами может приводить к такому же эффекту.

В 1960 г. академик Б. П. Константинов предложил гипотезу об антивещественной природе комет. Исходя из модели симметричной Вселенной (равноправии вещества и антивещества) Б. П. Константинов предположил, что во Вселенной возможен обмен между звездными системами из вещества и антивещества на уровне макроскопических объектов, таких как астероиды, кометы, метеориты. И в первую очередь, по его мнению, такими макротелами могут быть кометы, поведение которых сильно отличается от поведения других небесных тел в Солнечной системе (сильные вспышки блеска, колоссальные ускорения в хвостах и др.). Некоторые метеорные потоки, являющиеся продуктами распада ядер комет, могут поэтому состоять из мелких метеорных антител.

Однако пока еще все факты кометной и метеорной астрономии противоречат существованию тел из антивещества в виде комет или метеорных роев в окрестностях Солнечной системы.

Перечень некоторых приведенных здесь гипотез о природе комет позволяет нам сделать наиболее естественный выбор в пользу существования на окраинах

Солнечной системы протяженного кометного облака. По мнению автора, образование этого облака является результатом грандиозного взрыва планеты Фаэтон, когда-то обращавшейся по своей орбите на расстоянии 2,8 а. е. от Солнца. В пользу взрыва Фаэтона могут говорить и неймановы фигуры на железных метеоритах, и кратеры на ближайших к Фаэтону планетах, и их

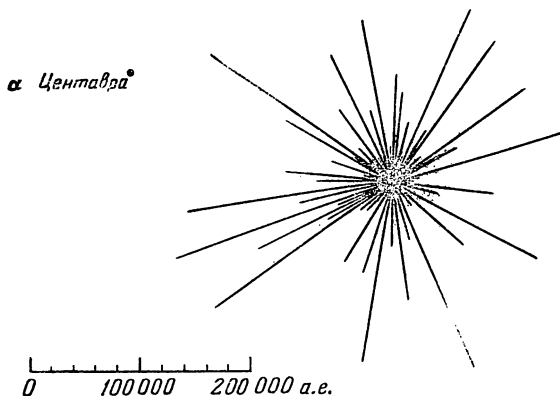


Рис. 31. Пути долгопериодических комет к окраинам Солнечной системы (взрыв Фаэтона?).

спутниках и другие факты. Обломки ледяной коры Фаэтона, достигнув гравитационных границ Солнца, стали самыми далекими и многочисленными спутниками нашего светила. Если мы изобразим на чертеже в масштабе 1 см = 50 тыс. а. е. Солнечную систему, то орбиты всех планет сольются в точку, и только орбиты почти параболических и долгопериодических комет будут представляться нам отрезками прямых, выходящими из одного центра (рис. 31). Впечатление такое, что на чертеже запечатлен взрыв какого-то объекта, обломки которого разлетаются от центра взрыва во все стороны. Это «моментальный снимок», отражающий современные события в Солнечной системе через несколько миллионов лет после катастрофы с Фаэтоном.

В дальнейшем, как мы видели, диффузия и многоступенчатый захват приводят кометные ядра из облака Оорта внутрь Солнечной системы. Здесь-то и протекает одна из наиболее бурных стадий в жизни комет-

ного ядра. Оно становится кометой, окружает себя гигантской атмосферой и развивает хвосты различных типов. При изменении условий в межпланетном пространстве, которые регулируются циклической деятельностью Солнца, изменяются и физические параметры кометных атмосфер — скорости течения кометного газа в коме, времена жизни кометных молекул в поле Солнечной радиации, колеблется плазменный хвост кометы относительно продолженного радиуса-вектора, улавливая легкие «дуновения» солнечного ветра, в хвосте появляются лучи, синхроны, облачные образования и другие «чудеса», порой долго сохраняющие свою форму, а иногда быстро разрушающиеся. Все это проявление активного взаимодействия солнечного фотонного и корпускулярного излучения с загадочным по своему химическому составу кометным ядром, а затем с пылевой, газовой и плазменной атмосферой кометы. Испарившееся с поверхности ядра кометное вещество постепенно рассеивается в межпланетном пространстве. При последующих возвращениях к Солнцу кометные льды все больше и больше истощаются, блеск кометы от появления к появлению падает, комета постепенно дезинтегрирует и прекращает свое существование как комета. Уипл и Дуглас-Гамильтон рассматривали, например, линейный закон дезинтеграции кометы, т. е. принимали, что радиус ядра кометы в результате стайвания льда убывает прямо пропорционально времени  $t$ . Считая, что абсолютная яркость кометы пропорциональна поверхности ядра, они получили следующий закон уменьшения яркости кометы  $L_0$  со временем:

$$L_0 = a(1 - bt)^2,$$

где  $a$  и  $b$  — постоянные дезинтеграции. Согласно этой закономерности комета Энке, у которой абсолютный блеск за последние 100 лет уменьшился на четыре звездные величины, должна к 2000 году полностью дезинтегрировать и перестать наблюдаться как комета.

Однако к наиболее быстрой дезинтеграции и смерти кометы приводят катастрофические распады первичных кометных ядер на вторичные фрагменты, как это наблюдалось уже у 18 комет (см. табл. 6).

Вещество распавшихся ядер комет после испарения незаэранированных льдов, двигаясь по орбите кометы,

постепенно распределится по всей орбите и преобразуется в типичный метеорный рой.

Вспышки частиц метеорного роя в атмосфере Земли (в случае пересечения орбит роя и Земли) будут еще долгое время напоминать о комете, двигавшейся ранее по этой же орбите. Но постепенно сторт и все частички метеорного роя, что будет свидетельствовать о полной гибели кометы, как ее летучей ледяной компоненты, так и тугоплавкой минеральной компоненты. В каталогах эта комета будет числиться в списках утерянных комет, как еще числится комета Биелы, первая из распавшихся комет и породившая метеорный поток Биелид (Андромедид).

## УНИКАЛЬНЫЕ КОМЕТЫ

1. Среди всего кометного ансамбля особое место занимает комета Галлея. В каталоге Б. Марсдена отмечается 27 ее наблюдаемых появлений, начиная с 86 г. до н. э. и кончая последним ее появлением в 1909—1910 гг. Очередное прохождение кометы Галлея через перигелий произойдет в феврале 1986 г. Более подробные описания и физические особенности кометы Галлея выше неоднократно приводились.

2. Комета Энке — комета с самым коротким периодом обращения вокруг Солнца, равным 3,3 г. Была открыта 17 января 1786 г. во Франции Мешеном без помощи инструментов. Периодичность движения кометы установлена немецким астрономом Энке в 1818 г., который первым обнаружил, что комета обладает самым коротким среди всех известных комет периодом обращения, равным 1207 дням. Энке также обнаружил систематическое ускорение движения кометы, а следовательно, уменьшение ее периода, причиной которого, как он полагал, является сопротивление межпланетной среды. Действительной причиной ускорения кометы, наиболее вероятно, являются реактивные силы, возникающие в результате истечения вещества из ядра и особенно интенсивно в перигелии. Комета Энке наблюдалась уже в 51 появлении. Кресак полагает, что Тунгусский метеорит являлся осколком ядра кометы Энке. Комета Энке в настоящее время ежегодно наблюдается во всех точках своей орбиты.



3. Комета Большая Южная 1887 I имеет наименьшее перигелийное расстояние, равное  $q = 0,004\ 834$  а. е., т. е. в своем прохождении через перигелий 11 января 1887 г. она пронеслась всего в 29 тысячах километров от поверхности Солнца через внутреннюю корону. Была замечена 18 января сразу же многими наблюдателями без помощи инструментов. Они видели узкий, прямой, яркий хвост длиной более  $40^\circ$ . Комета является членом семейства короткоперигелийных комет Крейца.

4. Комета Шустера (1975 II) обладает рекордно большим перигелийным расстоянием, равным  $6,88$  а. е., лежащим между орбитами Юпитера и Сатурна. Была открыта на Южной Европейской обсерватории Шустером на пластинках, полученных 25 февраля, 3 и 4 марта 1976 г. Выглядела как объект  $15^m$  с хвостом, меньшим  $1^\circ$ . Наблюдалась еще в январе 1978 г., когда находилась на расстоянии более  $10$  а. е. от Земли и от Солнца. Комета движется по гиперболической орбите ( $e = 1,002$ ), движение ее обратное. Существование такой кометы трудно себе представить с позиций гипотезы захвата и особенно — с позиций эруптивной гипотезы происхождения комет.

5. Комета 1743 I (из почти параболических комет) имеет наименьшее наклонение плоскости ее орбиты к плоскости эклиптики, равное  $2^\circ,3$ . Была обнаружена независимо несколькими наблюдателями в феврале 1743 г. (Гришов, Франц, Занотти и др.), которые видели ее без инструментов (объект  $3-4^m$ ). В это время комета исключительно тесно приблизилась к Земле, на расстояние всего  $0,05$  а. е. (Еще меньшее наклонение имела орбита периодической кометы Кодзимы,  $i = 0^\circ,9$ , но во втором появлении.)

6. Комета Беннета (1970 II) обладает рекордным наклоном плоскости орбиты к плоскости эклиптики:  $i = 90^\circ$ , т. е. плоскости орбиты кометы и эклиптики взаимно перпендикулярны. Это одна из интереснейших ярких комет нашего столетия. Была открыта 28 декабря 1969 г. в Претории Дж. Беннетом как объект  $8^m,5$  в созвездии Тукана. В конце марта 1970 г. достигла максимальной яркости  $m_{\text{виз}} = -1^m$ . Широко наблюдалась многими астрономами и любителями как в СССР, так и за рубежом (рис. 32).

7. Знаменитая комета Швассмана — Вахмана-1 (о ней мы уже рассказывали) обладает двумя уникаль-

ными особенностями: во-первых, она движется по почти круговой орбите, ее эксцентриситет наименьший из известных у комет,  $e = 0,1$  (на втором месте комета Отерма,  $e = 0,144$ , на третьем — комета Смирновой — Черных,  $e = 0,145$ ); во-вторых, это периодически вспыхивающая комета со средней амплитудой вспышки яркости  $\Delta m = 6^m$ . У кометы надежно установлен период вращения ядра вокруг оси, равный 5 суткам.

8. Наибольшим эксцентриситетом  $e = 1,006288$  обладает комета Сандейджа (1972 IX), открытая на обсерватории Маунт Паломар А. Сандейджем 9 июня 1972 г. в созвездии Змеи как объект  $13^m$ . У этой кометы перигелийное расстояние  $q = 4,3$  а. е. и наклонение орбиты  $i = 79^\circ$ , что также не часто встречается у комет.

Среди других уникальных комет следует упомянуть также: а) Комету Когоутека (1973 XII), назван-

ной даже кометой «века»: по числу полученных наблюдений этой кометы как с Земли, так и из космоса, ей нет равных среди наблюдавшихся человечеством комет. Благодаря комете Когоутека были открыты новые сложные молекулы в кометной атмосфере. б) Комету Шезо (1744) с шестью хвостами — синхронами. в) Комету Томиты — Гербера — Хонда (1964 VI) с самым изогнутым хвостом. г) Комету 1882 II, Большую Сентябрьскую, с самым длинным хвостом, по свидетельству С. В. Орлова, достигавшим длины до 6 а. е. д) Кометы Пайдушакковой (1954 II) и Олкока (1959 VI), «сгоревшие» в перигелии. е) Комету Донати (1858 VI) с ее классическими галосами в голове. ж) Кометы Морхауза (1908 III) и Хьюмасона (1961 VIII), атмосферы и хвосты

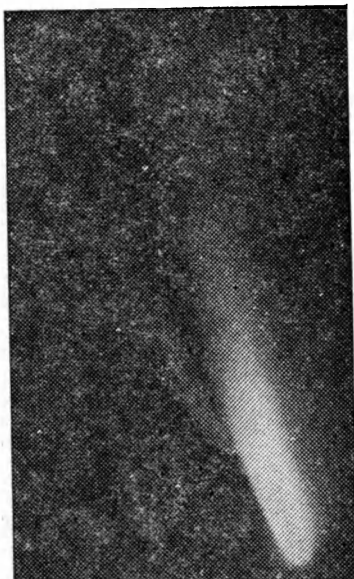


Рис. 32. Комета Беннета (1970 II) 4 апреля 1970 г. (наблюдатель А. И. Шаповалова)

которых в основном состояли из ионов  $\text{CO}^+$  и в которых наблюдались удивительные структуры. з) Кому Тейлора (1916 I), потерянную и вновь найденную через 60 лет. и) Кому Темпея — Тутля, Холмса (1892 III) и Швассмана — Вахмана-3, сначала утерянных и вновь найденных в последнее время после многих лет безуспешных поисков. к) Кому Тутля — Джакобини — Кресака, ранее ничем не примечательную короткопериодическую кому, наблюдавшуюся с 1858 г. в шести появлениях и внезапно усилившую свой блеск почти на 10 звездных величин в мае и июле 1973 г., так что кому стала наблюдаться невооруженным глазом.

Естественно, имеются и другие кому, обладавшие какими-то уникальными, присущими только им особенностями, но, к сожалению, у нас нет возможности дать хотя бы краткое описание всех этих по-своему интересных комет.

## НАБЛЮДЕНИЕ КОМЕТ

## ПОИСКИ И ОТКРЫТИЯ КОМЕТ

Чем раньше комета станет объектом наблюдений, тем больше сведений мы получим о ее развитии, о движении, о взаимодействии с межпланетной средой. Поэтому очень актуальны как систематические наблюдения известных короткопериодических комет, так и поиски новых.

Поиски комет — увлекательнейшее дело. Они захватывают и молодых, и старых, и мужчин, и женщин, и астрономов-профессионалов и любителей астрономии. На астрономических обсерваториях, за некоторыми исключениями, специальные программы поисков новых комет обычно не планируются, и поисковая работа чаще всего проводится в нерабочее время и держится на чистом энтузиазме отдельных астрономов.

Наиболее организованная служба поисков новых комет осуществлялась в послевоенное время на чехословацкой астрономической обсерватории на Скалнате Плесо, расположенной на высоте 1778 м над уровнем моря. Наблюдения проводились с помощью бинокля марки «Бинар», имеющих диаметр объектива 10 см, фокусное расстояние 45 см, 25-кратное увеличение и поле зрения 10 квадратных градусов. Этот инструмент отличается большой светосилой и в горных условиях при хорошей атмосферной прозрачности позволяет увидеть звезды 12-й величины. Бинокляр можно легко переносить с места на место, его можно быстро и легко установить на штативе. Чехословацкие астрономы, группой в пять человек, начали свои поисковые наблюдения в 1946 г. и проводили их все вместе до 1954—1955 гг. (А. Мркос — до 1959 г.). За это время ими было открыто 20 новых комет: А. Мркосом 11,

Л. Пайдушаковой 5, Л. Кресаком 2, А. Бечваром 1, М. Возаровой 1. 18 комет было открыто с помощью «Бинара», две — невооруженным глазом. Кроме того, с помощью астрографа фотографическим путем было переоткрыто 5 короткопериодических комет в их очередных возвращениях к Солнцу.

Конечно, не каждая обсерватория может пойти на создание такой поисковой группы. Астрономам, занимающимся исследованием малых тел, хватает по горло работы, связанной с фотографическими и другими научными наблюдениями комет и астероидов с помощью телескопов. Естественно, отснятые пластинки после проявления тщательно просматриваются и на них порой обнаруживаются новые малые тела — кометы и астероиды, которые возможно было открыть только фотографическим путем. Обычно это бывают довольно слабые объекты (слабее  $13^m$ ), движущиеся в эклиптикальном поясе. А визуальные кометы (ярче  $12^m$ ), которые можно разглядеть с помощью бинокля или телескопической трубы, в последнее время в основном открываются любителями астрономии, которые тем самым приносят огромную пользу кометной астрономии. Ведь сразу же после сообщения об открытии новой кометы астрономы наводят свои телескопы на новооткрытый объект и не выпускают его из поля зрения до тех пор, пока он еще доступен телескопическим наблюдениям (до  $21-22^m$ ).

Как ищут кометы? Вдали от Солнца каждая комета имеет вид туманного пятнышка. Но не любое туманное пятнышко, которое вы обнаружите среди звезд, является новой кометой. На небосводе, кроме звезд, часто попадаются диффузные туманные объекты — планетарные и диффузные туманности, галактики, шаровые и рассеянные звездные скопления. Все они по внешнему виду очень напоминают кометы. Поэтому для того чтобы приступить к систематическим обзорам неба с целью поиска новых комет, нужно хорошо с помощью звездных атласов изучить звездное небо и те постоянно присутствующие на нем туманные объекты, которые неопытный наблюдатель часто принимает за новую комету. Для этой цели лучше всего воспользоваться атласом Бечвара, издававшимся в Праге в 1950 и 1962 гг. и имеющимся в наличии практически во всех астрономических обсерваториях. На звездных кар-

тах этого атласа нанесены все туманные объекты, которые можно разыскать на небе с помощью бинокляров и труб, и даже более слабые. Многие из этих объектов носят название объектов Мессье по имени французского астронома Шарля Мессье (1730—1817), составившего первый в истории астрономии каталог туманностей и звездных скоплений (всего 109 объектов, из них 68 открыто самим Ш. Мессье). Обозначаются объекты Мессье буквой М и номером объекта. Например, М 1 — это обозначение в каталоге Мессье знаменитой Крабовидной туманности в созвездии Тельца, в центре которой, как известно, находится нейтронная звезда — пульсар. Именно эта туманность сбила с толку самого Мессье, который принял ее за новую комету, впервые «наткнувшись» на нее 12 сентября 1758 г. После этого случая Ш. Мессье, чтобы застраховать себя и других «ловцов» комет от подобных ошибок, составил упомянутый каталог туманностей и шаровых скоплений с указанием их экваториальных координат и звездных величин. Такой каталог полезно иметь и всем современным «ловцам» комет, особенно начинающим, поэтому мы полностью приводим его в таблице 12 Приложения. Самый слабый объект каталога Мессье М 97 имеет визуальную звездную величину  $m_v = 11^m,2$ . Однако в бинокляр можно порой рассмотреть и более слабые туманности,  $\sim 12^m$ . На звездных картах из атласа Бечвара они нанесены. Более полные сведения об этих объектах можно почерпнуть из «Нового общего каталога туманностей и звездных скоплений», или сокращенно NGC, который содержит данные о 7840 объектах. Этот каталог также можно найти на астрономических обсерваториях.

Более доступными для широкой аудитории любителей астрономии атласами являются «Звездный атлас», «Атлас звездного неба» и «Звездный атлас, содержащий звезды до 8,25 величины», составленные академиком А. А. Михайловым. По ним также можно прекрасно изучать звездное небо. На атласах Михайлова нанесены некоторые из объектов каталогов Мессье и NGC. Для удобства изучения и других объектов Мессье каждый любитель астрономии может аккуратно нанести на звездные карты атласа Михайлова недостающие объекты Мессье по их координатам из таблицы, приведенной в Приложении.

После того как любитель астрономии научится легко ориентироваться в созвездиях, можно приступать к более детальному ознакомлению со звездами и туманными объектами в каждом созвездии в отдельности, пользуясь при этом бинокляром или трубой. Научившись легко находить объекты Мессье среди звезд, можно приступать к систематическим поискам комет.

Профессор физики Э. Эверхарт из Коннектикутского университета, открывший две кометы, провел с помощью ЭВМ исследование обстоятельств открытия 337 долгопериодических комет за период с 1840 по 1967 г. Он установил, что 53% комет с прямым движением и 69% комет с обратным движением было открыто на утреннем небе. Анализ предварительных эфемерид и условий видимости приводит к выводу, что на самом деле эти цифры должны составлять соответственно 70% и 81%. Поэтому при поисках новых комет утреннему небу должно быть уделено особое внимание и особенно 30—60-градусной зоне (зоне Эверхарта) вокруг Солнца. Вечером также в первую очередь следует тщательно просмотреть 30—60-градусную зону вокруг Солнца. Просматривать утреннюю (восточную) и вечернюю (западную) зоны Эверхарта следует полосами,водя трубу параллельно горизонту и последовательно поднимая ее по высоте на половину поля зрения инструмента. Кроме просмотра этих зон один раз в 2—3 дня следует производить обзор и остальной части неба с целью обнаружения проходящих близко от Земли и поэтому быстро движущихся по небесной сфере комет.

Школьник-десятиклассник из Ленинграда Сережа Беляев выполнил интересную работу по изучению частоты открытий комет по созвездиям в зависимости от времени года и суток. О полученных в работе результатах он доложил на одном из заседаний Всесоюзной школы молодых исследователей комет и астероидов, проходившей в конце сентября 1977 г. в Крымской астрофизической обсерватории АН СССР. Работа Сережи с большим интересом была выслушана участниками школы и получила высокую оценку.

Для ловцов комет представит практический интерес предложенный С. Беляевым список созвездий, в которых в первую очередь следует искать новые кометы для каждого месяца года (табл. 7), Созвездия распола-

гаются в порядке уменьшения числа открытых в них новых комет; наиболее «результативные» созвездия выделены шрифтом. Список составлен С. Беляевым на основании статистического исследования обстоятельств открытий более 400 комет, наблюдавшихся с 1802 по 1970 гг.

Т а б л и ц а 7. Список созвездий, рекомендуемых для поиска в них комет в течение года (По С. Беляеву)

Месяц	Созвездия
Декабрь	Дева, Телец, Кит, Геркулес
Январь	Телец, Геркулес, Эридан
Февраль	Лев, Цефей
Март	Дева, Лев, Пегас, Весы
Апрель	Пегас, Андромеда, Персей, Кассиопея
Май	Пегас, Рыбы
Июнь	Персей, Рыбы, Возничий, Жираф, Б. Медведица
Июль	Жираф, Овен, Геркулес, Возничий, Кит, М. Медведица, Змееносец, Кассиопея, Телец
Август	Водолей, Б. Медведица, Жираф, Возничий, Рысь, Геркулес, Телец, Кассиопея
Сентябрь	Рысь, Лев, Жираф, Змееносец, Водолей, Гидра, Б. Медведица, Близнецы
Октябрь	Лев, Дракон, Жираф, Кит, Телец, Змееносец, Водолей, Волпас
Ноябрь	Дева, Секстант, Пегас, Геркулес, Эридан, Лев, Телец, Кит, Дракон

Если «ловцы» комет работают группами (удобно проводить такие поиски силами астрономических кружков или юношеских секций ВАГО), то они должны «поделить» между собой перечисленные выше созвездия и ежедневно проводить их тщательный обзор.

Поиски новых комет с помощью бинокля и телескопических труб все еще остаются наиболее эффективными в астрономии. Как показал Э. Эверхарт, любители астрономии с помощью небольших телескопов, а порой и невооруженным глазом открыли 98% долгопериодических комет в XIX в. и 74% в XX в.

Наиболее эффективным кометоискателем является телескоп с диаметром объектива 25 см и увеличением 40<sup>x</sup>. Однако для поисков комет можно использовать и меньшие телескопы. Но чтобы получить максимальное поле зрения и сохранить зрачок выхода, необходимый для адаптации глаза наблюдателя (~ 6 мм), увеличе-



ние численно должно быть в 1,6 раза больше, чем диаметр объектива, если выражать его в сантиметрах. Это значит, что если телескоп будет иметь объектив диаметром 10 см, то оптимальное увеличение должно быть равным  $16^{\times}$ ; если диаметр будет 5 см, то увеличение должно быть равным  $8^{\times}$ . Из отечественных инструментов лучше всего соответствуют этому критерию бинокль полевой БП  $7 \times 50$  (диаметр 5 см, увеличение  $7^{\times}$ ) и большая морская труба БМТ-110 (диаметр 11 см, увеличение  $20^{\times}$ , поле зрения  $4^{\circ}$ ). С помощью такого инструмента как БМТ-110, можно просмотреть половину ночного неба от горизонта до зенита за 3—4 часа. Бинокляр БМТ-110 позволяет в условиях хорошей атмосферной прозрачности (в горной местности) разглядеть туманности  $12-12^m,5$ . Однако для поисков новых комет можно использовать и другие марки полевых биноклей, а также трубу ТЗК (диаметр 8 см, увеличение  $8^{\times}$ , поле зрения  $5^{\circ}$ ) и бинокляр «Асемби» Народного предприятия Цейс (8,8 см,  $20^{\times}$ ,  $2^{\circ}$ ).

Как показывает статистика, опытному наблюдателю, занявшемуся «ловлей» комет, в среднем нужно затратить 200—250 часов, чтобы открыть новую комету.

Непревзойденным охотником за кометами до сих пор остается Ж. Понс, который за 26 лет (1801—1827 гг.) открыл 30 новых комет. Выдающийся результат Понса можно объяснить и тем, что в его время поисками комет занимались немногие любители астрономии, так что особой конкуренции ему никто составить не мог. За период с 1801 по 1813 гг. Понс открыл 13 комет, и, если не принимать во внимание двух Больших комет 1807 г. и 1811 I, которые были обнаружены многими наблюдателями и потому получили название Больших комет, то можно сказать, что Понс один открыл подряд 13 новых комет (вместе с Большими кометами, которые Понс обнаружил одним из первых, можно считать 15 комет).

Рекорд наибольшего числа открытий комет подряд за короткий промежуток времени принадлежит американскому астроному Перрайну из Ликской обсерватории: с 8 декабря 1895 г. по 12 сентября 1898 г., он открыл шесть новых и переоткрыл две короткопериодические кометы.

Из современных охотников за кометами первенство держит японский любитель астрономии М. Хонда, от-

крывший за период с 1940 г. по 1968 г. 12 новых комет; за ним следуют А. Мркос из Чехословакии (11 комет за 11 лет — с 1948 по 1959 гг.), Л. Пелтье из США (10 комет за 29 лет — с 1925 по 1954 гг.) и В. Бредфилд из Австралии (10 комет за 7 лет — с 1972 по 1979 гг.). Но если М. Хонда, А. Мркос и Л. Пелтье уже давно прекратили активные поиски новых комет, то В. Бредфилд в настоящее время просто поражает всех своими упорными и целеустремленными поисками и открытиями новых комет. В южном полушарии еще не было такого выдающегося ловца комет.

Специалист по ракетным двигателям Вильям Бредфилд занимается поисками комет с 1972 г. с помощью 15-сантиметрового рефрактора, имеющего увеличение  $26\times$ , поле зрения более  $2^\circ$  и относительное отверстие 1:5,5. Рефрактор монтирует на азимутальной установке. Вечером и под утро Бредфилд со своим рефрактором (рис. 33) выезжает за 20—30 миль из г. Аделаиды (широта —  $35^\circ$ ), чтобы свет крупного города не мешал наблюдениям. Первую свою комету 1972 III Бредфилд открыл в Дернанкорте (пригороде Аделаиды),

но впоследствии стал искать кометы, уезжая из города подальше. Программа поисков В. Бредфилда такова: 1—2 раза в месяц он делает обзор неба в радиусе  $90^\circ$  от Солнца, а если позволяет погода, то один раз в месяц он полностью осматривает все небо. Бредфилд никогда не ищет комет, когда Луна в возрасте более 3 дней видна над горизонтом, а также никогда не ищет их на сумеречном небе. По вечерам он начинает



Рис. 33. Выдающийся современный открыватель комет Вильям Бредфилд со своим 15-сантиметровым рефрактором.

поиски, когда наступают астрономические сумерки, а утром прекращает наблюдения с началом астрономических сумерек. Первые поиски на вечернем небе он начинает через два дня после полной Луны, даже если темного времени до восхода Луны всего 20 минут. Утреннее восточное небо Бредфилд осматривает за 5—6 дней перед новолунием. Он всегда начинает наблюдать от горизонта — от заходящих звезд на западе и восходящих на востоке — и сначала просматривает участки неба, «общие» с японскими ловцами комет, которые наблюдают на широте  $+35^\circ$ .

В своих поисках В. Бредфилд руководствуется атласом звездного неба Бечвара: на выезде пользуется копиями, а оригинал хранит дома. Четкая организация поисковой «службы» комет позволила австралийскому любителю астрономии быстро выдвинуться в первые ряды среди современных открывателей комет (третье — четвертое место в 1979 г.). Последнюю свою комету В. Бредфилд открыл 24 декабря 1979 г., как объект, видимый невооруженным глазом ( $\sim 5^m$ ).

Из современных охотников за кометами следует назвать Уипла (США) — 6 комет, Секи (Япония) — 6, Когоутека (ЧССР) — 5, Пайдушакову (ЧССР) — 5, Бестера (Южная Африка) — 5, Вилда (Швейцария) — 5, Икейя (Япония) — 5, Герелса (США) — 5, Олкока (Англия) — 4, Фудзикаву (Япония) — 4, Сато (Япония) — 4, Барнхэма (США) — 4, Веста (Дания) — 3, Ловаша (Венгрия) — 3, Ковала (США) — 3, Таго (Япония) — 2, Кодзиму (Япония) — 2, Мори (Япония) — 2, Эверхарта (США) — 2, Шустера (Южная Америка) — 2, Беннета (Южная Африка) — 2, Гербера (Аргентина) — 2, Томаса (США) — 2 и Черных (СССР) — 2.

Начиная с 1966 г. Киевский государственный университет им. Т. Г. Шевченко направляет в южные высокогорные районы нашей страны специальные кометные экспедиции с целью поисков новых комет и наблюдений уже открытых новых и переоткрытых короткопериодических комет.

Первая киевская кометная экспедиция проводила наблюдения в районе горы Санглок в предгорьях Памира в Таджикской ССР в сентябре — октябре 1966 г. Район горы Санглок характеризуется хорошими астроклиматическими условиями и большим количеством ясных ночей. Помимо поисков новых комет в утренней

(восточной) и вечерней (западной) зонах Эверхарта с помощью труб ТЗК (диаметр 8 см, увеличение  $8\times$  и поле зрения  $\sim 5^\circ$ ) и бинокляра «Асемби» (8,8 см,  $20\times$ ,  $\sim 2^\circ$ ), участники экспедиции также визуально оценивали интегральный блеск и фотографировали кометы Килстона (1966 I) и Барбона (1966 II).

Вторая кометная экспедиция в июне — июле 1968 г. выполняла программу поисков новых комет в районе поселка Вановский и горы Душак в Туркменской ССР, характеризующихся хорошими астроклиматическими показателями и практически отсутствием пасмурных ночей. В этой экспедиции осуществлялись также визуальные и фотографические наблюдения новой кометы Уиттекера — Томаса (1968 V).

В августе — сентябре 1969 г. третья кометная экспедиция киевлян в составе К. И. Чурюмова, С. И. Герасименко и Л. Н. Чирковой продолжала программу поисков новых комет на обсерватории Астрофизического института АН Казахской ССР и на высокогорной корональной станции того же института в Заилийском Алатау. В задачу входили визуальные и фотографические поиски новых комет в зонах Эверхарта, а также фотографическое патрулирование короткопериодических комет Фая (1969 VI), Комас Сола (1969 VIII), Хонда — Мркоса — Пайдушаковой (1969 V), и двух новых комет, открытых в 1969 г.: Когоутека (1970 III) и Фудзикавы (1969 VII). Визуальные наблюдения проводились с помощью бинокляра «Асемби», фотографические — с менисковым телескопом МаксUTOва (50/120 см) и с помощью светосильного телескопа Шмидта (17/17 см). За 1,5 месяца работы экспедиции было получено более 100 негативов с кометами Фая, Комас Сола, Когоутека и Фудзикавы с целью определения точных положений этих комет в интегральной фотометрии. Вернувшись в Киев после экспедиции, мы и не подозревали, что «привезли» на пластинках новую комету, да еще и короткопериодическую! Еще в Алма-Ате 20 сентября 1969 г. автор на одной из пластинок (№ 53), полученных для кометы Комас Сола, отметил кометообразный объект  $\sim 13^m$ , принятый первоначально за комету Комас Сола (рис. 34). И только в Киеве вместе с С. И. Герасименко мы выяснили, что на самом деле этот диффузный объект отклоняется от эфemerидного места кометы Комас Сола на  $\sim 1,8^\circ$ . Это

побудило нас отыскать на той же пластинке и истинную комету Комас Сола, которая в точности оказалась на том самом месте, которое ей предписывалось эфемеридой. Только выглядела она несколько слабее,  $\sim 15^m$ . Тогда у нас возникло само собой предположение, что

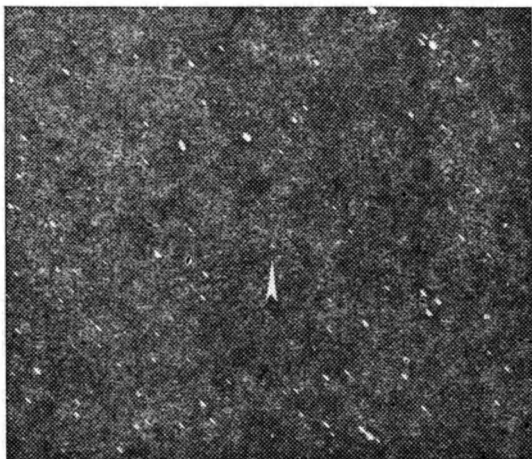


Рис. 34. Фрагмент фотопластинки № 53, на которой впервые была обнаружена новая комета Чурюмова — Герасименко (1969 IV); снимок сделан 11 сентября 1969 г.

второй диффузный объект на пластинке с кометой Комас Сола является новой кометой, собственное движение которой почти совпадало с собственным движением кометы Комас Сола. С волнением просмотрели мы еще 12 пластинок, на которые фотографировалась комета Комас Сола, и еще на четырех из них, двух за девятое сентября и двух за 21 сентября, нашли тот же самый диффузный объект, вне всякого сомнения, — новую комету, так как на близких экспозициях было заметно ее перемещение относительно звезд (рис. 35). После просмотра всех каталогов и эфемерид всех короткопериодических комет за 1969 г. по Кометным циркулярам было установлено, что комета действительно новая, и мы держим в своих руках ее «визитные карточки».

Но с момента ее последнего наблюдения прошел целый месяц! А за это время блеск кометы, если она

приближалась к Солнцу, мог увеличиться на несколько звездных величин. Кроме того, под действием активного Солнца она могла еще больше увеличить свой блеск, который, таким образом, мог бы уже достигать 5—6<sup>m</sup>! Тогда наша радость преждевременна: ведь мы могли

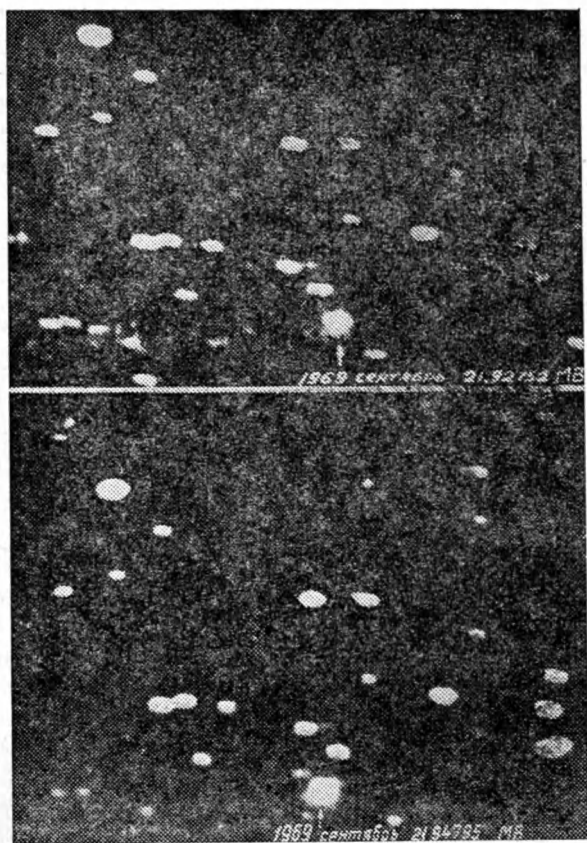


Рис. 35. Две последовательные фотографии с кометой Чурюмова — Герасименко, снятые с интервалом 40 минут 21 сентября 1969 г.

уже опоздать с сообщением и не быть первооткрывателями этой кометы...

Утром 23 октября сообщение об открытии новой кометы было послано нами в ГАИШ в Москве, в ИТА АН СССР в Ленинграде и непосредственно президенту

Центрального бюро астрономических телеграмм, которое находится в Кеймбридже (США), доктору Б. Марсдену. Через несколько дней Б. Марсден сообщил, что наше открытие зарегистрировано: новой комете даны имена первооткрывателей — Чурюмова и Герасименко и предварительный номер 1969 h. Первую орбиту и

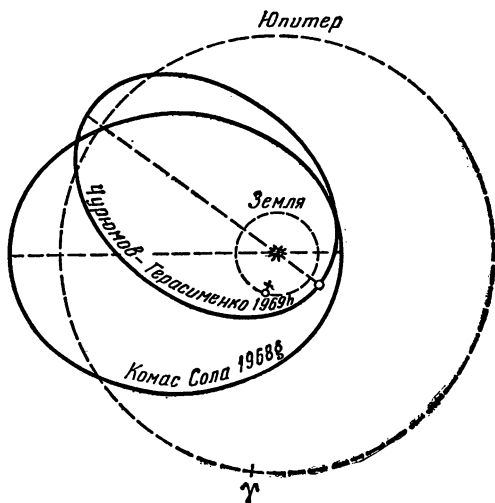


Рис. 36. Орбиты короткопериодических комет Чурюмова — Герасименко и Комас Сола в проекции на плоскость эклиптики.

эфмериду новой кометы рассчитала М. Я. Шмакова — известный специалист в области небесной механики из ИТА АН СССР. В дальнейшем для осуществления эффективных фотографических поисков Б. Марсден на основании наших измерений рассчитал четыре варианта эфмерид для параболических и два варианта для эллиптических орбит. Он сразу предположил, что комета, вероятнее всего, движется по одной из эллиптических орбит с периодом около семи лет. Только теперь, после месячного с лишним перерыва, астрономы смогли отыскать комету. Эфмериды М. Я. Шмаковой и Б. Марсдена оказались настолько хорошими, что комета 1969 h была быстро найдена и сфотографирована: ее наблюдали астрономы США, Японии, ЧССР, Франции и других стран. На основании всех точных положений кометы 1969 h ленинградский астроном Н. А. Бе-

ляев вычислил ее окончательную орбиту, которая оказалась эллиптической с периодом обращения вокруг Солнца, равным 6,6 года (рис. 36).

Комета Чурюмова — Герасименко (1969 h) в своем первом наблюдавшемся появлении с сентября 1969 г. по май 1970 г. прошла на небесной сфере дугу около



Рис. 37. Снимок кометы Чурюмова — Герасименко (1969 IV), полученный 5 ноября 1969 г. Элизабет Рёмер с помощью 229-сантиметрового рефлектора на обсерватории Китт Пик.

$100^\circ$ , и за это время наблюдателями из разных стран было получено более 70 ее точных положений.

Почти в течение всего периода наблюдений комета 1969 h обладала узким прямолинейным хвостом бредихинского типа I. Длина хвоста изменялась по различным причинам от 1 до  $11'$  дуги, т. е. от 500 тыс. км до 5—6 млн. км.

Хорошая серия наблюдений кометы Чурюмова — Герасименко была выполнена Элизабет Рёмер из Лунной и Планетной лаборатории в США. Первый снимок кометы был сделан ею на Китт Пик с помощью нового 229-сантиметрового рефлектора (рис. 37). На снимке, полученном с 10-минутной выдержкой, виден слабый хвост длиной  $\sim 2',5$  в позиционном угле  $290^\circ$ , выходящий из почти звездного ядра  $\sim 17^m$ .

С большим нетерпением первооткрыватели ждали возвращения своей кометы. В следующем возвращении



кометы Чурюмова — Герасименко (окончательное обозначение которой стало 1969 IV) к Солнцу она была переоткрыта 8 августа 1975 г. в созвездии Козерога как слабый диффузный объект  $\sim 19^m,5$ . Переоткрыла ее с помощью 229-сантиметрового рефлектора обсерватории Китт Пик, руководствуясь отличной эфемеридой Н. А. Беляева, неутомимая Э. Рёмер. 7 апреля 1976 г. комета Чурюмова — Герасименко (ее обозначения 1975 i, а затем 1976 VII) прошла перигелий орбиты на расстоянии 1,3 а.е. от Солнца. В этом появлении условия для наблюдения кометы были неважными, поэтому было получено всего несколько положений для уточнения орбиты и ее эволюции (в США и в СССР).

В 1975 г. в СССР была открыта еще одна короткопериодическая комета семейства Юпитера. Открыли ее крымские астрономы Т. М. Смирнова и Н. С. Черных на пластинках, полученных 4, 16 и 30 марта 1975 г. с помощью двойного 40-сантиметрового астрографа Цейса. Пластинки, на которых была открыта комета Смирновой — Черных (предварительное обозначение 1975 e), были получены по программе службы малых планет, проводящейся уже более 10 лет сотрудниками Института теоретической астрономии АН СССР в Ленинграде совместно с сотрудниками Крымской астрофизической обсерватории. Открытие новой кометы — заслуженная награда Т. М. Смирновой и Н. С. Черных за их терпение и настойчивость при выполнении такой кропотливой и трудоемкой работы как тщательный обзор пластинок, содержащих многие тысячи звездных изображений. А комета была одним из самых слабых изображений на пластинке,  $\sim 15-15^m,5$ . Вот уж поистине «отыскали иголку в стоге сена»!

Комета Смирновой — Черных является одним из интереснейших объектов среди короткопериодических комет семейства Юпитера: она движется по почти круговой орбите ( $e = 0,14$ ), полностью заключенной между орбитами Юпитера и Марса, чем напоминает орбиты некоторых астероидов (рис. 38). Кроме того, совсем еще недавно комета Смирновой — Черных двигалась по другой орбите, располагавшейся между орбитами Юпитера и Сатурна: полуось орбиты составляла 6,5 а. е., период обращения 16,5 лет. Эта орбита подвергалась сильной трансформации со стороны Юпитера, который захватил комету в 1963 г., облизившись с ней

до расстояния 0,5 а. е. и держал ее в своем гравитационном плену в течение 2,5 лет. Когда комета Смирновой — Черных вырвалась из «плену» Юпитера, она стала двигаться уже по современной своей орбите. Такая эволюция орбиты кометы Смирновой — Черных

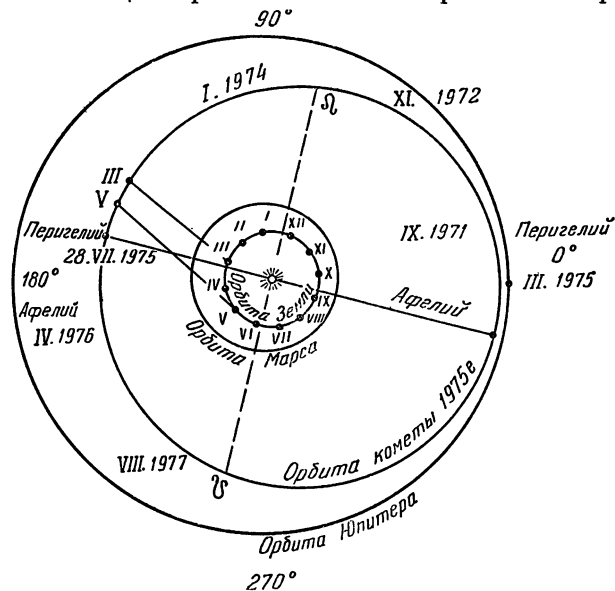


Рис. 38. Орбита короткопериодической кометы Смирновой — Черных, 1975 г.

еще раз подтверждает предположение Е. И. Казимирчак-Полонской о существовании кометных «резервуаров» между орбитами планет-гигантов. Орбита кометы Смирновой — Черных такова, что ее можно наблюдать почти в любой точке орбиты, не дожидаясь возвращения к перигелию.

За открытие новых короткопериодических комет Т. М. Смирнова, Н. С. Черных, С. И. Герасименко и автор настоящей книги в 1975 г. были награждены дипломами и медалями «За обнаружение новых астрономических объектов» Астрономического совета АН СССР. А в 1977 г. Н. С. Черных на пластинках, снятых им 19, 20, 22 и 23 августа с помощью двойного астрографа, обнаружил в созвездии Рыб новую короткопериодическую комету 13<sup>m</sup>, принадлежащую уже семей-

ству Сатурна. Окончательные элементы орбиты кометы Черных (19771) были рассчитаны Е. И. Казимирчак-Полонской: перигелий кометы оказался лежащим в поясе астероидов ( $q = 2,6$  а. е.), период обращения — 16 лет. Н. С. Черных стал первым дважды лауреатом медали Астросовета «За обнаружение новых астрономических объектов».

Т а б л и ц а 8. Кометы, открытые советскими наблюдателями

Фамилия открывателя	Комета
1. А. Д. Дубяго	1921 I (II)
2. А. Д. Дубяго, независимо Барнард	1921 III
3. Г. А. Шайн, независимо Комас Сола	1925 VI
4. Г. Н. Неуймин	1927 I (II)
5. Г. Н. Неуймин	1929 III (II)
6. С. М. Козик, независимо Кахо и Лис	1936 III
7. Г. Н. Неуймин, независимо Джексон	1936 IV (II)
8. С. М. Козик, независимо Пелтье	1939 I
9. С. Н. Юрлов, И. В. Ахмаров, независимо Хассель	1939 III
10. Г. Н. Неуймин, независимо Дю Туа и Дельпорт	1941 VII (II)
11. Г. А. Тевзадзе, независимо Уипл и Феттке	1943 I
12. П. Ф. Шайн, независимо Шалдах	1949 VI (II)
13. А. М. Бахарев, независимо Макферлайн и Кринке	1955 IV
14. И. Н. Латышев, независимо Вилд и Барнхэм	1957 IX
15. К. И. Чурюмов, С. И. Герасименко	1969 IV (II)
16. Т. М. Смирнова, Н. С. Черных	1975 VII (II)
17. Н. С. Черных	1977 I (II)

П р и м е ч а н и е. (II) — периодическая.

В 1978 г. медалью Астросовета был награжден также один из самых неутомимых в СССР наблюдателей комет и метеоров Анатолий Михайлович Бахарев, открывший еще в 1955 г. в Душанбе с помощью бинокля «Асемби» комету 1955 IV, получившую название кометы Бахарева — Макферлайна — Кринке. Медали был удостоен также С. М. Козик, открывший две кометы в 30-х годах.

В таблице 8 перечисляются кометы, открытые советскими астрономами и любителями начиная с 1917 г. и зарегистрированные в Международном центре.

Из 270 новых комет, открытых с 1918 г. по 1979 г. на долю советских открывателей приходится всего 17 комет, или 6,3% от всего числа открытых комет. Этого, прямо скажем, маловато, если учесть огромную протяженность нашей страны. Кроме того, среди перечисленных 14 открывателей комет 11 — это астрономы-профессионалы, для которых открытия новых комет являются побочным продуктом их наблюдательской деятельности, и только трое — С. М. Козик, С. Н. Юрлов и И. В. Ахмаров — являются любителями астрономии, которые могли более целеустремленно заниматься поисками новых комет.

В настоящее время в Советском Союзе имеется ряд способных наблюдателей и отличных знатоков звездного неба. Это в первую очередь студент Вильнюсского университета Казимир Чернис, который занимается поисками новых комет с 1972 г. С помощью бинокля, сделанного из двух 75-миллиметровых трубок, он хорошо изучил положение на небе шаровых скоплений, туманностей и галактик почти до 10-й звездной величины. Хорошее знание звездного неба позволило ему независимо обнаружить три новые кометы (в Центральном бюро астрономических телеграмм они уже были зарегистрированы за другими открывателями и имеют обозначения: 1974 b — комета Бредфилда, 1975 h — комета Кобаяси — Бергера — Милона и 1978 n — комета Деннинга — Фудзикавы). Это говорит о больших потенциальных возможностях К. Черниса как внимательного наблюдателя; ему осталось сделать еще один шаг в своей поисковой деятельности. Возможно, он еще откроет свою комету.

Хорошо подготовленными наблюдателями, способными открывать новые кометы, являются также Юрий Нестеров из г. Ливны, независимо обнаруживший кометы 1974 b и 1975 h, Сергей Гурьянов и Юрий Баталов из Сибири, также независимо от других обнаружившие комету 1975 h, Л. Сикорук из Новосибирска, Сережа Нелин из Конотопа и другие. Есть очень много ребят в астрономических кружках при дворцах пионеров, при школах в различных городах, которые серьезно интересуются поисками новых объектов на звездном небе и в первую очередь комет.

Руководителям таких кружков нужно в первую очередь наладить службу поисков комет силами школь-

ников — любителей астрономии, как это удалось сделать, например, А. Майдику в пос. Новотроицкое Донецкой области, организовавшему астрономический кружок «Астроабия», в котором школьники занимаются службой комет: наблюдениями вновь открытых и поисками новых.

Особенно следует обратить внимание на организацию подобных коллективов любителей астрономии на Дальнем Востоке, в Приморском крае, где имеются хорошие астроклиматические условия для поисков комет в зимнее время, когда европейская часть СССР чаще всего закрыта сплошными облаками. Поскольку на Уссурийской станции Службы Солнца Дальневосточного научного центра (ДВНЦ) сейчас при посредстве Киевского государственного университета организовывается астрономическая кометная служба (устанавливается двойной 40-сантиметровый астрограф), любители астрономии Приморья смогут получать необходимую информацию о новых кометах у сотрудников Кометной Группы ДВНЦ, которые имеют непосредственную связь (по телетайпу) с Рабочей группой «Кометы» секции «Солнечная система» Астросовета АН СССР.

Любители астрономии, занимающиеся систематическими обзорами звездного неба с целью поисков новых комет, при обнаружении незнакомого диффузного объекта среди звезд должны: 1) определить его приближенные экваториальные координаты  $\alpha$  — прямое восхождение и  $\delta$  — склонение с возможно большей точностью (желательно  $\alpha$  определить с точностью до  $0^m,1$  и  $\delta$  — до  $1'$ ); 2) с точностью до  $1-5^s$  записать время наблюдения и выразить его в долях суток по всемирному времени (от местного среднего времени нужно отнять  $N + 1$  часов, где  $N$  — номер часового пояса); 3) оценить звездную величину объекта с точностью до  $0,2-0^m,5$ ; 4) свериться по звездной карте (атласов Бечвара или Михайлова), не является ли подозрительный диффузный объект туманностью или шаровым скоплением или каким-либо другим объектом Мессье или NGC; 5) свериться по Астрономическому календарю на текущий год, не является ли найденный объект известной короткопериодической кометой, вернувшейся к Солнцу (в АК приводятся эфемериды таких комет); свериться с последними номерами Ко-

метного циркуляра, не является ли этот объект новой, но уже открытой кометой (в Кометных циркулярах публикуются эфемериды новых комет).

Если ни один из указанных источников не поможет отождествить данный объект с известными диффузными объектами или планетами, то нужно понаблюдать за ним в трубу при увеличениях 100—200<sup>x</sup>: если это комета, то через 20—30 мин можно заметить ее смещение относительно ближайших звезд.

При небольших увеличениях и большей светосиле можно заметить следы хвоста, направленного от Солнца. Перемещение объекта относительно звезд и наличие хвоста являются бесспорным доказательством того, что обнаружена новая комета, о чем нужно немедленно телеграфировать в два адреса: Москва, В-234, Университетский проспект, 13, ГАИШ, и Киев-53, Обсерваторный переулок 3, Группа комет. В телеграфном сообщении нужно указать время наблюдения, координаты кометы, эпоху атласа, блеск, внешний вид кометы и свою фамилию. Если же есть данные о движении кометы, то нужно сообщить ее среднее движение  $\Delta\alpha$  и  $\Delta\delta$  за сутки с соответствующим знаком. Например, телеграмма об открытии может выглядеть так: «Москва, В-234, Университетский проспект, 13, ГАИШ Возможная комета 1980 февраль 22 местное время 20 часов 30 минут альфа 10 часов 40 минут дельта плюс 30 градусов 5 минут 10 величины Иванов».

А еще лучше пользоваться специальным телеграфным кодом, принятым в 1964—1969 гг. Международным астрономическим союзом. Сообщение составляется из слов и групп по пять цифр в каждой в таком порядке: 1) фамилия автора открытия; 2) слово «комета»; 3) фамилия наблюдателя; 4) год равноденствия (четыре цифры) и пятая цифра: 1 — приближенные координаты, 2 — точные, 3 — элементы орбиты, 4 — эфемерида; для сообщения об открытии достаточно цифр 1 или 2 — приближенные или точные координаты; 5) дата наблюдения: последняя цифра года, месяц (01 — январь, ..., 12 — декабрь) и день (от 1 до 31); 6) время наблюдения в долях суток по всемирному времени ( $12^h = 0^d,5$ ); 7) приближенное значение прямого восхождения дается группой из 4 цифр (часы, минуты, десятые доли минут); 8) приближенное значение склонения («2» — плюс, «1» — минус, затем четыре цифры:

градусы и минуты); 9) звездная величина и описание внешнего вида: вместо первой цифры дефис или /, вторая цифра — вид звездной величины: 1 — интегральная, 2 — звездная величина ядра кометы, 3 — визуальная, 4 — фотографическая, 5 — фотовизуальная звездная величина кометы; третья и четвертая цифры — сама звездная величина (если она отрицательная, прибавляется 100), пятая цифра предназначена для описания внешнего вида кометы (0 — звездообразный вид; 1, 2, 3 — нет указаний на внешний вид кометы: 1 — без хвоста, 2 — хвост  $< 1^\circ$ , 3 — хвост больше  $1^\circ$ ; 4, 5, 6 — диффузный объект без ядра: 4 — без хвоста; 5 — хвост  $< 1^\circ$ , 6 — хвост  $> 1^\circ$ ; 7, 8, 9 — диффузный объект с ядром: 7 — без хвоста, 8 — хвост  $< 1^\circ$ , 9 — хвост  $> 1^\circ$ ; 10 и 11) суточное движение (если оно определялось): по прямому восхождению 2 (плюс), 1 (минус)  $00^m, 00$ ; по склонению 2 (или 1)  $00^\circ 00'$ ; 12) контрольная цифра — сумма всех цифровых групп, начиная с п. 4 (при получении шестизначного числа первая цифра отбрасывается); 13) контрольная сумма групп 7) ( $\alpha$ ), 8) ( $\delta$ ) и 9) ( $m$ ) кометы.

Например, в октябре 1969 г. нами в Центральное бюро астрономических телеграмм Б. Марсдену, а также в ГАИШ Д. Я. Мартынову была передана следующая телеграмма: «Чурюмов Герасименко комета Чурюмов Герасименко 19501 90911 92010 07110 22349 /1138 33 019 30 597». Расшифровывается телеграмма следующим образом: «Чурюмов и Герасименко открыли новую комету 1969 сентября  $11^d, 92010$  МВ, приближенные координаты на эпоху 1950,0: альфа  $7^h 11^m$ , дельта плюс  $23^\circ 49'$ ; интегральная величина  $m = 13^m$ ; объект диффузный с центральной конденсацией и хвостом  $< 1^\circ$ ».

После получения телеграммы об открытии новой кометы Б. Марсден проверяет полученную информацию, после чего закрепляет за новой кометой имена первооткрывателей и дает комете предварительное обозначение, состоящее из номера, года и следующей за ним латинской буквы: а — если комета была открыта первой, b — второй, с — третьей и т. д. Через год или больший промежуток времени вместо предварительных устанавливаются окончательные обозначения комет: год и римский номер в порядке прохождения кометы через перигелий. Например, Т. М. Смирнова

и Н. С. Черных открыли пятую по счету в 1975 г. комету; В. Марсден дал ей предварительное обозначение «1975 е». После того как были вычислены орбиты у всех комет 1975 г. и определены моменты их прохождения через перигелий, кометы были расставлены в порядке очередности прохождения через перигелий, и комета Смирновой — Черных получила свое окончательное обозначение «1975 VII», т. е. она седьмой по счету прошла перигелий в 1975 г.

Обнаружив неизвестный диффузный объект в одной из зон Эверхарта или в более удаленной от Солнца области неба любитель астрономии должен убедиться, что объект является кометой (по движению, по хвосту) и если у него нет под рукой подробных карт звездного неба и последних номеров Кометного циркуляра, он должен позвонить в ближайшую астрономическую обсерваторию или по междугородному телефону связаться с Группой комет Астросовета АН СССР при Киевском государственном университете (телефон 25-87-71) и подробно сообщить о своем открытии. В случае если кометная природа не вызывает у открывателя сомнений, он должен немедленно телеграфировать в Москву и Киев о своем открытии.

## ВИЗУАЛЬНЫЕ И ФОТОГРАФИЧЕСКИЕ НАБЛЮДЕНИЯ КОМЕТ

Основная информация о поведении комет в межпланетном пространстве извлекается из физических наблюдений приблизившихся к Солнцу и Земле комет. Физические наблюдения осуществляются визуальными, фотографическими, фотоэлектрическими, спектральными, поляриметрическими, радиоастрономическими, телевизионными и другими методами. Цель физических наблюдений комет заключается в регистрации следующих параметров: видимой визуальной звездной величины, интегральных фотографических и фотовизуальных звездных величин, звездных величин кометы в системе *UBV* Джонсона — Моргана, звездных величин ядра, диаметров комы и ядерной конденсации, направления хвоста (позиционного угла и угла отклонения оси хвоста от продолженного радиуса-вектора), типа хвоста, типа головы, характера непрерывного и эмиссионного спектров, структурных особенностей фото-



метрического ядра, головы и хвоста кометы, степени поляризации, ориентации плоскости поляризации, регистрации кратковременных колебаний яркости, фиксирования различных фаз больших вспышек яркости и т. п.

Особенно важную роль при решении ряда задач кометной физики играют фотометрические данные.

Фотометрия комет — классический раздел кометной физики. Конечная цель фотометрии заключается в определении общего числа светящихся частиц и их распределения в атмосфере кометы, что позволяет судить о механизмах истечения вещества из ядер комет, о мощности источников истечения; в отношении пылевых частиц определять их физические параметры (распределение по размерам, оптические свойства и др.); в отношении газовых частиц определять скорости их движения в голове кометы, время жизни до исчезновения в поле солнечной радиации, ускорения и кинетические температуры кометных молекул и др.

Одной из частных задач кометной фотометрии является установление закономерностей изменения яркости комет при их движении во внутренних частях Солнечной системы. При учете атмосферной экстинкции, зависящей от зенитного расстояния и коэффициента прозрачности атмосферы, объективными причинами, приводящими к изменениям блеска комет, являются: 1) геоцентрическое расстояние кометы  $\Delta$ ; 2) гелиоцентрическое расстояние  $r$  или поверхностная температура кометного ядра; 3) состояние Солнца в период наблюдений кометы; 4) структура и физические особенности ядра кометы, определяемые физическими условиями в межпланетном пространстве; 5) химическая активность кометного ядра (радикалы, сложные углеродно-водородные соединения, обладающие взрывчатыми свойствами); 6) интервал времени  $\Delta t$ , в течение которого кометное ядро подвергается воздействию солнечной радиации (вековые изменения).

И. Ньютон в 1687 г. исследовал проблему вариаций интегральной яркости комет с целью их использования при определении «фотометрического параллакса» комет. При этом он считал, что кометы светят отраженным солнечным светом и вычислял видимую яркость  $I$  по формуле

$$I = I_0 \Delta^{-2} r^{-2}.$$

Здесь  $I_0$  — постоянная блеска, т. е. блеск кометы при  $\Delta = r = 1$  а. е.

В конце XIX в. Голечек показал, что наблюдения комет лучше представляются формулой

$$I = I_0 \Delta^{-2} r^{-n}$$

(см. с. 83).

С. В. Орлов в 1911 г. предложил определять показатель  $n$  совместно с фотометрическим параметром  $H_0$  (абсолютная величина кометы) по формуле

$$m = H_0 + 5 \lg \Delta + 2,5n \lg r.$$

Эта формула позволяет по наблюдаемым видимым визуальным величинам кометы  $m$  определять совместно  $H_0$  и  $n$ .

Б. Ю. Левин, исходя из предположения о десорбции газов с поверхности твердого ядра и закона для изменения температуры поверхности  $T = T_0 r^{-1/2}$ , получил следующую формулу для кривой яркости кометы:

$$m_\Delta = A + B \sqrt{r},$$

где  $m_\Delta$  — приведенная к  $\Delta = 1$  видимая звездная величина кометы,  $A$  и  $B$  — фотометрические параметры.

Имея ряд видимых звездных величин кометы, приведенных к  $\Delta = 1$ , можно вычислить методом наименьших квадратов фотометрические параметры  $A$  и  $B$  кривой яркости кометы.

Большая часть фотометрических параметров, вычисленных для многих комет, основана в первую очередь на визуальных оценках яркости комет, полученных любителями астрономии с помощью короткофокусных телескопов. Основные преимущества визуальных методов: быстрота, дающая возможность производить определения яркости в условиях переменной видимости; простота; доступность; экономичность; сравнительно высокая точность внутри индивидуальных рядов наблюдений.

Методы визуальной фотометрии сводятся к двум принципам: а) принцип приведения яркостей кометы и звезды сравнения к промежуточной яркости путем ослабления в известном отношении; б) принцип фотометрического интерполирования, когда находится звездная величина кометы в интервале, задаваемом двумя звездами сравнения.

В настоящее время используются два наиболее испытанных на большом числе комет метода визуальной фотометрии: метод Волохова — Бейера и метод А. М. Бахарева.

Метод Волохова — Бейера заключается в выведении изображения кометы и звезды сравнения из фокуса до исчезновения на фоне неба. Степень выдвижения окуляра отсчитывается по линейной шкале. Выбрав две звезды  $m_1$  и  $m_2$  таким образом, чтобы комета по яркости  $m_k$  находилась между ними, снимают соответственно отсчеты на звезды  $n_1$  и  $n_2$  и на комету  $n_k$ . Звездная величина кометы определится по формуле (пусть  $m_1 < m_2$ )

$$m_k = m_1 + \frac{m_2 - m_1}{n_1 - n_2} n_k.$$

Для повышения точности  $m_k$  необходимо выбрать несколько звезд сравнения и построить зависимость  $n = f(m)$ , по которой определяют  $m_k$ .

Метод Бахарева основан на сравнении внефокальных изображений кометы и звезд стандартов. При этом нужно учитывать то, что звезды расфокусируются в более или менее равномерный кружочек, а комета выглядит неравномерным пятном с размытыми краями. Сравнение блеска звезд и яркости кометы лучше производить по методу Блажко — Нейланда, в котором используются две звезды сравнения: одна ярче, другая слабее кометы. Мысленно разбивают интервал  $\Delta m$  между звездами на несколько степеней (2, 3, 4, 5 и т. д.).

Сравнивая комету попеременно с обеими звездами, определяют в личной шкале число таких же степеней между кометой и каждой звездой. Пусть две звезды имеют звездные величины « $a$ » и « $b$ », а комета величину « $k$ ». Разобьем интервал звездных величин на пять степеней — запись « $a5b$ » показывает, что звезда « $a$ » на 5 степеней ярче звезды « $b$ ». Внимательно сравнивая комету с каждой звездой, визуально определяем, сколько таких же степеней можно расположить между кометой и каждой звездой. Предположим, что комета слабее звезды « $a$ » на 3 степени и ярче звезды « $b$ » — на 2. Тогда можно сделать следующую запись:  $a3k2b$ .

Подбирая несколько пар звезд сравнения, определим среднее значение звездной величины кометы.

Наиболее продолжительные ряды визуальных оценок блеска нескольких десятков комет в СССР были получены А. М. Бахаревым. В США группы любителей астрономии уже в течение многих лет выполняют непрерывные и регулярные оценки яркости комет, доступных визуальным наблюдениям с помощью бинокля и небольших телескопов. Здесь в первую очередь следует упомянуть Джона Бортля из Стормвилла, неутомимого энтузиаста визуальных наблюдений комет. Его физические наблюдения различных комет, выполненные с помощью 32-сантиметрового рефлектора и бинокля (20×80), регулярно публикуются в журнале «Sky and Telescope» и в киевских Кометных циркулярах. Наблюдения Д. Бортля служат своеобразным эталоном того, как следует наблюдать кометы.

При визуальных наблюдениях комет необходимо делать в течение ночи несколько оценок яркости комет, учитывая то обстоятельство, что кометы могут неожиданно «вспыхнуть» на глазах у наблюдателей на несколько звездных величин, как это периодически происходит с кометой Швассмана — Вахмана-1, а иногда совершенно неожиданно случается и с другими кометами, например, с кометой Олкока (1963 III), которая 27 мая 1963 г. резко усилила свой блеск на 6 звездных величин, или с кометой Тутля — Джакобини — Кресака, дважды в 1973 г. «вспыхнувшей» на 10 звездных величин. При обнаружении большой вспышки яркости кометы важно проследить за различными фазами ее развития, фиксируя при этом структурные особенности головы и хвоста.

Визуальные оценки блеска комет используют для построения кривых блеска, для определения фотометрических параметров и для сравнений сильных отклонений блеска кометы от регулярной кривой с солнечной активностью, для определения числа светящихся молекул  $N$  в атмосфере кометы, для оценки радиуса кометного ядра и для других целей.

Некоторые исследователи производили обширные сопоставления колебаний блеска комет с солнечной и геомагнитной активностью на основе визуальных оценок блеска, полученных разными наблюдателями с

инструментами, имеющими различную апертуру, т. е. диаметры объективов. А такие ряды визуальных оценок блеска крайне неоднородны и отягощены большими ошибками. Изменения блеска кометы, выводимые из таких наблюдательных рядов, когда амплитуды колебаний звездной величины кометы невелики, чаще всего нереальны. Возможные же реальные колебания блеска редко превышают уровень ошибок измерений. Поэтому связывать полученные таким образом вариации блеска комет с явлениями на Солнце, в геомагнитном поле и в межпланетном пространстве не имеет смысла. В этом случае, как полагает американский исследователь комет Ф. Миллер, кометы следует рассматривать как довольно-таки грубые зонды, неоднозначно реагирующие на ситуацию в межпланетном пространстве. Визуальные оценки блеска комет, полученные различными наблюдателями, можно использовать для определения фотометрических параметров и для построения кривой блеска кометы, но для этого нужно все оценки блеска привести к одной апертуре. В качестве стандартной была предложена апертура 6,78 см. Редукционная формула имеет следующий вид:

$$m' = m - a(D - D_0),$$

где  $m'$  — исправленное за апертуру инструмента значение визуальной величины кометы,  $m$  — наблюдаемое значение визуальной величины кометы,  $D$  — апертура инструмента в см,  $D_0 = 6,78$  см — оптимальное значение апертуры инструмента, к которой следует приводить оценки блеска комет, полученные с помощью инструментов, имеющих различные отверстия; коэффициент  $a$  в среднем для большого числа наблюдений, полученных с помощью различных инструментов, следует принять равным: для рефракторов  $a = 0,066$  звездной величины на 1 см объектива ( $m \cdot \text{см}^{-1}$ ); для рефлекторов  $a = 0,019 m \cdot \text{см}^{-1}$ . Неучет апертуры инструмента, как указывала Э. Рёмер, может привести к большим различиям в оценке звездной величины кометы, наблюдаемой в одно и то же время наблюдателями, использующими инструменты, сильно отличающиеся своей апертурой. Эти различия могут порой достигать нескольких звездных величин, но это вовсе не означает, что внезапно произошло реальное изменение блеска кометы на столько же величин. Например,

если один наблюдатель оценивает блеск кометы с помощью небольшого рефрактора, имеющего диаметр объектива  $D_1 = 6,78$  см, а другой — с помощью рефрактора с диаметром объектива  $56,78$  см, то их оценки блеска кометы в один и тот же момент времени будут отличаться на величину

$$\Delta m = 0,066 \cdot (56,78 - 6,78) = 0,066 \cdot 50 = 3^m,3.$$

Без редукиций за апертуру инструмента кривые блеска комет, построенные на визуальных оценках блеска различных наблюдателей, будут отличаться большой нерегулярностью, которую при необъективном подходе можно принять за проявление кометной активности.

Кроме этого, на точность визуальных оценок может влиять разный в различных местах фон неба, выбор звезд сравнения, имеющих спектральный класс, сильно отличающийся от спектрального класса Солнца, а также использование в качестве звезд сравнения звезд, находящихся на значительных зенитных расстояниях от кометы и т. п. Поэтому многие «результаты», полученные при сопоставлении колебаний блеска комет с солнечной активностью на поверку оказываются несостоятельными.

Даже такой чувствительный индикатор как ионизованный хвост кометы, не всегда может считаться надежным зондом солнечного ветра, так как помимо абберрационного эффекта хвоста на солнечном ветре, что и используется для определения скорости солнечной плазмы, в хвостах I типа могут возбуждаться различные плазменные неустойчивости, могущие дать существенный вклад в амплитуду колебаний хвоста относительно продолженного радиуса-вектора.

Так как глаз наиболее чувствителен к зеленому участку спектра ( $\lambda = 5550 \text{ \AA}$ ), а в этой спектральной области наибольший вклад в яркость кометы дают углеродные эмиссии (полосы Свана), то по визуальной звездной величине кометы можно определить число светящихся молекул углерода  $N$  в атмосфере кометы по следующей формуле:

$$N = \frac{10^{-0,4(m_K - m_{LK})} \Delta_{r,2}^{2,2}}{1,37 \cdot 10^{-38} \cdot f(C_2)},$$

где  $m_K$  — видимая визуальная величина кометы,  $m_{LK}$  —

звездная величина люкса (единица освещенности  $1 \text{ лк} = 1 \text{ лм} \cdot 1 \text{ м}^{-2}$ ),  $f_{(C_2)}$  — сила осциллятора для полосы Свана (переход  $A^3\Pi_g - X^3\Pi_u$ ). Для значений  $m_{\text{лк}} = -13^m, 78$  и  $f_{(C_2)} = 0,031$  формула для числа светящихся молекул углерода в комете примет вид

$$N = \frac{10^{-0,4(m_{\text{лк}}+13,78)} \Delta^{2,2}}{4,25 \cdot 10^{-40}}.$$

Например, пусть мы оценили визуальную яркость кометы  $m_{\text{лк}} = 1^m,22$  на расстояниях  $\Delta = r = 1$  а. е. Тогда по приведенной выше формуле число светящихся молекул углерода в голове такой кометы будет

$$N = \frac{10^{-0,4 \cdot 15 \cdot 1 \cdot 1}}{4,25 \cdot 10^{-40}} = 2,35 \cdot 10^{33} \text{ молекул.}$$

Так как масса одной молекулы  $C_2$  равна  $\sim 5 \cdot 10^{-23}$  г, то можно оценить мгновенную массу углеродной атмосферы:

$$M(C_2) = 5 \cdot 10^{-23} \cdot N = 5 \cdot 10^{-23} \cdot 2,35 \cdot 10^{33} = 1,17 \cdot 10^{11} \text{ г.}$$

Следовательно, мгновенная масса углеродной атмосферы такой кометы будет превышать 100 тысяч тонн.

Определив по визуальным оценкам яркости абсолютную величину кометы (методом наименьших квадратов по формуле С. В. Орлова), можно оценить диаметр ядра кометы по упоминаемой выше формуле Л. Кресака.

При визуальных наблюдениях комет важно также измерять визуальную величину фотометрического ядра (центрального сгущения), диаметры головы и ядра, длину хвоста, положение и угловые размеры различных структурных деталей в голове и хвосте (галосов, лучей, облачных образований, темные промежутки, «тень ядра» и другие), расстояния между узлами в спиральном хвосте и изменение его ширины от ядра к концу, позиционные углы хвоста, лучей и других кометных структур.

Любители астрономии должны освоить методику определения позиционного угла сначала на ярких кометах, а затем, приобретя опыт, применить ее и к более слабым кометам. Позиционный угол хвоста — важная физическая характеристика кометы, так как по нему можно рассчитать абберационный угол хвоста

(его отклонение от продолженного радиуса-вектора), который в свою очередь служит своеобразным мерилom скорости распространения солнечной плазмы (солнечного ветра) в той области межпланетного пространства, где находится данная комета. Если удастся подобрать две звезды, располагающиеся вдоль оси хвоста и имеющие координаты  $\alpha_1, \delta_1$  и  $\alpha_2, \delta_2$ , то позиционный угол хвоста  $p$  можно вычислить по формуле

$$\sin p = \frac{\sin [(\alpha_2 - \alpha_1)^\circ \cos \delta_2]}{\sin \{[(\alpha_2 - \alpha_1)^\circ]^2 \cos^2 \delta_2 + [(\delta_2 - \delta_1)^\circ]^2\}^{1/2}},$$

причем  $\alpha_2, \delta_2$  — координаты звезды более удаленной от ядра (квадрант  $p$  определяется знаком разностей  $\alpha$  и  $\delta$ ).

Позиционный угол продолженного радиуса-вектора вычисляется по формуле

$$\operatorname{tg} p' = \frac{\sin (\alpha - \alpha_0)}{\cos \delta_0 \operatorname{tg} \delta - \sin \delta_0 \cos (\alpha - \alpha_0)},$$

где  $\alpha_0, \delta_0$  — координаты ядра кометы,  $\alpha$  и  $\delta$  — координаты произвольной точки радиуса-вектора.

Координаты любой точки радиуса-вектора  $\alpha, \delta$  должны удовлетворять уравнению большого круга, проходящего через Солнце и ядро кометы:

$$\sin (\alpha_0 - \alpha) \operatorname{tg} \delta_\odot = \sin (\alpha - \alpha_\odot) \operatorname{tg} \delta_0 - \sin (\alpha_0 - \alpha) \operatorname{tg} \delta,$$

где  $\alpha_\odot, \delta_\odot$  — координаты Солнца (по Ежегоднику).

Позиционные углы отсчитываются от направления на север через восток. При появлении достаточно яркой кометы с длинным хвостом (как, например, комета Беннета 1970 II, комета Когоутека 1973 XII или комета Веста 1976 VI) любителям астрономии под силу проведение и фотографических наблюдений таких комет. С помощью любой фотографической камеры («Зенит», «ФЭД», «Киев», «Салют», «Ленинград» и др.) при полностью открытом отверстии можно получить прекрасные фотографии комет при сравнительно небольших выдержках (не более 30 с), чтобы избежать заметного смещения кометы и звезд на негативе. Для фотографирования комет следует использовать наиболее чувствительные типы пленок (250—350 единиц ГОСТ) и в случае небольших выдержек (несколько секунд) проявлять пленки необходимо в чувствитель-



ных проявителях (например, подогретых фенидоновых проявителях).

Для получения на негативе более слабых деталей хвостов необходимы выдержки в несколько минут. А это уже требует обязательного гидрирования. С этой целью фотоаппарат необходимо укрепить на экваториальной установке, например, школьного телескопа, и осуществлять гидрирование вокруг часовой оси, пользуясь трубой телескопа. При отсутствии креста нитей можно держать какую-либо звезду вблизи края поля зрения телескопа, не давая ей ни исчезать, ни двигаться к центру поля в течение всей экспозиции.

После фотографирования кометы (обязательно нужно сделать несколько снимков кометы) на ту же пленку следует внефокально снять какую-нибудь яркую звезду (желательно класса G или M и на том же зенитном расстоянии, что и комета); при этом звезду следует снять на тот же самый кадр несколько раз с разными выдержками, увеличивая каждую последующую выдержку в два раза по сравнению с предыдущей:  $1^s$ ,  $2^s$ ,  $4^s$ ,  $8^s$  и т. д. Такой ряд звездных изображений будет служить калибровкой для построения характеристической кривой эмульсии. Такая стандартизация и калибровка позволят провести научную обработку полученного негатива кометы.

Если есть возможность гидрировать фотоаппарат, то желательно, кроме снимков в интегральном свете, также фотографировать комету через различные фильтры (типа УФС, ОС, ЖС и др.). Это позволяет исследовать комету в более узких спектральных участках, в которых свечение кометы определяется излучением какого-либо одного сорта молекул (CN, C<sub>2</sub>, Na). А по монохроматическим распределениям яркости в комете можно определить ряд физических параметров кометной атмосферы (скорости и ускорения частиц, время жизни кометных частиц в поле солнечной радиации и др.). Эти параметры можно рассчитать по таблицам из книги: *Коноплева В. П., Назарчук Г. К. и Шулман Л. М. Поверхностная фотометрия комет.*— Киев: Наукова думка, 1977 г.

Для выяснений картины физических процессов, происходящих в ядрах и атмосферах комет, необходимо извлечь данные об интегральной яркости и цвете, форме, распределении относительной и абсолютной

интенсивности по поверхности, размерах объекта в интегральном свете и монохроматических излучениях.

Фотографическая фотометрия комет как протяженных объектов характеризуется следующими особенностями: 1) отсчеты при измерениях поверхностей яркости отличаются высокой стабильностью, за исключением измерения деталей, сравнимых по величине с радиусом кружка рассеяния или абберационного кружка, для которых сказывается влияние структуры изображения; 2) почти не играют роли ошибки поля, исключая виньетирование, но ошибки пластинок остаются; 3) влияние фона устраняется, так как измеренная плотность негатива соответствует суммарному воздействию засветки от неба и объекта.

Интегральные звездные величины кометы получают путем суммирования яркостей площадок, расположенных вдоль последовательных фотометрических разрезов, что является довольно трудоемким процессом, особенно для таких протяженных объектов как кометы, занимающие порой большие площади.

Распределение яркости в комете и ее структура нагляднее всего представляются при помощи замкнутых кривых одинаковой яркости, называемых *изофотами*. При наличии калибровки и стандартизации интегральная яркость кометы может быть получена суммированием интенсивностей по площадям изофот.

Очень эффективным при построении детальной картины изофот оказался метод эквиденсит, принцип которого основан на фотографическом эффекте обращения Сабатье. Суть метода состоит в следующем. На контрастную фотопластинку (особенно хорошо для этой цели использовать пластинки фирмы «Орво» FU-5) накладывается исследуемый негатив кометы и производится его засветка (начиная с небольших выдержек в 10—15 с) от источника, создающего равномерную освещенность  $\sim 30$  люкс. Затем пластинка проявляется 45 с в контрастном проявителе, после чего процесс проявления прерывается, пластинка моется в течение 1 мин и затем вторично подвергается засветке (пластинка лежит в кювете с водой) с выдержкой 10 с от того же источника. После этого пластинка проявляется вновь до полного проявления (2—3 мин), моется 1 мин и фиксируется. На пластинке образуется негативное изображение широкой внешней эквиденситы 1-й ступе-

ни, повторяющей контуры кометы. Из эквиденситы первой ступени делается 2-я ступень: засветка 120 с, первое проявление 45 с, промывка 1 мин, вторая засветка 20 с, второе проявление, промывка, фиксирование и промывка. В результате такой обработки эквиденсита 1-й ступени разделяется на две более узкие эквиденситы. Можно также получить четыре эквиденситы 3-й ступени из 2-й ступени. Меняя первые экспозиции для получения эквиденсит 1-й ступени, равномерно покрывают все изображение кометы достаточно узкими линиями равной плотности, а следовательно, и равной яркости, которая определяется по характеристической кривой. Обычно для построения детальной картины изофот яркой кометы затрачивается очень много времени, исчисляемого несколькими днями, а то и неделями. Метод эквиденсит позволяет получить детальную картину изофот яркой кометы за несколько часов.

Прикрепив к объективу фотоаппарата поляроид, можно изучить поляризационные особенности кометы, поворачивая поляроид после каждой экспозиции на угол  $60^\circ$  (достаточно трех положений). Определив интенсивности  $I_1, I_2, I_3$  путем фотометрии, можно вычислить степень поляризации и плоскость преимущественного колебания светового вектора по формулам Фесенкова:

$$p = \frac{\sqrt{3A^2 + B^2}}{C}; \quad \operatorname{tg} 2\alpha = \sqrt{3} \frac{A}{B},$$

где  $A = I_1 - I_2$ ,  $B = 2I_1 - I_2 - I_3$ ,  $C = I_1 + I_2 + I_3$ ; здесь  $p$  — коэффициент поляризации,  $\alpha$  — позиционный угол преимущественного колебания светового вектора.

Визуальные и фотографические наблюдения комет, выполняемые любителями астрономии, значительно расширяют фонд наблюдений каждой конкретной кометы. Использование данных любительских наблюдений, наряду с наблюдениями за кометами, проводящимися в астрономических обсерваториях, позволяет составить наиболее полную картину развития активных процессов в головах и атмосферах комет, а также о ее изменениях яркости с изменением гелиоцентрического расстояния, а следовательно, о ее поведении в межпланетном пространстве.

ПРИЛОЖЕНИЯ . I. КОМЕТЫ СЕМЕЙСТВА ЮПИТЕРА

№ п/п	Комета	T, МВ	q, а.е.	e	$\omega$	$\Omega$	i	Q, а.е.	P, г.	Число появлений
1	Энке	1977,63	0,341	0,846	185°,0	334°,2	11° 9	4,10	3,31	51
2	Хельфенридера	1766,32	0,403	0,852	178,1	76,1	7,9	5,05	4,51	1
3	Грига — Шеллерула	1977,28	0,993	0,665	359,3	212,6	21,1	4,93	5,10	13
4	Бланпэн	1819,89	0,892	0,699	350,2	79,2	9,1	5,03	5,10	1
5	Хонда — Мркоса — Пайдушакковой	1974,99	0,579	0,809	181,6	233,0	13,1	5,49	5,28	6
6	Темпеля-2	1978,14	1,369	0,548	190,9	110,2	12,5	4,69	5,27	16
7	Дю Туа-2	1945,30	1,250	0,588	201,5	358,9	6,9	4,81	5,28	1
8	Барнарда-1	1884,63	1,279	0,583	301,0	6,1	5,5	4,86	5,38	1
9	Неуймина-2	1927,04	1,338	0,567	193,7	328,0	10,6	4,84	5,43	2
10	Швассмана — Вахмана-3	1930,45	1,011	0,673	192,3	77,1	17,4	5,17	5,43	2
11	Брукса-1	1886,43	1,325	0,571	176,8	54,5	12,7	4,86	5,44	1
12	Брорзена	1879,24	0,590	0,810	14,9	102,3	29,4	5,61	5,46	6
13	Темпеля-1	1978,03	1,497	0,519	179,1	68,3	10,5	4,73	5,50	6
14	Кларка	1978,90	1,557	0,501	209,0	59,1	9,5	4,68	5,51	2
15	Тутля — Джакобини — Кресака	1978,98	1,124	0,613	49,4	153,3	9,9	5,17	5,58	6
16	Лекселя	1770,62	0,674	0,786	224,9	133°,9	1°,6	5,60	5,60	4
17	Темпеля — Свифта	1908,76	1,153	0,638	113,5	291,1	5,4	5,22	5,68	4
18	Виртанена	1974,51	1,256	0,614	351,8	83,5	12,3	5,26	5,87	5
19	Пиготта	1783,89	1,459	0,552	354,6	58,0	45,1	5,06	5,89	1
20	Ханеды — Кемпоса	1978,77	1,101	0,665	240,4	131,6	6,0	5,48	5,97	1
21	Веста — Когоутека — Икемуры	1975,15	1,398	0,582	358,0	84,7	30,1	5,29	6,12	1
22	Вилда-2	1978,45	1,491	0,557	39,9	136,1	3,3	5,23	6,17	1
23	Д'Арре	1976,62	1,164	0,656	178,9	141,4	16,7	5,61	6,23	13
24	Когоутека	1975,05	1,568	0,537	169,8	273,2	5,4	5,21	6,23	1
25	Дю Туа — Неуймина — Дельпорта	1970,77	1,677	0,509	115,7	187,9	2,9	5,15	6,31	2
26	Де Вико — Свифта	1965,31	1,624	0,524	325,4	24,4	3,6	5,21	6,31	3
27	Триггона	1977,82	1,438	0,580	147,7	300,0	7,0	5,41	6,34	1

Продолжение табл.

№ п/п	Комета	T, МВ	q, а. е.	e	ω	Ω	i	Q, а. е.	P, г.	Число появлений
28	Понса — Винкеке	1976,91	1,254	0,635	172,4	92,7	22,3	5,61	6,36	18
29	Харрингтона — Вилсона	1951,83	1,664	0,515	343,0	127,8	16,4	5,20	6,36	1
30	Шпиталера	1890,82	1,818	0,471	13,4	45,9	12,8	5,06	6,37	1
31	Форба	1974,38	1,533	0,555	259,9	25,2	4,6	5,36	6,40	6
32	Колфа	1977,18	1,572	0,545	162,9	120,3	4,7	5,34	6,43	11
33	Швассмана — Вахмана-2	1974,70	2,142	0,386	357,3	126,0	3,7	4,83	6,51	9
34	Барнарда-3	1892,95	1,432	0,590	170,0	207,3	31,3	5,55	6,52	1
35	Джакобини — Циннера	1979,12	0,996	0,715	172,0	195,1	31,7	5,99	6,52	10
36	Вольфа — Харрингтона	1978,20	1,615	0,538	187,0	254,2	18,5	5,38	6,53	2
37	Чурюмова — Герасименко	1976,27	1,298	0,631	11,3	50,4	7,1	5,73	6,59	6
38	Биселы	1852,73	0,861	0,756	223,2	247,3	12,6	6,19	6,62	6
39	Цзыцзиньшань-1	1978,35	1,499	0,576	22,8	96,2	10,5	5,58	6,65	3
40	Джакобини	1836,83	1,455	0,588	140,5	194,2	11,4	5,62	6,65	1
41	Шорра	1918,74	1,882	0,468	279,1	118,3	5,6	5,20	6,66	1
42	Джикласа	1978,89	1,732	0,512	247,2	141,5	8,5	5,36	6,68	1
43	Перрайна — Мркоса	1968,84	1,272	0,643	166,1	240,2	17,8	5,85	6,72	5
44	Реймута-2	1974,35	1,941	0,456	45,4	296,1	7,0	5,19	6,74	5
45	Джонсона	1977,02	2,196	0,386	206,2	117,8	13,9	4,96	6,76	5
46	Борелли	1974,36	1,316	0,632	352,7	75,1	30,2	5,84	6,76	9
47	Харрингтона	1930,49	1,582	0,559	232,8	119,2	8,7	5,60	6,80	2
48	Гунна	1976,11	2,445	0,319	197,5	68,0	10,4	4,74	6,80	2
49	Цзыцзиньшань-2	1978,72	1,785	0,504	203,2	287,6	6,7	5,41	6,83	3
50	Аренда — Риго	1978,09	1,442	0,600	329,0	121,5	17,9	5,76	6,83	5
51	Брукса-2	1974,01	1,840	0,491	198,2	176,3	5,6	5,39	6,88	12
52	Филлея	1974,50	1,096	0,699	322,1	41,8	3,6	6,19	6,95	9
53	Тейлора	1977,03	1,951	0,466	355,6	108,2	20,5	5,35	6,98	2
54	Лонгмора	1974,84	2,402	0,342	196,3	15,0	24,4	4,90	6,98	1

55	Холмса	1972,08	2,155	0,414	23,4	327,5	19,2	5,20	7,05	6
56	Даниела	1964,30	1,662	0,550	10,8	68,5	20,1	5,72	7,09	5
57	Свифта	1895,64	1,298	0,652	167,8	171,1	3,0	6,16	7,20	1
58	Шайна — Шальдаха	1979,02	2,223	0,407	215,3	167,2	6,2	5,27	7,25	3
59	Фая	1977,16	1,610	0,576	203,7	199,1	9,1	5,98	7,39	17
60	Деннинга	1894,11	1,147	0,698	46,3	85,1	5,5	6,46	7,42	1
61	Ашбрука — Джексона	1978,63	2,284	0,400	349,0	2,1	12,5	5,33	7,43	5
62	Уипла	1978,23	2,469	0,352	190,0	188,3	10,2	5,15	7,44	7
63	Шултера	1978,02	1,628	0,574	353,9	50,8	20,1	6,01	7,47	1
64	Харрингтона — Абеля	1976,31	1,776	0,540	138,5	336,8	10,2	5,95	7,59	4
65	Реймута-1	1973,22	1,995	0,485	9,5	121,1	8,3	5,76	7,63	6
66	Меткофа	1906,77	1,631	0,584	199,8	195,2	14,6	6,22	7,78	1
67	Кодзимы	1978,39	2,399	0,393	348,6	154,1	0,9	5,50	7,85	2
68	Огерма	1958,44	3,388	0,144	354,9	155,1	4,0	4,53	7,88	3
69	Герелса-2	1973,92	2,348	0,410	183° 3	215° 6	6° 7	5,61	7,94	1
70	Аренда	1975,39	1,847	0,538	46,9	355,7	20,0	6,14	7,98	4
71	Герелса-3	1977,31	3,424	0,152	231,5	242,6	1,1	4,65	8,11	1
72	Шомасса	1960,29	1,196	0,705	51,9	86,2	12,0	6,92	8,18	6
73	Джексона — Неуймина	1978,98	1,425	0,654	196,3	163,1	14,1	6,82	8,37	3
74	Вольфа	1975,07	2,501	0,396	161,1	203,8	27,3	5,78	8,42	3
75	Смирновой — Черных	1975,60	3,567	0,145	90,2	77,1	6,6	4,78	8,53	12
76	Комас Сола	1978,73	1,870	0,566	42,8	62,4	13,0	6,74	8,94	7
77	Киряса — Кви	1972,91	2,229	0,485	131,2	315,4	9,0	6,43	9,01	2
78	Деннинга — Фузикавы	1978,75	0,779	0,820	334,0	41,0	8,7	7,88	9,01	2
79	Свифта — Герелса	1972,66	1,354	0,692	84,4	314,2	9,3	7,44	9,23	2
80	Неуймина-3	1972,37	1,976	0,590	146,9	150,2	3,9	7,66	10,57	3
81	Клемолы	1976,61	1,766	0,642	148,9	181,6	10,6	8,09	10,94	2
82	Вейсалы-1	1971,70	1,866	0,629	49,7	134,7	11,5	8,19	11,28	4
83	Слотера — Барнхема	1970,28	2,543	0,504	44,3	346,1	8,2	7,72	11,62	2
84	Шваасмана — Вахмана-1	1974,12	5,448	0,105	14,5	319,6	9,7	6,73	15,03	4
85	Ковала-1	1977,15	4,644	0,237	178,0	28,4	4,4	7,56	15,11	1
86	Ковала-2	1979,04	1,521	0,564	189,4	247,2	15,8	5,45	6,51	1
87	Рассепа	1979,40	1,614	0,518	230,2	22,7	22,7	5,09	6,13	1

## II. КОМЕТЫ СЕМЕЙСТВА САТУРНА

№№ п/п	Комета	T, МВ	q, а.е.	e	$\omega$	$\Omega$	i	Q, а.е.	P, г.	Число по- явлений
1	Гейла	1938,46	1,183	0,761	209°,1	67°,3	11°,7	8,70	10,99	2
2	Бетина	1975,01	1,094	0,780	11,1	27,0	5,9	8,83	11,05	1
3	Ван Бисбрука	1978,92	2,395	0,553	134,3	148,6	6,6	8,31	12,39	3
4	Сангина	1977,71	1,814	0,664	162,1	182,3	18,6	8,96	12,50	1
5	Петерса	1846,42	1,527	0,720	339,6	261,9	30,5	9,37	12,71	1
6	Вилда-1	1973,50	1,981	0,647	167,9	358,2	19,9	9,24	13,29	2
7	Тутля	1967,24	1,023	0,822	206,9	269,8	54,4	10,46	13,77	10
8	Герелса-1	1973,07	2,935	0,507	28,9	14,6	9,6	8,97	14,52	1
9	Дю Туа-1	1974,25	1,294	0,787	257,2	22,1	18,7	10,86	14,97	2
10	Ван Хоутена	1961,32	3,957	0,367	14,4	22,9	6,7	8,54	15,62	1
11	Черных	1978,12	2,568	0,594	266,7	134,1	5,7	10,09	15,93	1
12	Неуймина-1	1966,94	1,543	0,775	346,8	347,2	15,0	12,16	17,93	4

### III. КОМЕТЫ СЕМЕЙСТВА УРАНА

№№ пп	Комета	T, МВ	q, а.е.	ε	ω	Ω	i	Q, а.е.	P, г.	Число по- явлений
1	Кроммелина	1956,82	0,743	0,919	196,0	250,4	28,9	17,65	27,89	4
2	Темпеля — Тутля	1965,33	0,982	0,904	172,6	234,4	162,7	19,56	32,91	4
3	Стефана — Огерма	1942,96	1,595	0,861	358,3	78,6	17,9	21,34	38,84	2

### IV. КОМЕТЫ СЕМЕЙСТВА НЕПТУНА

№№ пп	Комета	T, МВ	q, а.е.	ε	ω	Ω	i	Q, а.е.	P, г.	Число по- явлений
1	Понса — Гамбара	1827,43	0,807	0,946	19°,2	319°,3	136°,5	28,97	57,46	1
2	Вестфала	1913,90	1,254	0,920	57,1	347,3	40,9	30,03	61,86	2
3	Дубяго	1921,34	1,115	0,929	97,4	66,5	22,3	30,33	62,35	1
4	Ольберса	1956,46	1,178	0,930	64,6	85,4	44,6	32,65	69,57	3
5	Понса — Брукса	1954,39	0,774	0,955	199,0	255,2	74,2	33,49	70,92	3
6	Борзенна — Меткофа	1919,79	0,484	0,972	129,6	311,2	19,2	34,11	71,95	2
7	Галлея	1910,30	0,587	0,967	111,7	57,8	162,2	35,32	76,08	27
8	Де Вико	1846,18	0,664	0,963	12,9	79,0	85,1	35,31	76,30	1
9	Вейсалы-2	1942,13	1,287	0,934	335,2	171,6	38,0	37,50	85,42	1
10	Свифта — Тутля	1862,64	0,963	0,960	152,8	138,7	113,6	47,69	119,98	1



## V. ОБЪЕКТЫ КАТАЛОГА МЕСЬЕ

Мессье	$\alpha_{1950,0}$	$\delta_{1950,0}$	$m_v$	Название
М 1	h m 05 31,5	+21°59'	m 8,4	Крабовидная туманность
М 2	21 30,9	-01 03	6,3	
М 3	13 39,9	+28 38	6,2	
М 4	16 20,6	-26 24	6,1	
М 5	15 16,0	+02 16	6,0	
М 6	17 36,8	-32 11	5,5	
М 7	17 50,7	-34 48	5	
М 8	18 01,6	-24 20	5,8	Туманность «Лагуна»
М 9	17 16,2	-18 28	7,6	
М 10	18 54,5	-04 02	6,4	
М 11	19 48,4	-06 20	6,5	
М 12	16 44,0	-01 52	6,7	
М 13	16 39,9	+36 33	5,8	
М 14	17 35,0	-03 13	7,8	
М 15	21 27,6	+11 57	6,3	
М 16	18 16,0	-13 48	6,5	
М 17	18 18,0	-16 12	7	Туманность «Омега»
М 18	18 17,0	-17 09	7,2	
М 19	16 59,5	-26 11	6,9	
М 20	17 58,9	-23 02	8,5	Туманность «Трехраздельная»
М 21	18 01,8	-22 30	6,5	
М 22	18 33,3	-23 58	5,3	
М 23	17 54,0	-19 01	6,5	
М 24	18 15,5	-18 27	5	
М 25	18 28,8	-19 17	6	
М 26	18 42,5	-09°27'	9,1	
М 27	19 57,4	+22 35	8,1	Туманность «Гантель»
М 28	18 21,5	-24 54	7,1	
М 29	20 22,2	+38 21	7,2	
М 30	21 37,5	-23 25	7,7	
М 31	00 40,0	+41 00	4,0	Туманность Андромеды
М 32	00 40,0	+40 36	8,5	
М 33	01 31,1	+30 24	6,0	
М 34	02 38,6	+42 34	5,7	
М 35	06 05,7	+24 20	5,6	
М 36	05 32,0	+34 07	6,0	
М 37	05 49,0	+32 23	6,0	
М 38	05 25,3	+35 48	7	
М 39	21 30,4	+48 13	5	
М 40	12 33,0	+58 30		
М 41	06 44,9	-20 42	5	
М 42	05 32,9	-05 25	4	Туманность Ориона
М 43	05 33,1	-05 18	9	»
М 44	08 37,5	+19 52	3,7	Ясли
М 45	03 43,9	+23 58	1,6	Плеяды

Месяц	$\alpha_{1950,0}$	$\delta_{1950,0}$	$m_v$	Название
	h m		<i>m</i>	
M 46	07 39,6	-14°42'	6	
M 47	07 34,3	-14 22	5	
M 48	08 11,3	-05 39	6	
M 49	12 27,3	+08 16	8,9	
M 50	07 00,5	-08 16	6,5	
M 51	13 27,8	+47 27	8,4	«Водоворот»
M 52	23 22,0	+61 20	7,1	
M 53	13 10,5	+18°26'	7,7	
M 54	18 52,0	-30 32	7,7	
M 55	19 36,9	-31 03	6,1	
M 56	19 14,6	+30 05	8,3	
M 57	18 51,7	+32 58	9,0	Туманность «Кольцо»
M 58	12 35,1	+12 05	9,9	
M 59	12 39,5	+11 55	10,2	
M 60	12 41,1	+11 48	9,2	
M 61	12 19,4	+04 45	9,8	
M 62	16 58,1	-30 03	7,1	
M 63	13 13,5	+42 17	8,9	
M 64	12 54,3	+21 47	8,7	
M 65	11 16,3	+13 23	9,6	
M 66	11 17,6	+13 17	9,1	
M 67	08 48,3	+12 00	6,3	
M 68	12 36,8	-26 29	8,0	
M 69	18 28,1	-32 23	7,8	
M 70	18 40,0	-32 21	8,3	
M 71	19 51,5	+18 39	7,5	
M 72	20 50,7	-12 44	9,2	
M 73	20 56,4	-12 50		
M 74	01 34,0	+15 32	9,6	
M 75	20 03,2	-22 04	8,3	
M 76	01 38,8	+51 19	11,5	
M 77	02 40,1	-00 14	9,1	
M 78	05 44,2	+06°02'		
M 79	05 22,2	-24 34	7,4	
M 80	16 14,1	-22 52	7,2	
M 81	09 51,5	+69 18	7,0	
M 82	09 51,9	+69 56	8,7	
M 83	13 34,3	-29 37	7,6	
M 84	12 22,6	+13 10	9,7	
M 85	12 22,8	+18 28	9,5	
M 86	12 23,7	+13 13	9,8	
M 87	12 28,3	+12 40	9,3	Радиогалактика
M 88	12 29,5	+14 42	9,8	
M 89	12 33,1	+12 50	10,2	
M 90	12 34,3	+13 26	9,7	
M 91	12 34,0	+11 32	10,3	
M 92	17 15,6	+43 12	6,3	
M 93	07 42,4	-23 45	6	

Меcсье	$\alpha_{1950,0}$	$\delta_{1950,0}$	$m_v$	Название
М 94	12h48m,6	+41°23'	8 $m,1$	Туманность «Сова»
М 95	10 41,3	+11 58	9,9	
М 96	10 44,2	+12 05	9,4	
М 97	11 12,0	+55 18	11,2	
М 98	12 11,3	+15 11	10,4	
М 99	12 16,3	+14 42	9,9	
М 100	12 20,4	+16 06	9,8	
М 101	14 01,4	+54 35	8,2	
М 102	15 05,1	+55°57'	10,5	
М 103	01 29,9	+60 27	7	
М 104	12 37,3	-11 21	8	
М 105	10 45,2	+12 51	9,5	
М 106	12 16,5	+47 35	9	
М 107	16 29,7	-12 57	9	
М 108	11 08,7	+55 57	10,5	
М 109	11 55,0	+53 39	10,6	

## ЛИТЕРАТУРА

1. Добровольский О. В. Кометы.— М.: Наука, 1966.
2. Орлов С. В. Кометы. М.: ОНТИ, 1935.
3. Мохнач Д. О. Кометы.— М.: Знание, 1966.
4. Марочник Л. С. Физика комет.— М.: Знание, 1962.
5. Орлов С. В. О природе комет.— М.: Изд-во АН СССР, 1960.
6. Шульман Л. М. Динамика кометных атмосфер. Нейтральный газ.— Киев: Наукова думка, 1972.
7. Фесенков В. Г. Солнце и Солнечная система.— М.: Наука, 1976.
8. Коноплева В. П., Назарчук Г. К., Шульман Л. М. Поверхностная фотометрия комет.— Киев: Наукова думка, 1977.
9. Брандт Дж. Солнечный ветер.— М.: Мир, 1967.
10. Брандт Дж., Ходж П. Астрофизика Солнечной системы.— М.: Мир, 1966.
11. Маргынов Д. Я. Курс общей астрофизики.— М.: Наука, 1979.
12. Уиппл Ф. Земля, Луна и планеты.— М.: Наука, 1967.
13. Демин В. Г. Судьба Солнечной системы.— М.: Наука, 1969.
14. Томилин А. Н. Занимательно о космогонии.— М.: Молодая Гвардия, 1975.
15. Вокулер Ж., Тексеро Ж. Фотографирование небесных тел.— М.: Наука, 1967.
16. Чурюмов К. И. Новая комета семейства Юпитера.— Земля и Вселенная, 1970, № 4.

17. *Чурюмов К. И.* Комета Кобаяси — Бергера — Милона и ее открыватели.— Земля и Вселенная, 1976, № 3.
18. *Чурюмов К. И., Голубев В. А.* Комета Уэста, 1975 г.— Земля и Вселенная, 1976, № 6.
19. *Черных Н. С.* Комета Смирнова — Черных, 1975 г.— Земля и Вселенная, 1976, № 6.
20. *Казимирчак-Половская Е. И.* Захват комет Юпитером и некоторые закономерности в вековой эволюции кометных орбит.— В кн.: Астрометрия и небесная механика.— М.; Л.: Изд-во АН СССР, 1978, вып. 7.
21. *Казимирчак-Половская Е. И.* О роли Нептуна в преобразованиях кометных орбит и о происхождении комет.— Там же.
22. *Белая Н. А.* Утерянные короткопериодические кометы, наблюдавшиеся в одном появлении и успехи их переоткрытия.— Там же.
23. Астрономический календарь. Постоянная часть/Под ред. П. И. Бакулина.— 6-е изд.— М.: Наука, 1973.
24. *Чурюмов К. И.* Появления комет в 1977 г.— В кн.: Астрономический календарь. Переменная часть. Вып. 82.— М.: Наука, 1978.
25. *Чурюмов К. И.* Появления комет в 1978 г.— В кн.: Астрономический Календарь. Переменная часть. Вып. 83.— М.: Наука, 1979.
26. *Пайдусакова Л.* Кометы и их открытие.— М.: Знание, 1958.

## ОГЛАВЛЕНИЕ

Предисловие . . . . .	3
-----------------------	---

### ГЛАВА I

#### ПРИРОДА И ПРОИСХОЖДЕНИЕ КОМЕТ

Кометы в истории человечества . . . . .	5
От каталога Эдмонда Галлея до каталога Бриана Марсдена . . . . .	13
Эволюция космических путей комет . . . . .	23
Анатомия кометы: ядро, кома и хвост . . . . .	37
Спектры и химия комет . . . . .	59
Кометы — космические зонды . . . . .	68
Удивительные структуры в кометах . . . . .	75
Нестационарные процессы в головах и ядрах комет . . . . .	83
Моделирование кометных явлений . . . . .	94
Исследование комет с помощью космических аппаратов . . . . .	100
Рождение, жизнь и смерть комет . . . . .	103
Уникальные кометы . . . . .	115

### ГЛАВА II

#### НАБЛЮДЕНИЕ КОМЕТ

Поиски и открытия комет . . . . .	119
Визуальные и фотографические наблюдения комет . . . . .	139

### ПРИЛОЖЕНИЯ

I. Кометы семейства Юпитера . . . . .	151
II. Кометы семейства Сатурна . . . . .	154
III. Кометы семейства Урана . . . . .	155
IV. Кометы семейства Нептуна . . . . .	155
V. Объекты каталога Мессье . . . . .	156
Литература . . . . .	158

25 коп.